



รายงานวิจัยฉบับสมบูรณ์

โครงการ “การปรับสภาพดินด้วยสลัดจ์จากการกระบวนการบำบัดน้ำเสียชุมชน
เพื่อนำมาใช้บำบัดน้ำชา”

โดย พศ. ดร. เนธิมราช วันทวิน และคณะ

กุมภาพันธ์ 2547

สัญญาเลขที่ RDG4530016

รายงานวิจัยฉบับสมบูรณ์

โครงการ “การปรับสภาพดินด้วยสลัดจากกระบวนการบำบัดน้ำเสียชุมชนเพื่อนำมาใช้บำบัดน้ำเชื้อ”

คณะผู้วิจัย สังกัด

- | | |
|-----------------------------|-------------------------------|
| 1. ผศ. ดร. เนลิมราช วันทวิน | ภาควิชาศึกษาลีดส์ เวคลีอม มหา |
| 2. ผศ. จาเร็ตต์ วนิสรากุล | ภาควิชาศึกษาลีดส์ เวคลีอม มหา |
| 3. น.ส. พิริศา วงศ์เกณฑ์ | ภาควิชาศึกษาลีดส์ เวคลีอม มหา |

ชุดโครงการวิจัยพัฒนาเทคโนโลยีสิ่งแวดล้อม

สนับสนุนโดยสำนักงานกองทุนสนับสนุนการวิจัย (สกว)
(ความเห็นในรายงานนี้เป็นของผู้วิจัย สกวไม่จำเป็นต้องเห็นด้วยเสมอไป)

บทสรุปผู้บริหาร

ปัญหาและที่มาของงานวิจัย

ระบบบำบัดน้ำเสียชุมชนที่สร้างขึ้นเป็นระบบบำบัดแบบชีวภาพ (biological treatment process) ซึ่งในการดำเนินงานระบบบำบัดแบบชีวภาพนี้จะต้องมีการระบายน้ำสัดเจ้าส่วนเกินออก และถ้าพิจารณาสภาพในกรุงเทพฯ เมื่อโครงการระบบบำบัดน้ำเสียชุมชนทั้งหมดเสร็จสิ้นแล้วจะมีสัดเจ้าประมาณ 100 ตันแห้ง ที่ต้องจัดการในแต่ละวัน สัดเจ้าเหล่านี้โดยส่วนใหญ่แล้วจะนำไปฝังกลบรวมกับขยะมูลฝอยจากบ้านเรือน

อย่างไรก็ได้ในหลุมฝังกลบขยะชุมชนอาจมีการปนเปื้อนของกาลารพิที่ถูกนำมาทิ้งปะปนกับขยะมูลฝอยทั่วไป เป็นต้นว่าถ่านไฟฉาย แบนด์เตอร์ริรอกอนต์ ทำให้น้ำชะ่ายที่เกิดขึ้นมีสารพิษที่เป็นอันตรายปะปนอยู่โดยเฉพาะอย่างยิ่งໄโละหนัก เช่น ตะกั่ว สังกะสี แคนเดเมี่ยม เป็นต้น

ดังนั้นงานวิจัยนี้จึงมุ่งเน้นการศึกษาความสามารถในการคัดซับโลหะจากน้ำชะ่ายของสัดเจ้าสูงที่สุด สำหรับกระบวนการบำบัดน้ำเสีย เป็นการลดการปนเปื้อนของน้ำชะ่ายโดยการเปลี่ยนน้ำให้ดิน สามารถบำบัดได้ในที่ (in-site treatment) เมื่อนำสัดเจ้าส่วนเกินมาทิ้งในหลุมฝังกลบชุมชนในลักษณะเป็นวัสดุกลบหลุมประจำวัน/วัสดุกลบชั้นสุดท้าย (daily and final cover) ร่วมกับดินที่เป็นวัสดุที่ใช้อู่ทั่วไป หรืออาจใช้เป็นวัสดุชั้นคาดฝังกลบ (landfill liner) ทั้งนี้ขึ้นอยู่กับคุณสมบัติการซึมผ่านของน้ำของดินผสมสัดเจ้าส่วนที่ได้

การดำเนินงานวิจัย

การดำเนินงานวิจัยเบ่งออกเป็น

- การหาคุณสมบัติของสัดเจ้าสูง ทางชีวภาพ ทางเคมี และทางกายภาพ
- การทดสอบการคัดซับโลหะหนักที่สมดุล (adsorption isotherm)
- การทดสอบการคัดซับในดินที่มีลักษณะเดียวกันและไม่มีสัดเจ้าสูง

คุณสมบัติของสัดเจ้าสูง ทางชีวภาพ ทางเคมี และทางกายภาพ

คุณสมบัติทางชีวภาพ

การทดลองเพื่อพิจารณาความมีชีวิต (Viability) โดยการวัดและเทียบค่าดัชนีค่าอัตราการใช้สารอาหารสูงสุด (q_m) ของสัดเจ้าสูงที่ผ่านการทำให้แห้งโดยการอบที่อุณหภูมิต่างๆ โดยสนใจที่อุณหภูมิ 40 °C ซึ่งเป็นอุณหภูมิสูงสุดที่พบได้เมื่อทำแห้งสัดเจ้าสูงโดยการตากแดด (sand drying) ผลการทดลองสรุปได้ดังตารางที่ ก

ตาราง ก แสดงค่าอัตราการใช้สารอาหารสูงสุดของสัดเจ้าสูงที่อ่อนไหวต่อการเปลี่ยนแปลงของสัดเจ้าสูง

สภาวะ		q_m , 1/นาที		
อุณหภูมิ °C	ความชื้นสุดท้าย %	การทดลองครั้งที่ 1	การทดลองครั้งที่ 2	ค่าเฉลี่ย
ควบคุม		5.8×10^{-3}	6.9×10^{-3}	6.3×10^{-3}
40	50	2.0×10^{-3}	2.0×10^{-3}	2.0×10^{-3}
40	30	1.3×10^{-3}	1.4×10^{-3}	1.3×10^{-3}
50	50	2.0×10^{-3}	1.8×10^{-3}	1.9×10^{-3}

ซึ่งจะเห็นว่าที่สภาวะการอบแห้ง 40°C 50% จุลินทรีย์สามารถย่อยสลายสารอินทรีย์ได้ดีที่สุด แต่ก็ยังน้อยกว่าจุลินทรีย์ของชุดควบคุมอยู่ถึงประมาณ 3 เท่า โดยสภาพที่ศึกษาเป็นสภาพที่เอื้ออำนวยต่อการมีชีวิต เพราะมีการเติมอากาศและใส่อาหารเสริมพอกเพียง และถ้านำสัดดัจดังกล่าวมาทดสอบการดูดซับโลหะหนักและสารอินทรีย์ในน้ำชาจะชี้ว่าเป็นสภาพที่ไม่เหมาะสมกับการเติบโต การลดลงของโลหะหนักและสารอินทรีย์ในน้ำชาจะชี้งการเกิดจากการดูดซับที่ไม่ได้ถูกนำไปใช้ (uptake) โดยจุลินทรีย์ และเรียกการดูดซับแบบนี้ว่า passive adsorption

คุณสมบัติทางเคมี

สัดดัจด์เออสที่นำมาใช้ มาจากกระบวนการบำบัดน้ำเสียชีวภาพแบบแยกทิเวตเต็ดสัดดัจด์ของโรงบำบัดน้ำเสียชุมชนสี่พระยา โดยนำมาจาก 2 ชุด คือสัดดัจด์เออสส่วนเกินที่ยังไม่ผ่านการเติมโพลีเมอร์ (AS) และสัดดัจด์เออสส่วนเกินที่มีการใส่โพลีเมอร์ก่อนเข้าสู่เครื่องรีคันน้ำออกจากสัดดัจด์ (ASP) สัดดัจด์เออสทั้ง 2 ประเภทมีคุณสมบัติทางเคมีดังแสดงในตาราง ข

ตาราง ข คุณสมบัติทางเคมีของสัดดัจด์เออส

พารามิเตอร์	ASก่อนปรับสภาพด้วยโพลีเมอร์ (AS)		ASหลังปรับสภาพด้วยโพลีเมอร์ (ASP)
	AS30%ความชื้น	AS50%ความชื้น	
พีเอช	6.6	6.7	6.1
โลหะ (mg/l)			
- สังกะสี	0.2197	0.2416	0.2023
- โคโรเมียม	0.0215	0.0349	0.0357
- ตะกั่ว	0.0098	0.0176	0.0112
- แคนเดียม	0.0027	0.0014	0.0014
- อะลูมิเนียม	< 0.001	< 0.001	6.99
ปริมาณอินทรีย์ขัตฤกษ์ OM (%)	28.45	29.66	25.44
Cation Exchange Capacity, CEC (meq/100g)	67.0	80.3	61.7

สัดดัจด์ ASP จะมีปริมาณโลหะอะลูมิเนียมสูงทั้งนี้เนื่องจากสารโพลีเมอร์ที่ใส่มีอะลูมิเนียมเป็นองค์ประกอบหนึ่ง CEC (ซึ่งบอกถึงความสามารถในการแลกเปลี่ยนประจุบวก) ในสัดดัจด์เออสนี้ค่าสูงกว่าในดินมาก โดยที่คินที่ใช้ในการทดลองนี้ค่า CEC เพียง 28.7 meq/100g

คุณสมบัติทางกายภาพ

จากการทดสอบแบบมาตรฐาน (Standard Proctor หรือ Standard Compaction Test) ของสลัดจ์ ASP พบว่าปริมาณน้ำที่เหมาะสมในการบดอัดสลัดจ์ ASP เท่ากับ 50 เปอร์เซ็นต์โดยที่ได้ค่าความหนาแน่นแห้งสูงสุดเท่ากับ 0.88 กรัมต่อลูกบาศก์เซนติเมตร

การซึมผ่านของน้ำทำการทดสอบด้วยวิธีระดับน้ำเปลี่ยน (Variable Head, Falling Head) ของสลัดจ์ ASP บดอัดให้มีความหนาแน่นแห้งสูงสุด 0.8 กรัมต่อลูกบาศก์เซนติเมตร ได้ค่าการซึมผ่าน 2.20×10^{-5} เซนติเมตรต่อวินาที

นอกจากนี้ได้ทำการทดสอบหาความหนาแน่นแห้งสูงสุดของคินพสมสลัดจ์ ASP ในสัดส่วนต่างๆ และนำมาทดสอบค่าการซึมผ่านของส่วนผสมที่ความหนาแน่นแห้งสูงสุดได้ข้อมูลตามตารางที่ ค ซึ่งพบว่าคินที่ผสมสลัดจ์ ASP ช่วยให้ค่าการซึมผ่านของน้ำมีค่าลดลง และที่ส่วนผสม ASP ร้อยละ 33 มีค่าการซึมผ่านต่ำสุด แต่ยังมีค่าสูงกว่าค่ากำหนด (1×10^{-7} เซนติเมตรต่อวินาที) สำหรับใช้เป็นวัสดุชั้นดักฝังกลบ (landfill liner) ดังนั้นการนำสลัดจ์เออเลสไปใช้ในหลุมฝังกลบจึงใช้ได้เป็นเพียงวัสดุกลบประจำวัน

ตารางที่ ก. ผลการทดสอบค่าการซึมผ่านของน้ำในตัวอย่างบดอัด

ตัวอย่าง	ค่าความหนาแน่นแห้ง (กรัมต่อลูกบาศก์เซนติเมตร)	ค่าการซึมผ่านของน้ำ (เซนติเมตรต่อวินาที)
คิน	1.95	6.40×10^{-5}
สลัดจ์ ASP 33%	1.63	1.88×10^{-5}
สลัดจ์ ASP 50%	1.33	2.02×10^{-5}
สลัดจ์ ASP 67%	1.26	2.23×10^{-5}
สลัดจ์ ASP 100%	0.88	2.20×10^{-5}

การดูดซับโลหะหนักที่สมดุล (adsorption isotherm)

การทดสอบในน้ำชาขยะเมื่อมีโลหะเดี่ยว

น้ำชาขยะที่นำมากทดสอบมีการเก็บ 2 ครั้ง น้ำชาขยะ LCL ค่อนข้างเจือางมีซีโอดี 189 มิลลิกรัมต่อลิตร ค่าการนำไฟฟ้า 1,100 ไมโครซีเมนต์ต่อเซนติเมตร ในขณะที่น้ำชาขยะ HCL มีซีโอดี 3672 มิลลิกรัมต่อลิตร ค่าการนำไฟฟ้า 19,000 ไมโครซีเมนต์ต่อเซนติเมตร และน้ำชาขยะทึ้งสองมีปริมาณโลหะหนักที่เกี่ยวข้องในปริมาณที่ต่ำมาก การทดลองมีการเติมโลหะที่เกี่ยวข้องในน้ำชาขยะทึ้งสอง

ผลการทดลองการดูดซับที่สภาวะสมดุล พบร่วมกับการลดเชิงปฏิบัติ ได้โดย ไอโซเทอมแบบฟรุนเดิชได้ตามสมการ

$$\frac{x}{m} = KC_e^{\frac{1}{n}}$$

เมื่อ x/m = ปริมาณของตัวอุกคลาดีที่ถูกดูดติดผิวต่อหน่วยน้ำหนักของสารดูดติดผิว; มิลลิกรัม/กรัม

หรือ โมล/กรัม

C_e = ความเข้มข้นของตัวอุกคลาดีในสารละลายที่จุดสมดุล; มิลลิกรัม/ลิตร หรือ โมล/ลิตร

K = ค่าคงที่สัมพันธ์กับพลังงานของการดูดติดผิวของสารดูดติดผิว; (มิลลิกรัม/กรัม)(ลิตร/มิลลิกรัม) $^{1/n}$

$$1/n = \text{ค่าคงที่} \times \text{พื้นที่กับผลิตภัณฑ์}$$

และเมื่อพิจารณาค่า K และ n ในตารางที่ ง. เมื่อค่า n มีค่าไม่แตกต่างกันมาก จากค่า K พบว่าการคุณภาพของสลัตช์ เออเอส สามารถดูดซับตะกั่วได้มากกว่าโลหะตัวอื่น และในน้ำชาจะมีความเข้มข้นสูง HCL ส่งผลให้ความสามารถในการดูดซับลดลงเมื่อเทียบกับน้ำชา LCL

นอกจากนี้เมื่อเปรียบเทียบ ระหว่างสลัตช์ ASP และคินที่น้ำชาจะ เดียวกัน พบว่าสลัตช์ ASP มีค่า K สูงกว่าคิน ในทุกๆ โลหะหนักดังนี้ถ้าพิจารณาที่ความเข้มข้นสมดุลต่ำๆ ซึ่งผลของพิเศษนี้ความเข้มข้น (Cⁿ) มีน้อย หรือ ผลของ n ต่อความสามารถในการดูดซับน้อย และมักจะเป็นความเข้มข้นที่ต้องการ สลัตช์ ASP จึงมีความสามารถในการดูดซับโลหะหนักได้กว่าคินมาก

ตารางที่ ๔ : ค่าคงที่ไอโซเทอมแบบฟรุนเดลิชของการคุณภาพโลหะหนักชนิดด้วยสลัตช์ AS 50 % และ ASP ในน้ำชา LCL และ HCL

โลหะ	ค่าคงที่ไอโซเทอมการคุณภาพโลหะหนักชนิดด้วยสลัตช์ AS 50 % และ ASP											
	คิน			AS50%			ASP					
	HCL			LCL			LCL			HCL		
	K	n	R ²	K	n	R ²	K	n	R ²	K	n	R ²
Pb	0.24	3.62	0.93	1.91	1.56	0.99	3.80	1.86	0.97	2.55	1.75	0.94
Zn	0.12	3.49	0.98	0.37	2.75	0.99	0.71	2.84	0.99	0.37	2.34	0.92
Cd	0.17	3.32	0.95	0.53	1.42	0.94	-	-	-	-	-	-
Cr	0.006	1.96	0.92	0.008	1.49	0.93	-	-	-	-	-	-

การทดสอบในน้ำชาที่มีโลหะหนักสองธาตุ (binary metal)

การทดสอบผลของสังกะสีไอออนที่มีต่อการคุณภาพโลหะธาตุอื่นในสารละลายผสมโลหะหนักสองธาตุด้วย สลัตช์ AS พบว่า ผลการขับยึดของสังกะสีต่อการคุณภาพของโลหะที่ทดลองเรียงตามลำดับคือ มีผลขับยึดต่อ แอดเคนส์มากกว่าตะกั่ว ส่วนสลัตช์ ASP พบว่า สังกะสีไม่มีผลต่อการขับยึดการคุณภาพของตะกั่ว นั่นหมายความ ว่าสังกะสีสามารถอธิบายการคุณภาพของสลัตช์ AS ด้วยสมการ ไอโซเทอมแบบฟรุนเดลิชที่ใช้กับเมื่อมี ตะกั่วเพียงอย่างเดียว ถึงแม้ว่าในน้ำชาจะมีสังกะสีที่ใส่เพิ่มถึง 15 เท่าของความเข้มข้นตะกั่ว

การคุณภาพในคลอลัมเนลเลียนแบบชั้นวัสดุกลบประจำวันในหลุมฝังกลบ

การทดลองในคลอลัมเนลเลียนที่หนาตัด 78.5 ตารางซม. บรรจุสารคุณภาพที่เป็นสลัตช์ ASP ผสมในคินไม่บดอัด ให้มี ความหนาเท่ากับ 15 ซม. ซึ่งเป็นความหนาทั่วไปของวัสดุกลบประจำวัน โดยแบรสลัตช์ ASP ร้อยละ 0-15-30

50 และ 100 ของน้ำหนักรวม รับน้ำชาชยะที่อัตราเท่ากับ 300 มล./วัน ซึ่งอัตรานี้คำนวณจาก 2 เท่าของปริมาณน้ำหนักสูดเฉลี่ยต่อปี (โดยมีการเดินโดยหนักในน้ำชาชยะ ถ้าเป็นตะกั่ว 2 มก./ล. ถ้าเป็นสังกะสี 20 มก./ล. ผลการทดลองสำหรับการคุณภาพโลหะหนักพบว่าการเบรคทรูเกิดเฉพาะในคอลัมน์ที่สารคุณภาพเป็นดินอย่างเดียว แม้กระทาทำการทดลองนานถึง 3 เดือน(ปริมาตรน้ำชาชยะที่ผ่านแล้วทั้งสิ้น 25 ลิตรในแต่ละคอลัมน์) จากข้อมูลเส้นกราฟเบรคทรูของดินนำมาคำนวณค่าคงที่จลน์ศาสตร์ของอัตราการคุณติดผิวสังกะสีและตะกั่วของดินในคอลัมน์เท่ากับ 0.0117 และ 0.3173 ลิตร/มิลลิกรัม-วันตามลำดับ และสำหรับการคุณภาพสารอินทรีย์เกิดการเบรคทรูเร็วมาก ทั้งในคอลัมน์ที่เป็นดินและสัดส่วน ASP และมีค่าไม่แตกต่างกัน โดยค่าคงที่จลน์ศาสตร์ของอัตราการคุณภาพซึ่งได้ในคอลัมน์อยู่ในช่วง 1.5×10^{-4} ~ 2.6×10^{-4} ลิตร/มิลลิกรัมซึ่งได้-วัน ซึ่งเป็นค่าที่ต่ำมาก

การทดลองไม่สามารถดำเนินการจนถึงเบรคทรูของสัดส่วน ASP ทั้งในการคุณภาพทั้งสังกะสีและตะกั่ว แม้แต่ในคอลัมน์ที่มีสัดส่วน ASP เพียงร้อยละ 15 ของน้ำหนักแห้งทั้งหมด แต่จากการคำนวณโดยแยกคำนวณปริมาตรน้ำเบรคทรูของสัดส่วน ASP ตามมวลที่คิดจากร้อยละ 15 ของน้ำหนักแห้งทั้งหมดดังกล่าว และปริมาตรนำเบรคทรูของดินสำหรับการคุณภาพสังกะสี พบว่าเมื่อร่วมแล้วมีค่าต่ำกว่าปริมาตรนำผ่านที่ใช้ในการทดลอง (25 ลิตร) ดังนั้นจึงน่าจะหมายถึงว่าการทดสอบ ASP และดินทำให้ศักยภาพการคุณภาพโลหะหนักดีขึ้น

เนื่องจากสัดส่วนของสิ่งที่มีความสามารถในการคุณภาพสังกะสีและตะกั่วสูงกว่าดิน ดังนั้นมี่อนนำไปใช้งานจึงควรให้มีการใช้สัดส่วนของสิ่งที่มีประสิทธิภาพและให้ชั้นเบรคทรูไปเกิดที่ชั้นดินแทน หรือการใช้ดินกลบก่อนแล้วจึงใช้สัดส่วนของสกุลบนดิน และจากตัวอย่างในการวิเคราะห์ในสถานการณ์ที่แย่ร้ายที่สุด(worst case) พบว่าการใช้ดินต่อสัดส่วนของสกุลบนดินสัดส่วน 0.75 : 0.25 น้ำหนักแห้ง สามารถที่จะรับน้ำชาชยะได้สูงถึง 3000 ลบ.เมตรจากยะ 100 ตัน โดยที่น้ำชาชยะเมื่อผ่านวัสดุดังกล่าวจะมีความเข้มข้นตะกั่วไม่เกิน 0.1 มก./ล.

นอกจากนี้การใช้สัดส่วน สามารถใช้ในรูปสัดส่วนที่มีการปรับสภาพด้วยสารโพลีเมอร์และผ่านการรีดนำไปใช้โดยจะมีความชื้นเหลืออยู่ประมาณร้อยละ 50 ของน้ำหนักทั้งหมด ซึ่งเป็นสภาพทั่วไปของสัดส่วนของสกุลที่ออกจากโรงบำบัดน้ำเสีย

บทคัดย่อ

รหัสโครงการ : RDG4530016

ชื่อโครงการ : การปรับสภาพดินด้วยสลัต์จากกระบวนการบำบัดน้ำเสียชุมชน เพื่อนำมาใช้บำบัดน้ำชาขยะ
ชื่อนักวิจัย : เนลิมราช วันทวิน¹, จากรุตโน วนิสรากุล¹, พิรดา ว่องเกษฐา¹

¹ คณะวิศวกรรมศาสตร์ มหาวิทยาลัยเทคโนโลยีพระจอมเกล้า ชลบุรี

email address : chalermaij.wan@kmutt.ac.th

ระยะเวลาโครงการ 15 กุมภาพันธ์ 2545 ถึง 14 กุมภาพันธ์ 2547

สลัต์เจืออสเป็นสลัต์จุลินทรีย์ส่วนเกินของกระบวนการบำบัดน้ำเสียแบบแอคติเวตเต็ดสลัต์ ซึ่งมักมีการจัดการโดยนำไปฝังกลบร่วมกับขยะชุมชน กอรปกับขยะชุมชนอาจมีการปนเปื้อนของของเสียอันตรายทำให้น้ำชาขยะมีปริมาณโลหะหนัก งานวิจัยนี้จึงเป็นการศึกษาคุณสมบัติการดูดซับโลหะหนักของสลัต์เจืออส และคุณสมบัติการให้น้ำซึมผ่าน เพื่อพิจารณาการใช้ประโยชน์ สลัต์เจืออส ในหลุมฝังกลบขยะ โลหะหนักหลักที่ศึกษาได้แก่ ตะกั่ว และ สังกะสี

การทดลองแบ่งเป็น 3 ส่วน ส่วนแรกศึกษาไอโซเทอมการดูดซับที่สมดุลของสลัต์เจืออสที่ผ่านการเติมโพลิเมอร์ (ASP) และ ไม่ผ่านการเติมโพลิเมอร์ (AS) ส่วนที่สองศึกษาคุณสมบัติdinผสมสลัต์ ASP ในเรื่องการซึมผ่านของน้ำตามมาตรฐาน ASTM D 5084 และส่วนที่สามเป็นการศึกษาจำลองสถานการณ์เมื่อใช้สลัต์ ASP เป็นวัสดุกลบประจำวัน โดยแปรสัดส่วนดินต่อสลัต์ บรรจุใน colloamn สูง 15 ซม.

จากการศึกษาพบว่าไอโซเทอมแบบฟรุนเดลิชอธิบายการดูดติดผิวโลหะหนักของสลัต์เจืออสในน้ำชาขยะได้โลหะตะกั่วถูกดูดติดผิวได้ดีที่สุด รองลงมาคือ แคนเดเมียม, สังกะสี และโครเมียมตามลำดับ และ ASP มีความสามารถในการดูดติดผิวโลหะได้ดีกว่า AS ค่า K ของสมการฟรุนเดลิชในการดูดติดผิวตะกั่วและสังกะสี จากน้ำชาขยะของ ASP มีค่า 2.55 และ 0.37 (มก. /ก.)^{1/n} (ล. /มก.) ตามลำดับ ส่วนการทดสอบการซึมผ่านของน้ำ พบร่วมค่าการซึมผ่านของน้ำของ ASP บดอัด มีค่าต่ำกว่าดินบดอัด โดยมีค่าเท่ากับ 2.20×10^{-5} และ 6.40×10^{-5} ซม. /ว. ตามลำดับ และการซึมผ่านของน้ำของดินบดอัดเมื่อผสมสลัต์มีค่าลดลงและดีที่สุดเมื่อมี ASP ผสมร้อยละ 33 โดยนำหนัก โดยมีค่าเท่ากับ 1.88×10^{-5} ซม. /ว. อย่างไรก็ตามค่าการซึมผ่านของน้ำในทุกตัวอย่าง มีค่าสูงเกิน 1×10^{-7} ซม. /ว. ซึ่งเป็นค่ากำหนดสำหรับวัสดุชั้นด้านฝังกลบ (landfill liner) จึงควรใช้สลัต์เจืออส เป็นวัสดุกลบประจำวันร่วมกับดิน ซึ่งผลการทดลองใน colloamn ที่รับน้ำชาขยะอัตรา 300 มล. /วัน โดยมีการเติมโลหะหนักในน้ำชาขยะ ถ้าเป็นตะกั่ว 2 มก. /ล. สังกะสี 20 มก. /ล. พบร่วมค่าการเบรคทรูเกิดเฉพาะใน colloamn ที่สารดูดซับเป็นดินอย่างเดียว แม้การทำการทดลองนานถึง 3 เดือน

คำหลัก: สลัต์เจืออส ไอโซเทอมแบบฟรุนเดลิช ตะกั่ว น้ำชาขยะ ค่าการซึมผ่านของน้ำของ วัสดุกลบประจำวัน

Abstract

Project code : RDG4530016

Project Title : Conditioning Soil by Excess Sludge from Sewage Treatment Process for Treatment of Sanitary Landfill Leachate

Investigators : Wantawin C.¹, Voranissarakul J.¹, Vongketsada P.¹

¹ Faculty of Engineering King Mongkut's University of Technology Thonburi

email address : chalermaij.wan@kmutt.ac.th

Project duration February 2002 - February 2004

Excess activated sludge discharged from wastewater treatment process usually is disposed in domestic waste landfill where could be contaminated by hazardous waste and results to considerable concentration of heavy metal in leachate. The objective of this work is to verify the benefits of activated sludge disposed in landfill on heavy metals removal from leachate. The main studied heavy metals were lead and zinc.

There were three sections in this study: (1) Investigating the adsorption isotherm of activated sludges with (ASP) and without (AS) polymer addition; (2) Analyzing the permeability of ASP mixed soil by following ASTM D 5084 standard; (3) Using column filled with 15 cm. depth of ASP or soil to simulate as the daily cover material for adsorption breakthrough study.

Freundlich isotherm could be used well to describe the heavy metals adsorption from leachate. Lead was adsorbed highest following with cadmium, zinc and chromium by both ASP and AS. Freundlich K values of lead and zinc adsorbed on ASP were 2.55 and 0.37 (mg/g)(l/mg)^{1/n} respectively. The permeability of 2.2×10^{-5} cm/sec was obtained from compacted ASP less than 6.4×10^{-5} cm/sec of compacted soil. For The lowest permeability of compacted mixture of 1.88×10^{-5} cm/sec was obtained when soil was added with ASP of 33 percent by weight. However, it was still larger than that allowed for use as liner in landfill. In column test simulating the use of ASP mixed soil as daily cover material, the leachate of 300 ml/day spiked with zinc of 20 mg/l or lead of 2 mg/l was applied. The results showed that even the experiments lasts to 3 months, the breakthrough occurred only in the column without ASP (soil mixed ASP of 0 percent). The kinetics constants of breakthrough adsorption rate of soil for zinc and lead were 0.0117 and 0.3173 l/mg-d respectively.

Key words: Activated sludge, Freundlich isotherm, Lead , Leachate, Permeability, Daily cover

เนื้อหาวิชีวจัย

สารบัญ

บทที่	เนื้อหา	หน้า
1	บทนำ	1-9
2	การวิเคราะห์คุณสมบัติของสลัดจ์และดินที่ใช้ในการทดลอง	10-15
3	ผลของการทำแห้งสลัดจ์ ที่มีต่อความสามารถในการดูดซับสารอินทรีย์	16-19
4	ศึกษาประโยชน์ของการดูดซับโลหะหนักของสลัดจ์และดิน	20-46
5	คุณสมบัติการซึมผ่านของน้ำ ของสลัดจ์และดินที่ค่ากรอบดัดต่างๆ	47-52
6	ทดสอบการดูดซับโลหะหนัก และสารอินทรีย์ในน้ำชะลละลายจะตัวยกอัมโนดูดซับ	53-62
7	ประโยชน์ในการนำมาใช้งาน	63-66
	เอกสารอ้างอิง	

บทที่ 1

บทนำ

1.1. ความสำคัญและที่มาของปัญหาการวิจัย

ในปัจจุบันทั้งทางภาครัฐและเอกชน ได้ตระหนักถึงความสำคัญของสิ่งแวดล้อม จึงมีการสร้างระบบบำบัดน้ำเสียมารองรับน้ำเสียที่เกิดขึ้นทั้งน้ำเสียจากชุมชนและน้ำเสียอุตสาหกรรม ระบบบำบัดน้ำเสียที่สร้างขึ้นล้วนใหญ่เป็นระบบบำบัดแบบชีวภาพ (biological treatment process) ซึ่งในการดำเนินงานระบบบำบัดแบบชีวภาพนี้จะต้องมีการระบายน้ำสัดส่วนก่อนออก และต้องทำการกำจัดสัดส่วนก่อนที่ระบายน้ำออก ซึ่งเมื่อพิจารณาการบำบัดน้ำเสียจากชุมชนและอุตสาหกรรมเฉพาะในกรุงเทพฯ เมื่อเร็วๆ นี้ โครงการทั้งหมดแล้ว ระบบบำบัดจะรับน้ำเสียที่สูง 992,000 ลบ.ม./วัน ซึ่งคำนวณแล้วจะมีสัดส่วนประมาณ 100 ตัน/วัน

ปัจจุบันมีการนำสลัดจ์ที่เหลือทิ้งไปใช้ทำเป็นปุ๋ยอินทรีย์ แต่ต้องมีการพิจารณาถึงอันตรายที่เกิดจากโลหะหนักซึ่งอาจมีอยู่ในสลัดจ์ เช่น ตะกั่ว, ทองแดง และแ cacium เมียม ที่ทำให้เกิดสะสมอยู่ในดิน หลังจากเติมปุ๋ยอินทรีย์ที่มาจากการผลิต (U.S. EPA, 1999) และส่วนใหญ่สลัดจ์ส่วนที่เหลือนักจะนำไปฝังในหลุมฝังกลบรวมกับขยะมูลฝอย

การฝังกลบขยะชุมชน ถ้าไม่มีการจัดการที่ดี เช่นการคัดแยกของเสียอันตรายออก เป็นต้นว่า ถ่านไฟฟ้า แบนเตอร์รอนิค หรือมีการปูนเปื้อนกากพิษจากโรงงานอุตสาหกรรม ที่ถูกนำมาทิ้งไปบนกัน ขยะมูลฝอยทั่วไป และถูกนำไปทำการฝังกลบโดยไม่มีการนำบัดของเสียอันตรายเหล่านี้ก่อน [4] ทำให้น้ำประปา ที่เกิดขึ้นมีสารพิษที่เป็นอันตรายไปปนอยู่โดยเฉลียว่าอย่างยิ่ง โลหะหนัก เช่น ตะกั่ว สังกะสี แคลเซียม เป็นต้น ซึ่งเป็นที่ทราบกันดีว่า โลหะหนักเหล่านี้สามารถก่อให้เกิดอันตรายต่อมนุษย์และสัตว์มีชีวิตต่าง ๆ ได้ ถ้าหากน้ำประปาที่เกิดขึ้นนี้ไม่ได้รับการนำบัดที่เหมาะสมก่อนปล่อยออกสู่แหล่งน้ำตามธรรมชาติ

ดังนั้นงานวิจัยนี้จึงมุ่งเน้นการศึกษาความสามารถในการคัดชั้บโลหะจากน้ำชาของสลัดเจ๊กุลินที่รีส่วนเกินของระบบบำบัดน้ำเสีย เมื่อนำสลัดเจ๊กุลินมาทิ้งในหลุมฝังกลบชุมชนในลักษณะเป็นวัสดุกลบหลุมประจำวันร่วมกับดินที่เป็นวัสดุที่ใช้ทิ้งไว้

การผสมสลัดเจ็ทกับดินจะเป็นการเพิ่มสารอินทรีย์ในดิน จะเป็นการเพิ่มประสิทธิภาพในการนำมารื้นฟูดินให้สามารถดูดซึมน้ำและละลายของสารต่างๆได้ดีขึ้น ซึ่งเป็นสาเหตุที่มีความเข้มข้นสูง (high-strength wastewater) มีค่าบีโอดี (BOD) และซีโอดี (COD) สูง มีสีทึบดำน้ำร่วงเกี้ยว และมีริมงานการปูเปื้อนของโลหะหนักหลายธาตุในปริมาณที่อาจเป็นพิษได้ นอกจากนี้ยังเป็นการลดการปูเปื้อนของน้ำและละลายของสารต่างๆในแหล่งน้ำพิวดิน และแหล่งน้ำใต้ดิน ดินที่ผ่านการปรับปรุงจะนำมาใช้เป็นชั้นคลุมฝังกลบ (landfill liner) หรือวัสดุคลุมประจำวันและวัสดุคลุมชั้นสุดท้าย (daily and final cover) ทั้งนี้ขึ้นอยู่กับคุณสมบัติการซึมผ่านของน้ำของดินผสมสลัดเจ็ท

การนำกินพสมสลัดจมูกมาใช้ในการบำบัดน้ำชาละลายจะเป็นวิธีการที่สะดวก สามารถบำบัดได้ในที่ (in-site treatment) และเป็นการนำสลัดจมูกไปประยุกต์ดังนั้นการศึกษาพฤติกรรมของдинพสมสลัดจมูกเพื่อนำไปใช้เป็นสารคูดซับในกระบวนการบำบัดทางกายภาพเคมีของน้ำชาละลายจะเป็นที่น่าสนใจการทดสอบหาข้อมูลพื้นฐาน เพื่อการออกแบบพื้นที่ฝังกลับที่มีการใช้สลัดจมูก และ dinพรับสภาพสลัดจมูกเป็นวัสดุฝังกลับ ตลอดจนคาดการณ์คุณสมบัติของน้ำชาละลายที่ผ่านการคูดซับด้วยสลัดจมูกหรือ dinพสมสลัดจมูก เพื่อการประเมินถ่ายการใช้งานพื้นที่ฝังกลับจะ และการประเมินการปนเปื้อนของน้ำชาละลายจะสู่แหล่งน้ำได้ดี

1.2. วัตถุประสงค์ของโครงการ

- 1) ศึกษาคุณสมบัติของสลัดจ์เหลือทิ้งจากการกระบวนการบำบัดทางชีวภาพ มาใช้เป็นสารดูดซับ และวัสดุ ฝังกลบขยะ
- 2) พิจารณาความสามารถในการดูดซับ โลหะหนัก และสารอินทรีย์ของสลัดจ์ที่เหลือทิ้งจากการกระบวนการบำบัดทางชีวภาพที่ผ่านการทำแท้ ให้เป็นรูปของสมการ relation ศาสตร์
- 3) เพื่อหาสัดส่วนของคินพสมสลัดจ์ที่เหมาะสมในการบำบัดน้ำชาและลายขยะ และผลของการนำน้ำชาและลายขยะด้วย คลัมน์

1.3 งานวิจัยที่เกี่ยวข้อง

1.3.1 ปริมาณโลหะในน้ำชาขยะ

Clark และ Piskin [5] ได้ศึกษาปริมาณของสารอินทรีย์ในน้ำชาขยะจากหลุ่ฟังกลบมูลฝอยในรัฐอิลลินอยส์ ประเทศสหรัฐอเมริกาพบว่า ปริมาณโลหะหนักที่พบมากที่สุดคือ เหล็ก ที่พบรองลงมาคือ ทองแดง สังกะสี และบอรอน ตามลำดับ ซึ่งรวมกันแล้วมีปริมาณน้อยกว่า 1 เปอร์เซ็นต์ขององค์ประกอบในน้ำชาขยะทั้งหมด ส่วนแมลงกานีส ตะกั่ว แบบเรย์น แคนเดเมียม และปรอท มากกว่า 50 เปอร์เซ็นต์ของน้ำชาขยะที่เก็บมาไม่ค่าเกิน ความเข้มข้นที่มากที่สุดที่ยอมให้มีได้ ส่วนปริมาณของโคโรเมียม อาร์เซนิก เเงิน และทองแดง มีค่าเกินความเข้มข้นที่มากที่สุดที่ยอมให้มีได้ เช่นเดียวกัน

Bagchi [6] ได้ร่วมรวมข้อมูลจากงานวิจัยพบว่า โลหะหนักที่เจือปนในน้ำชาขยะที่สามารถตรวจพบมีทั้งหมด 22 ธาตุ และโลหะหนักที่มีความเข้มข้นเกินค่า Toxicity Characteristic Leaching Procedure (TCLP) และเป็น โลหะหนักที่อันตรายได้แก่ Pb, Cr, As, Hg, Cd, Ba, Ag และ Se

Chain และ Dewalls 1997 รวบรวมข้อมูลโลหะหนักในน้ำชาขยะของประเทศไทยต่างๆ พบว่าค่าความเข้มข้นของ โลหะสังกะสีจะมีค่าอยู่ในช่วง 0.22 – 370 มก./ล และโลหะตะกั่วมีความเข้มข้นอยู่ในช่วง 0.01 – 2 มก./ล.

1.3.2 การดูดซับโลหะหนักโดยชีวมวล

Tien 2002 ศึกษาถึงการดูดติดผิวโลหะหนักด้วยเซลล์เห็ด 4 ชนิดคือ *Oscillatoria limnetica*, *Anabaena spiroides*, *Eudorina elegans* และ *Chlorella vulgaris* ซึ่งสารละลายน้ำที่ใช้คือ สารละลายน้ำที่มีค่า pH 7 และสารละลายน้ำที่มีค่า pH 1 ตามลำดับ สำหรับสารละลายน้ำที่ pH 7 ได้รับการทดสอบแบบเบบากะ ควบคุมพื้อเชื้อให้มี ค่าประมาณ 4 – 5 ตลอดทั้งการทดลอง และใช้เวลาที่จุดสมดุลการดูดติดผิวเท่ากับ 1 ชั่วโมง จากผลการทดลองเมื่อวิเคราะห์ด้วยโมเดล ฟรุนเดลิชพบว่า เซลล์เห็ดชนิด *O. limnetica* มีความสามารถในการดูดติดผิว โลหะตะกั่วและคงปะปอร์ไฟต์ที่สุด รองลงมาคือ *C. vulgaris*, *E. elegans*, *A. spiroides*, ตามลำดับ เนื่องจาก *O. limnetica* มีอัตราส่วนของพื้นที่ผิวเซลล์ต่อน้ำหนักเซลล์แท้สูงกว่า *C. vulgaris*, *E. elegans* และ *A. spiroides* ตามลำดับ ซึ่งอัตราส่วนของพื้นที่ผิวเซลล์ต่อน้ำหนักเซลล์แท้เป็นปัจจัยหลักตัวหนึ่งที่ส่งผลต่อความสามารถในการดูดติดผิว ส่วนในการดูดติดผิวโลหะแคนเดเมียมด้วย *O. limnetica* ซึ่งพบว่า *O. limnetica* ไม่สามารถดูดติดผิว

โลหะแคดเมียมได้สูงสุดเหมือนกับโลหะตัวอื่น ๆ ซึ่งอาจมีสาเหตุมาจากผนังเซลล์ของ *O. limnetica* มีอัฟฟินิตี้ (Affinity) ในการรีดเกาะกับโลหะแคดเมียมตัวอื่นๆ เอง

Brady และ Duncan 1994 ศึกษาผลกระทบของพื้นที่เชิงลึก ความเข้มข้นของสารละลายโลหะต่อการดูดติดพิวไออกอนโลหะของ *Saccharomyces cerevisiae* ที่มีชีวิต พบว่าเซลล์สตัตสารกรดดูดติดพิวไออกอนโลหะหนักได้ร่วมเร็วและถึงจุดสมดุลภายในเวลา 10 นาที ปริมาณการดูดติดพิวไออกอนทองแดง แคดเมียม และโคบัลต์จากสารละลายความเข้มข้น 200 ไมโครโมลต์ต่อลิตร เท่ากับ 90, 100 และ 70 นาโนโมลต์ต่อลิตรตามลำดับ ปริมาณการดูดติดพิวทองแดงของยีสต์มีแนวโน้มเพิ่มขึ้นตามความเข้มข้นของสารละลายทองแดงที่เพิ่มขึ้น โดยดูดติดพิวไออกอนทองแดงได้ร้อยละ 55 ของปริมาณไออกอนทองแดงในสารละลาย ส่วนพื้นที่เหลือสามารถดูดติดพิวอยู่ระหว่าง 5 – 8 เมื่องจากที่พื้นที่โลหะสูงทองแดงจะอยู่ในรูปสารประกอบออกไซด์ ไฮดรอกไซด์ และคาร์บอเนตที่ไม่ละลายน้ำ ส่วนที่พื้นที่โลหะตัวจะเกิดการจับกันระหว่างไฮดรนีเยียมไออกอนกับจุดกัมมันต์ที่เป็นประจุลบบริเวณพิวเซลล์ได้ ซึ่งไฮดรนีเยียมไออกอนนี้จะส่งแรงผลักไม่ให้โลหะหนักเข้ามาขับกับจุดกัมมันต์ที่เป็นประจุบวกบริเวณพิวเซลล์ จึงทำให้โลหะหนักถูกจับได้น้อยลง ส่วนผลกระทบจากอุณหภูมิต่อการดูดติดพิวโลหะมีน้อยมาก

Volesky และ May-Phillips 1995 ศึกษาถึงการดูดติดพิวโลหะหนักด้วยยีสต์ชนิด *Saccharomyces cerevisiae* ที่ใช้ในการหมักเหล้า (Brewer 's Yeast) และที่ใช้ในการทำขนมปัง (Baker 's Yeast) ทั้ง ที่มีชีวิต (สด) และไม่มีชีวิต (แห้ง) ซึ่งสารละลายโลหะหนักที่ใช้คือ สารละลายในเครื่องของโลหะยูโรเนียม , สังกะสี , ทองแดง และแคดเมียม โดยจะทำการทดลองแบบแอบดูและควบคุมพื้นที่โลหะให้มีค่าประมาณ 4 ตลอดทั้งการทดลองหัว 0.1 M กรดในคริก ผลการทดลองพบว่า *Saccharomyces cerevisiae* ชนิด Brewer 's Yeast ทั้งที่มีชีวิตและไม่มีชีวิตจะดูดติดพิวโลหะยูโรเนียมได้มากกว่าโลหะตัวอื่น ๆ ส่วน *Saccharomyces cerevisiae* ชนิด Baker 's Yeast ทั้งที่มีชีวิตและไม่มีชีวิตจะดูดติดพิวโลหะสังกะสีได้มากกว่าโลหะตัวอื่น ๆ โดยเซลล์ที่ไม่มีชีวิตสามารถดูดติดพิวโลหะยูโรเนียมและสังกะสีได้มากกว่าเซลล์ที่มีชีวิตประมาณ 40 เบอร์เซ็นต์ และประสิทธิภาพในการดูดติดพิวขึ้นอยู่กับอุณหภูมิของเซลล์ที่ใช้คือ เซลล์ที่มีอุณหภูมิจะมีประสิทธิภาพในการดูดติดพิวโลหะสูงกว่าเซลล์ที่มีอุณหภูมนอกจากนี้ยังพบว่าการดูดติดพิวโลหะหนักด้วย *Saccharomyces cerevisiae* ทั้งที่มีชีวิตและไม่มีชีวิตเป็นการดูดติดคงที่เกิดขึ้นทั้งทางกายภาพและเคมีภาพคือมีทั้งการดูดติดพิวโลหะหนักไว้ที่ผิวของเซลล์และการดูดติดพิวโลหะหนักเข้าไปในเซลล์ด้วย

Alibihai และคณะ 1985 ศึกษาการดูดติดพิวไออกอนโลหะหนักด้วยสตัตเซลล์ที่ไม่มีชีวิต พบว่ามีปัจจัยต่อการดูดติดพิวโลหะหนักคือ พื้นที่เชิงลึก ศักยภาพทางออกซิเดชัน-รีดักชันและการเกิดสารประกอบชิงช้อน นอกจากนี้ยังพบว่าการดูดติดพิวไออกอนโลหะหนักของเซลล์ที่มีชีวิตและไม่มีชีวิตต่ออุณหภูมิมีอิทธิพลของแลงม้วร์ สามารถหาปริมาณไออกอนโลหะหนักที่ถูกดูดติดพิวสูงสุดต่อหน่วยสตัตเซลล์ (V_m) ที่ 35°C เท่ากับ 0.53, 1.54, 0.41 และ 0.43 โมลต่อกรัมสตัตเซลล์ตามลำดับ ลำดับความสามารถในการดูดติดพิวโลหะหนักที่อุณหภูมิ 20 และ 35°C เมื่อนอกจาก Fe > Pb > Cr > Zn ซึ่งแสดงให้เห็นว่ากระบวนการกราฟแอลกอฮอล์ไออกอนเกิดขึ้นบริเวณพิวเซลล์หรือเกิดสารประกอบอนิน ทรีท์ที่ตกตะกอนอยู่บนพิวเซลล์

1.3.3 ไอโซเทอมการดูดติดผิวโดยชีวนะ

Mohamed 2001 ศึกษาถึงการดูดติดผิวโลหะหนักด้วยแบคทีเรียชนิด *Gloeothece magna* ทั้งที่มีชีวิตและไม่มีชีวิต ซึ่งสารละลายน้ำก็ใช้คือ สารละลายนีโอดีเมียมคลอไรด์ และสารละลายนีโรมากานีสเซเลฟเฟต์ โดยทำการทดลองแบบกะ จำกผลการทดลองเมื่อวิเคราะห์ด้วยโนมแคลฟรูนคลิชพบว่า เชลล์แบคทีเรียชนิด *G. magna* ที่ไม่มีชีวิตมีความสามารถในการดูดติดผิวทั้งโลหะแคดเมียมและแมงกานีสได้ดีกว่าเชลล์แบคทีเรียชนิด *G. magna* ที่มีชีวิต ซึ่งจะเห็นได้จากค่าคงที่ K (Adsorption Capacity) ของฟรูนคลิชไอโซเทอมการดูดติดผิวโลหะแคดเมียมและแมงกานีสด้วย *G. magna* ที่ไม่มีชีวิตและมีชีวิตค่าเท่ากับ 912.6 และ 151.4 (มิลลิกรัมต่อกรัม)(ลิตรต่อมิลลิกรัม)^{1/n} ตามลำดับสำหรับโลหะแคดเมียม กับ 2398 และ 63 (มิลลิกรัมต่อกรัม)(ลิตรต่อมิลลิกรัม)^{1/n} ตามลำดับสำหรับโลหะแมงกานีส

Jianlong และคณะ 2001 ศึกษาถึงการดูดติดผิวโลหะตะกั่วด้วย *Aspergillus niger* โดยทำการทดลองแบบกะ และควบคุมเพื่อเชิงใหม่ค่าประมาณ 6 ตลอดทั้งการทดลองพบว่า *A. niger* สามารถดูดติดผิวไอโซตอนโลหะตะกั่ว จนถึงจุดสมดุลภายในเวลา 4 ชั่วโมง และเมื่อศึกษาไอโซเทอมการดูดติดผิวโลหะตะกั่วด้วยโนมแคลฟรูนคลิชพบว่า ค่าคงที่ K (Adsorption Capacity) ของฟรูนคลิชไอโซเทอมมีค่าเท่ากับ 1.69 (มิลลิกรัมต่อกรัม)(ลิตรต่อมิลลิกรัม)^{1/n} นอกจากนี้ยังได้ทำการทดลองในส่วนของการถ่ายซับโลหะตะกั่วเพื่อศึกษาการนำเชลล์สำหรับกลับมาใช้ใหม่ ซึ่งพบว่า 0.1 M กรณีตระกูลนี้ความสามารถในการถ่ายซับโลหะตะกั่วที่ถูกดูดติดผิวนั้นพิเศลล์สำหรับได้ดีที่สุด

Fourest และ Roux 1992 ศึกษาสัดส่วนมวลเหลือทั้ง *Rhizopus arrhizus* จากโรงงานอุตสาหกรรมที่ไม่มีชีวิตมาใช้เป็นวัสดุดูดติดผิวไอโซตอนโลหะนิกเกล สังกะสี แคดเมียม และตะกั่ว ที่เพื่อชั่วโมง พบว่านิกเกล และสังกะสีถูกดูดติดผิวได้ดีที่เพื่อชั่วโมง แต่ถูกดูดติดผิวได้ดีที่เพื่อชั่วโมง 5.0 และการดูดติดผิวจะน้อยลงเมื่อเพื่อชั่วโมง ซึ่งผลการทดลองสามารถวิเคราะห์โดยใช้แบบจำลองของ แลงมาร์ โดยค่าปริมาณการดูดติดผิวไอโซตอนโลหะนิกเกล สังกะสี แคดเมียม และตะกั่วสูงสุด เท่ากับ 18.7 , 13.5 , 26.8 และ 55.6 มิลลิกรัมต่อกรัมวัสดุชีวนะ ตามลำดับ

1.3.4 การดูดติดผิวในระบบสององค์ประกอบ

Brady และ Tobin 1995 ทำการศึกษาผลของค่าดัชนีโควาเลนซ์ (Covalent Index) ที่มีต่อการดูดติดผิวไอโซตอนของ Sr^{2+} และไอโซตอนของ Mn^{2+} , Zn^{2+} , Cd^{2+} , Cu^{2+} และ Pb^{2+} ในระบบสององค์ประกอบ (Binary System) ด้วย *Rhizopus arrhizus* ซึ่งจากการทดลองพบว่า ปริมาณโลหะที่ถูกดูดติดผิวจะประพันตรงกับค่าดัชนี โควาเลนซ์ของโลหะนั้น ๆ กล่าวคือ โลหะที่มีค่าดัชนีโควาเลนซ์สูงจะถูกดูดติดผิวได้ในปริมาณมากกว่าโลหะที่มีดัชนีโควาเลนซ์ต่ำ ซึ่งปริมาณโลหะที่ถูกดูดติดผิวเรียงตามลำดับได้ดังนี้ : $\text{Sr}^{2+} < \text{Mn}^{2+} < \text{Zn}^{2+} < \text{Cd}^{2+} < \text{Cu}^{2+} < \text{Pb}^{2+}$ และยังพบว่าความสามารถในการแทนที่ (Displacement) และความสามารถในการขับยับ (Inhibition) ของไอโซตอน Mn^{2+} , Zn^{2+} , Cd^{2+} , Cu^{2+} และ Pb^{2+} จะมีค่าสูงขึ้น (สามารถแทนที่หรือขับยับการดูดติดผิวของโลหะตัวอื่น ๆ ได้ดีขึ้น) เมื่อค่าดัชนีโควาเลนซ์ของโลหะมีค่าเพิ่มขึ้น แต่สำหรับ Sr^{2+} ความสามารถในการแทนที่ความสามารถในการขับยับของโลหะจะมีค่าต่ำลง (สามารถแทนที่หรือขับยับการดูดติดผิวของโลหะตัวอื่น

ๆ ได้ลดลง) เมื่อค่าดัชนีโควาเลนซ์ของโลหะมีค่าเพิ่มขึ้น เนื่องจากพันธะเคมีที่เกิดขึ้นระหว่าง Sr^{2+} กับลิแกน (Ligand) บนวัสดุชีวมวลเป็นพันธะ ไออ่อนนิก ซึ่งแตกต่างจากพันธะที่เกิดขึ้นระหว่าง ไอออนของ Mn^{2+} , Zn^{2+} , Cd^{2+} , Cu^{2+} และ Pb^{2+} กับลิแกนบนวัสดุชีวมวลที่เป็นพันธะ โโคเวเลนต์

Puranik และ Paknikar 1999 ทำการศึกษาการคูดติดผิวโลหะด้วยวัสดุชีวมวลทั้งในระบบสององค์ประกอบ (Binary System) และระบบหลายองค์ประกอบ (Multimetal System) โดยจะทำการศึกษาผลของโโค-แคท ไออ่อน (Co-Cations) ได้แก่ Cd^{2+} , Cu^{2+} , Co^{2+} และ Ni^{2+} ที่มีต่อการคูดติดผิวโลหะตะกั่วและสังกะสีด้วย *Streptoverticillium cinnamomeum* และ *Penicillium chrysogenum* ซึ่งจากการทดลองพบว่า ในระบบสององค์ประกอบทั้งที่ใช้ *Streptoverticillium cinnamomeum* และ *Penicillium chrysogenum* โโค-แคท ไออ่อนจะส่งผลต่อการคูดติดผิวโลหะสังกะสีมากกว่าการคูดติดผิวโลหะตะกั่วเนื่องจากค่าดัชนีโควาเลนซ์ของโลหะตะกั่วมีค่าสูงกว่าค่าดัชนีโควาเลนซ์ของโโค-แคท ไออ่อนตัวอื่น ๆ และ ค่าดัชนีโควาเลนซ์ของโลหะสังกะสีมีค่าต่ำกว่าค่าดัชนีโควาเลนซ์ของโโค-แคท ไออ่อนตัวอื่น ๆ ดังนั้นจึงทำให้โโค-แคท ไออ่อนสามารถขับยั่งการคูดติดผิวโลหะสังกะสีได้มากกว่าการคูดติดผิวโลหะตะกั่ว และยังพบอีกว่าในระบบหลายองค์ประกอบ ลำดับของปริมาณโลหะที่ถูกคูดติดผิวที่ได้จากการทดลองจะมีค่าคงกันกับลำดับของปริมาณโลหะที่ถูกคูดติดผิวที่ได้จากการคำนวนโดยใช้ แลงมาร์ว์-ไอโซเทอมของระบบหนึ่งองค์ประกอบ (Single System) ทั้งที่ใช้ *Streptoverticillium cinnamomeum* ($Pb^{2+} > Zn^{2+} = Cu^{2+} > Cd^{2+} > Ni^{2+} > Co^{2+}$) และ *Penicillium chrysogenum* ($Pb^{2+} > Cu^{2+} > Zn^{2+} > Cd^{2+} > Ni^{2+} > Co^{2+}$)

1.3.5 ดินและสัดจ์เออสเป็นสารคูดติดผิว

ธิตารัตน์ บุญครี 2543 ทำการศึกษาผลของการนำดินมาเป็นสารคูดติดผิวเพื่อลดสีจิงในน้ำชะลากายบะ โดยนำดิน 3 ชนิดมาทำการทดลอง ได้แก่ ดินร่วน ดินเหนียวร่วน และทรายเปลี่ยปนดินเหนียว (SC) จากการทดลองแบบกະพนว่าไม่สามารถอธิบายกลไกของการคูดติดผิวของดินด้วยแบบจำลองของแลงมาร์, ฟรุนเดลิช และ เบท ได้ดังนั้นจึงทำการหา ไอโซเทอมการคูดติดผิวของดินจากการทดลองพบว่าการคูดติดผิวของดินเป็นไอโซเทอมแบบเอส ความสามารถในการคูดติดผิวต่อปริมาณดินสูงสุดของดินร่วน, ดินเหนียวร่วน และทรายเปลี่ยปนดินเหนียวเท่ากับ 9.03-35.0, 11.6-193 และ 16.2-196 หน่วยสีพลاتินัม-โคนอลต์/กรัม ตามลำดับ จะเห็นได้ว่าทรายเปลี่ยปนดินเหนียวที่น้ำหนึ่นมีความสามารถคูดติดผิวสูงสุด แต่ทรายเปลี่ยปนดินเหนียวที่น้ำหนึ่นมีความสามารถในการซึมผ่านของน้ำต่ำ ซึ่งไม่เหมาะสมสำหรับการทดลองแบบต่อเนื่อง จึงได้ทำการเพิ่มค่าการซึมผ่านของน้ำด้วยการเติมทรายหิน (S) ร้อยละ 0, 20, 30 และ 40 ผสมในทรายเปลี่ยปนดินเหนียวก่อนบรรจุลงในคอลัมน์ SC , 80SC:20S, 70SC:30S และ 60SC:40S พบว่าความสามารถในการรับอัตราการทาง化ศาสตร์ของคอลัมน์ดินเพิ่มขึ้นจาก 3.78 ลบ.ซม./ตร.ซม.-วัน ในคอลัมน์ SC, 80SC:20S, 70SC:30S และ 60SC:40S มีค่าเท่ากับ 52.82, 51.72, 58.12 และ 66.24 มิลลิกรัมพลาตินัม-โคนอลต์/มก. ตามลำดับ และลำดับ และซีโอดีที่ลดลงต่อปริมาณอินทรีย์ต่ำในดินของคอลัมน์ SC, 80SC:20S, 70SC:30S และ 60SC:40S มีค่าเท่ากับ 14.79, 16.78, 22.60 และ 22.62 มก.ซีโอดี/มก. ทั้งนี้แสดงให้เห็นว่าการเพิ่มทรายหินทำให้น้ำชะลากายสามารถซัมผัสกับอนุภาคดินทั่วถึงกว่า จึงสามารถใช้ประโยชน์จากดินเพิ่มขึ้น จากการทดลองที่เวลาดำเนินการ 26 วัน พบร่วดินเป็นสารคูดติดผิวที่มีประสิทธิภาพสูงในการลด สีจิง ลดสารอินทรีย์ สารประกอบในโตรเจน และสารประกอบฟอสฟอรัส คือสามารถลดซีโอดีร้อยละ 93-95 ลดสารอินทรีย์ได้มากกว่าร้อยละ 60 ลดสารประกอบในโตรเจนมากกว่าร้อยละ 92 และลด

การประกอบฟอสฟอรัสไดร์อยล์ 88-92 ในกระบวนการน้ำดักด้วยชั้นดินจะมีกระบวนการคุณติดผิวประจุและการกรองเป็นกลไกหลักสำหรับกระบวนการทางชีวภาพน้ำเงินเกิดขึ้นเพียง เล็กน้อย

ชาชัย แพงไทย 2543 ทำการศึกษาการปนเปื้อนของสารมลพิษจากน้ำระบบน้ำในต่อเนื่อง ฟอสฟอรัส และโลหะหนัก ได้แก่ ตะกั่ว โครเมียม และแคนเดียม ที่เกิดขึ้นเมื่อสารมลพิษเหล่านี้ถูกจะระบายเคลื่อนที่ผ่านดินชั้นบนและดินชั้นล่างซึ่งมีลักษณะเป็นดินเหนียว โดยทำการทดลองแบบ undisturbed column จากนั้นทำการวิเคราะห์หาปริมาณของการปนเปื้อนของสารมลพิษในน้ำระบบน้ำฟอยก่อนและหลังการผ่านคอลัมน์ดิน และทำการทดลองแบบเพื่อศึกษาการดูดซับโลหะหนักในดินทั้ง 2 ชั้น ผลการศึกษาพบว่าดินทั้งสองชั้นมีความสามารถในการกำจัดสารอินทรีย์ในรูปของ COD และ COD จากน้ำระบบน้ำฟอยได้เกินกว่า 97% โดยการสะสมในดินที่ระดับ 0-10 ซม. เนื่องจากกระบวนการกรอง การปนเปื้อนในรูปของในต่อเนื่อง พิจารณาจาก NH_4^+ -N และ NO_3^- -N พบว่าดินทั้ง 2 ชั้นสามารถกำจัด NH_4^+ -N ได้มากกว่า 98% โดยมีการสะสมในชั้นดินที่ความลึก 0-20 ซม. ส่วน NO_3^- -N นั้น พบว่าปริมาณในน้ำระบายน้ำจะลดลงมากกว่าปริมาณที่เติมลงไปในคอลัมน์ดิน ส่วนในการพิจารณาความคงพบร่วมกันพบว่าปริมาณในน้ำระบบน้ำฟอยมีค่าน้อยกว่า ที่พบในดินมาก จึงไม่สามารถเห็นความแตกต่างของการสะสมในดินที่เพิ่มขึ้น ได้อีกชั้น เนื่องจากการทดลองแบบบวกกัน ความสามารถในการดูดซับโลหะหนักของดินทั้งสองชั้น แบบแยกหากาที่จะตัว เรียงลำดับจากมากไปน้อยคือ $\text{Cr} > \text{Pb} > \text{Cd}$ ส่วนในการทดลองหาความสามารถในการดูดซับสารละลายโลหะหนักแบบผสมน้ำ เรียงลำดับจากมากไปน้อยคือ $\text{Cr} > \text{Cd} > \text{Pb}$

คิโหรัตน์ ศรีเกย์เพ็ชร์ 2543 ทำการศึกษาความสามารถในการดูดซับสารละลายน้ำหนักชนิดต่างๆ ได้แก่ $\text{Pb}(\text{NO}_3)_2$, $\text{Zn}(\text{NO}_3)_2$, $\text{Cd}(\text{NO}_3)_2$ และ $\text{Cr}(\text{NO}_3)_3$ โดยใช้ตัวดูดซับ 5 ชนิด ได้แก่ แร่ดินเหนียว 2 คือ kaolinite และ bentonite ตัวอย่างดินเหนียว 3 แห่ง คือ ดินเหนียวจากอิฐเก้อซ้ายนาดาล จังหวัดลพบุรี (S1) ดินเหนียวจากอิฐเก้อ บางคล้า จังหวัดฉะเชิงเทรา (S2) และจากดินเหนียวจากเหมือง MRD-ECC จังหวัดลำปาง (S3) โดยดินเหนียว S1 และ S2 ประกอบไปด้วยแร่ดินเหนียว montmorillonite และ kanolinite แต่ต่างกันที่ pH โดยที่ S1 มีความเป็นกรด ($\text{pH } 7$) แต่ S2 มีจะมีความเป็นกรดรุนแรง ($\text{pH } 3.2$) ส่วนดินเหนียว S3 ประกอบด้วยแร่เห็นได้ muscovite และมีความเป็นกรด ($\text{pH } 5$) นอกจากนี้ได้ศึกษาอิทธิพลของอินทรียสารและเหล็กออกไซด์ในดินเหนียวต่อความสามารถในการดูดซับโลหะหนัก โดยทำการศึกษาด้วยวิธี batch experiment adsorption isotherm หากการศึกษาพบว่า เมื่อเพิ่ม pH ของสารละลายน้ำหนักจะทำให้ความสามารถในการดูดซับของตัวดูดซับชนิดต่างๆ เพิ่มขึ้น และความสามารถในการดูดซับโลหะหนักเรียงลำดับจากมากไปน้อยได้ดังนี้ bentonite > ดินเหนียว S1 > ดินเหนียว S3 > ดินเหนียว S2 > kaolinite ตามลำดับ ซึ่งตัวดูดซับส่วนมากสามารถดูดซับ $\text{Cr} > \text{Pb} > \text{Cd} > \text{Zn}$ ตามลำดับ และพบว่าอินทรียสารและสารประกอบเหล็กออกไซด์ในดินเหนียวส่วนใหญ่ช่วยเพิ่มการดูดซับโลหะหนัก

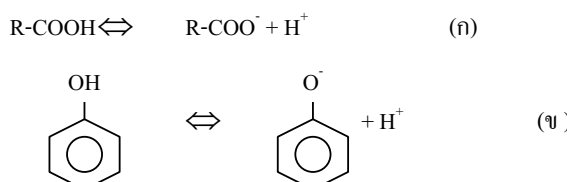
Wu และคณะ 1999 ได้ศึกษาการดูดซับทองแดง (Cu) ด้วยเดินเหนี่ยว โดยทำการแยกเดินเหนี่ยวตามขนาด ได้แก่ < 0.02 ไมครอน, 0.02-0.2 ไมครอน และ 0.2-2 ไมครอน จากนั้นนำเดินเหนี่ยวแต่ละขนาดแบ่งออกเป็น 3 ส่วน เท่าๆ กัน 2 ส่วนแรกทำจัดอินทรียสารตัววิชีโอลูเรนเปอร์ออกไซด์ จากนั้นนำเดินเหนี่ยว 1 ใน 2 ส่วนนี้ไปกำจัด องค์ประกอบเหล็กอิสระด้วยวิธี DCB treatment แล้วจึงทำการทดลองดูดซับ CuCl₂ ที่ความเข้มข้นต่างๆ กัน โดย

ควบคุม pH เท่ากับ 6.0 เป็นเวลา 24 ชั่วโมง ณ อุณหภูมิห้อง ($23 \pm 2^\circ\text{C}$) ผลการทดลองพบว่า ในดินเหนียวที่ไม่มีการกำจัดอินทรีย์สารและองค์ประกอบเหล็กอิสระ ดินเหนียวที่มีขนาดอนุภาค $0.2-2$ ไมครอนคุณค่าคงทong ได้สูงสุด และขนาด < 0.02 ไมครอนคุณค่าคงทong ได้ต่ำสุด แต่เมื่อมีการกำจัดอินทรีย์สารออกจากดินเหนียวพบว่า ดินเหนียวที่มีอนุภาค $0.2-2$ ไมครอนจะคุณค่าคงทong ได้ลดลง และคงว่าอินทรีย์สารในดินเหนียวมีความสำคัญในการคุณค่าคงทong เมื่อพิจารณาค่า CEC ของดินเหนียวหาบที่ลดลง 40 เปอร์เซ็นต์เมื่ออุกค์กำจัดอินทรีย์สาร และคงว่าอินทรีย์สารที่อยู่ในดินเหนียวมีส่วนสำคัญที่ทำให้ดินเหนียวมีประจุหรือค่า CEC สูง ดังนั้นการกำจัดอินทรีย์สารออกจากดินเหนียวจึงเป็นการลดความสามารถในการคุณค่าคงทong Cu^{2+} แต่การกำจัดอินทรีย์สารและองค์ประกอบเหล็กอิสระออกจากดินเหนียว พบว่าดินเหนียวมีความสามารถคุณค่าคงทongเพิ่มขึ้น และคงว่าการกำจัดเหล็กอิสระจะเป็นการเพิ่มที่ในการคุณค่าคงทongดินเหนียวทำให้ดินเหนียวสามารถคุณค่าคงทong ได้สูงขึ้น

Benyahya และ Garnier 1999 ได้ทำการศึกษาการคุณค่าคงทong โลหะหนัก 4 ชนิด ได้แก่ แคดเมียม (Cd^{2+}), สังกะสี (Zn^{2+}), โคบล็อก (Co^{2+}) และแมงกานีส (Mn^{2+}) ด้วยรดินเหนียว kaolinite พบร้าการคุณค่าคงทong แมงกานีส โคบล็อก สังกะสี และแคดเมียม มีการคุณค่าคงทong ในช่วง pH ที่แคน ($5-8$) คือที่ pH ต่ำกว่า 6 การคุณค่าคงทong จะเกิดขึ้นเพียงเล็กน้อย ถึงแม้ว่าจะมีหมู่ salinol (SiO_4) ที่มีประจุบ้านลบอยู่มาก ดังนั้นการคุณค่าคงทong ในช่วง pH นี้น่าจะถูกควบคุมด้วยการแลกเปลี่ยน ไอโอนบวก ส่วนที่ pH มากราว 6 การคุณค่าคงทong เพิ่มขึ้นตามหมู่ aluminol (AlOH) ที่มีประจุบ้านลบเพิ่มขึ้น ดังนั้นการคุณค่าคงทong สังกะสี แคดเมียม โคบล็อก และแมงกานีสด้วยรดินเหนียว kaolinite ในช่วง pH ที่มากกว่า 6 น่าจะถูกควบคุมด้วยการรวมตัวทางเคมีกับหมู่ aluminol

Lagadic และคณะ (2001) ศึกษาการคุณค่าคงทong โลหะหนักในดินเหนียว Phyllosilicate ที่มีการเติมสารอินทรีย์เพื่อปรับสภาพดินเป็น Magnesium Phyllosilicate Clay (Mg-MTMS) เพื่อนำมาใช้ในการคุณค่าคงทong โลหะ Pb^{2+} , Hg^{2+} และ Cd^{2+} ทั้งในสารละลาย single metal solution และ mixed metal solution พบร้าดิน Mg-MTMS จะสามารถคุณค่าคงทong โลหะหนัก Pb^{2+} , Hg^{2+} และ Cd^{2+} ใน single metal solution ได้เท่ากับ 365, 603 และ 210 mg/g, ตามลำดับ ส่วนใน mixed metal solution เมื่อผสมโลหะหนักทุกธาตุด้วยความเข้มข้นเดียวกัน พบร้า Mg-MTMS สามารถคุณค่าคงทong Cd^{2+} และ Pb^{2+} ได้เพิ่มขึ้นเป็น 380 และ 386 mg/g, ตามลำดับ ส่วน Hg^{2+} ถูกคุณค่าคงทong เป็น 394 mg/g ทั้งนี้เป็นเพราะหมู่ Thiol คุณค่าคงทong Hg^{2+} ด้วยกลไกการแลกเปลี่ยนประจุ ในขณะที่ Pb^{2+} และ Cd^{2+} ถูกคุณค่าคงทong ด้วย Chelating ทำให้มีการหาย (desorption) น้อย

Shuman 1998 ได้ใช้เหตุผลเอาไว้ว่า สำหรับการที่อินทรีย์ตกลงมีส่วนสำคัญในการคุณคิดผิวโลหะหนักหรือ ไอโอนบวนนี้เนื่องจากอินทรีย์ตกลงมีประจุบ้านลบเกิดขึ้นเมื่อแตกตัว ของสารประกอบบางกลุ่ม เช่น หมู่คาร์บอไฮเดรต (-COOH) และหมู่ฟีโนอร์ลิก ($\text{C}_6\text{H}_5\text{OH}$) การแตกตัวของทั้ง 2 หมู่ดังแสดงในสมการที่ ก และ ข



จากสมการ ก และ ข จะเห็นได้ว่าการแตกตัวดังกล่าวทำให้อินทรีย์ตัดออกมีประจุลบ ซึ่งจับกันไออกอนบวกหรือโอละหนักໄได้ ดังนั้นหากทำการปรับปรุงดินโดยการใช้สัลซ์เออเจสซึ่งมีสารอินทรีย์สูงจะเป็นการเพิ่มประสิทธิภาพในการคุณติดผิวโอละหนักให้กับดิน

ธีรวิทย์ ทับทอง 2541 ศึกษาการใช้วัสดุชีวนวลด 5 ชนิดมาคุณติดผิวโอละหนัก แคนเมียม , ทองแดง , ตะกั่ว , นิกเกล และสังกะสี ออกจากน้ำทึ้ง เพื่อเลือกวัสดุชีวนวลดที่มีความเหมาะสมที่สุดในการคุณติดผิวโอละหนักชนิดต่างๆ ซึ่งวัสดุชีวนวลดที่ใช้ทึ้ง 5 ชนิดได้แก่ สลัดเจ้อเจาจากกระบวนการบำบัดน้ำเสียของโรงงานผลิตน้ำดื่ม (โรงงาน N) และสลัดเจ้อเจาจากกระบวนการบำบัดน้ำเสียของโรงงานผลิตพชรส (โรงงาน A), กาหชีวนวลดเหลือทึ้งจากโรงงานผลิตอาหาร เช่น อีสต์ , *Aspergillus* และ *Streptomyces* โดยวัสดุชีวนวลดเหล่านี้จะถูกเตรียมโดยการนำมาล้างด้วยน้ำกัลลิ่น 2 ครั้ง ปรับพีเอชให้ได้ประมาณ 7 อบที่อุณหภูมิ 105°C และล้างบดและแยกขนาดอนุภาคให้มีขนาดต่ำกว่า 425 ไมโครเมตรด้วย Sieve No. 40 วัสดุชีวนวลดที่ได้ 1 กรัมจะถูกนำมาใช้ในการคุณติดผิวโอละหนักจากสารละลายน้ำมีต่อ 100 มิลลิลิตรที่มีโอละหนักผสมอยู่ที่ความเข้มข้น 25 , 50 , 100 และ 250 มิลลิกรัมต่อลิตรตามลำดับ จากนั้นจึงนำสารละลายน้ำที่มีวัสดุชีวนวลดผสมอยู่ไปเขย่าด้วยเครื่องเขย่า (Shaker) ที่ความเร็วรอบ 200 รอบ/นาที ตัวอย่างสารละลายน้ำที่ใช้ในปริมาณ 100 มิลลิลิตร ให้กับวัสดุชีวนวลดที่เวลา 0 , 2 , 5 , 10 และ 30 นาที จากนั้นจึงนำไปกรองและนำสารละลายน้ำที่ได้ไปวัดปริมาณโดยเครื่อง Atomic Absorption Spectrophotometer ผลการทดลองพบว่า สลัดเจ้อเจาจากโรงงาน N สามารถคุณติดผิวโอละหนัก แคนเมียม , ทองแดง , นิกเกล และสังกะสี ได้ในปริมาณสูงที่สุดเมื่อเทียบกับวัสดุชีวนวลดชนิดอื่น ๆ คือ 37 , 40 , 16 และ 21 มิลลิกรัมโอละต่อกกรัมวัสดุชีวนวลดตามลำดับ ส่วนสลัดเจ้อเจาจากโรงงาน A สามารถคุณติดผิวโอละหนักสังกะสีได้ในปริมาณสูงที่สุด เมื่อเทียบกับวัสดุชีวนวลดชนิดอื่น ๆ คือ 106 มิลลิกรัมโอละต่อกกรัมวัสดุชีวนวลด

Gourdon และ Rus 1990 ศึกษาการคุณติดผิวไออกอนโอละแคนเมียมด้วยการตากองเร่งมีชีวิตที่ตึงด้วยอัลจิเนทพบว่า สามารถคุณติดผิวไออกอนโอละแคนเมียมออกจากสารละลายน้ำที่ความเข้มข้น 25 และ 10 มิลลิกรัมต่อลิตรเหลือ 20 และ 7 มิลลิกรัมต่อลิตร

Sag และคณะ 2003 ศึกษาคุณสมบัติการคุณชับตะกั่วและทองแดง โดยใช้สลัดเจ้อเจส ที่ช่วงอายุต่างกัน คือ ช่วงเดือนโต ช่วงพัก และช่วงไม่มีชีวิต พบร่วงสัลซ์เจ้อเจสในช่วงพักนี้คุณสมบัติในการคุณชับที่ดีที่สุด และพบผลกระทบซึ่งกันและกันของตะกั่วและทองแดงทำให้การคุณชับลดลงทั้งคู่

Liu และ คณะ 2003 ใช้สัลซ์เจ้อเจสในรูปของเม็ดตะกอน (granule) ใน การคุณชับแคนเมียม ทองแดง และสังกะสี จากการทดลองได้ค่าความสามารถในการคุณชับ (biosorption capacity) ของแคนเมียม ทองแดง และสังกะสี ในองค์ประกอบเดียวเท่ากัน 172.7 mg g^{-1} 59.6 และ 164.5 mg g^{-1} ตามลำดับ ซึ่งพบว่าสัลซ์เจ้อเจสมีความสามารถในการคุณชับที่สูงเมื่อเปรียบเทียบกับชีวนวลดอื่น เช่น *C. vulgaris* คุณชับแคนเมียมได้ 85.3 mg g^{-1} (Aksu ,2001) รา (fungi) คุณชับสังกะสีได้ 14 mg g^{-1} (Zhou,1999) แม้เมื่ออยู่ในรูปของเม็ดตะกอนทำให้สามารถแยกออกจากน้ำทึ้งได้ง่าย

Aksu และคณะ 2002 ใช้สลัดจ์เออสที่ทำให้แห้งที่อุณหภูมิ 60°C เป็นเวลา 24 ชม. ในการคุดชับ โครเมี่ยม และนิกิลในลักษณะองค์ประกอบเดียว และสององค์ประกอบ และศึกษาผลของ pH ต่อการคุดชับ โดยใช้ pH 1 และ 4.5 ในองค์ประกอบเดียวกันของการคุดชับที่สมดุลอธินายได้ดีทั้งในสมการ Langmuir และ Fluendlich ค่าความสามารถในการคุดชับโครเมี่ยมตามสมการ Langmuir ของสลัดจ์เออสมีค่าลดลงเมื่อ pH สูงขึ้น คือจาก 294 mg g^{-1} ที่ pH 1 เป็น 95 mg g^{-1} ที่ pH 4.5 ในทางกลับกัน ความสามารถในการคุดชับแคนดี้มีค่ามากขึ้นตาม pH คือจาก 106 mg g^{-1} ที่ pH 1 เป็น 238 mg g^{-1} ที่ pH 4.5 และโดยแต่ละตัวมีผลกรอบซึ่งกันและกันทำให้การคุดชับลดลงทั้งสอง โลหะเมื่อออยู่ในระบบสององค์ประกอบ

Arican และคณะ 2002 ศึกษาการคุดชับนิกิล โดยสลัดจ์เออส จากปฏิกรณ์เออสที่ดำเนินการที่ใช้อัตราการเจือ จาง (dilution rate) ต่างกันคือ 0.09, 0.16 และ 0.24 hr^{-1} พบร่วมการคุดชับนิกิลเมื่อทั้งในลักษณะไม่คุดชับเข้าเซล (passive) และคุดชับเข้าเซล (active) โดยที่ส่วนใหญ่จะเป็นแบบ passive

จากรายงานของนักวิจัยหลายท่านพบว่า สลัดจ์เออสพากเบคที่เรีย ชีส์ สาหร่าย และสารอาหารคุดติดผิว โลหะหนักออกจากสารละลายน้ำได้ดีที่สุด แต่ต้องรีบเพิ่มและภายใต้แสงอาทิตย์ หลังสารอาหารกำจัด โลหะหนักจากสารละลายน้ำที่มีปริมาณความเข้มข้นของโลหะหนักในสารละลามีค่าน้อยมาก ดังนั้น การลดค่าใช้จ่ายในการกำจัด โลหะหนักจากสารละลายน้ำที่มีความเข้มข้นน้อย ๆ ได้ดีกว่าวิธีทางกายภาพและวิธีทางเคมีอื่น ๆ เช่น การคุดติดผิวโดยใช้คาร์บอน การแลกเปลี่ยนไอออน การจับกุม และการตอกตะกอนด้วยสารเคมี ซึ่งวิธีการเหล่านี้จะยุ่งยากต้องใช้เทคนิค และเสียค่าใช้จ่ายสูง เนื่องจากความเข้มข้นของโลหะหนักในน้ำที่มีน้อยมาก ดังนั้นการนำสลัดจ์เออสมาระมาใช้ในการบำบัดน้ำเสียที่มีโลหะหนักปนเปื้อนจึงเป็นวิธีการหนึ่งที่น่าทำ因为ศึกษาอย่างยิ่ง

1.4 การดำเนินการวิจัย

การดำเนินงานวิจัยแบ่งเป็น 5 ขั้นตอนดังนี้

1. การวิเคราะห์คุณสมบัติของสลัดจ์และดินที่ใช้ในการทดลอง
2. ผลของการทำแห้งสลัดจ์ (dried sludge) ที่มีต่อความสามารถในการคุดชับสารอินทรีย์
3. ศึกษาประโยชน์ของการคุดชับโลหะหนักของสลัดจ์และดิน
4. ศึกษาคุณสมบัติการซึมผ่านของน้ำ ของสลัดจ์และดินที่ถูกการบดอัดต่างๆ
5. ทดสอบการคุดชับโลหะหนัก และสารอินทรีย์ในน้ำชั่วขณะโดยลักษณะด้วยกลั่นคุดชับ

บทที่ 2

การวิเคราะห์คุณสมบัติของสัลต์และดินที่ใช้ในการทดลอง

2.1 แหล่งที่มาของดินและสัลต์

ก ดิน

เนื่องจากมีการศึกษาของกลุ่มวิจัย (ธิดารัตน์ 2543) ในหัวข้อการบำบัดน้ำเสียที่มีสีด้วยชั้นดิน ได้มีการนำดินมาจากแหล่งต่างๆ มาทำการทดสอบการบำบัดดีไซน์ที่มีคุณสมบัติในการดูดซับสีและซึ่งเป็นดินเหนียวปนทราย เป็นปืนดินที่มีคุณสมบัติในการดูดซับสีและซึ่งมีอีดีสูงสุด ดังนั้นในการศึกษานี้จึงคงเลือกชุดดินราชบูรีเพื่อศึกษาการดูดซับโลหะหนักและผลของการใช้สัลต์เพื่อสปริงสภาพในการบำบัดน้ำจะด้วยชั้น

จากรายงานการสำรวจความเหมาะสมของดิน จัดทำโดยกรมพัฒนาที่ดิน กล่าวถึงความเหมาะสมของชุดดิน ไว้ว่า คือหน่วยของการจำแนกดิน ซึ่งได้รับรวมดินซึ่งคล้ายคลึงกันในลักษณะที่ใช้ในการแบ่งแยก การจัดเรียงชั้น และวัตถุต้นกำเนิดของดินไว้ด้วยกัน ส่วนเนื้อดินบนอาจแตกต่างกันได้

จากข้อมูลการสำรวจ จะพัฒนาชุดราชบูรี (Ratchaburi Series) ในบริเวณที่รับน้ำท่วมลง มีสภาพเป็นพื้นที่รำบเริบ เป็นดินลึก การระบายน้ำค่อนข้างเลว มีความสามารถในการอุ้มน้ำสูง ดินมีความสามารถให้น้ำซึมผ่านไปได้ช้า ดินบนลึก 20-30 เซนติเมตร มีเนื้อดินเป็นดินร่วนปนเหนียว ดินเหนียวปนทราย เป็นหรือดินเหนียว สีพื้นเป็นสีเข้มของสีน้ำตาลปนเทา หรือสีเข้มมากของสีน้ำตาลปนเทา มีจุดประสีน้ำตาลแก่และน้ำตาลปนเหลือง ปูนกรดแก่ถึงกรดเล็กน้อย ค่าของความเป็นกรดเป็นด่างประมาณ 5.5-6.5 ดินชั้นล่างเป็นดินเหนียวหรือดินเหนียวปนทราย เป็น มีพื้นเป็นสีเข้มของสีน้ำตาลปนเทา สีน้ำตาลหรือสีน้ำตาลเข้ม มีจุดประสีน้ำตาลเข้มปนเหลือง ดินมีปูนกรดปานกลาง ค่าของความเป็นกรดเป็นด่างประมาณ 6.0-7.0 ในดินชั้นล่างนี้อาจพบจุดประสีแดงปนเหลืองเกิดขึ้นเล็กน้อย และมักจะพบก้อนเหล็กและแมงกานีสเล็กๆ ตลอดชั้นดินบนและดินชั้นล่าง

จากการสำรวจของดิน กรมพัฒนาที่ดิน กระทรวงเกษตรและสหกรณ์ (รายงานการสำรวจความเหมาะสมของดิน ฉบับที่ 507 รายงานการสำรวจดิน จังหวัดชัยนาท สิงห์บูรี อ่างทอง และพระนครศรีอยุธยา) ประกอบกับความสะดวกในการเข้าไปเก็บตัวอย่าง จึงได้เลือกพื้นที่สิงห์บูรี ซึ่งจากแผนที่แสดงอาณาเขตของดินแต่ละชุดประกอบ พนวณมีความเป็นไปได้สูงที่จะได้ตัวอย่างดินตามที่ต้องการ จากนั้นทำการเก็บตัวอย่างดินประมาณ 4-5 ที่ แล้วนำตัวอย่างดินที่ได้มาวิเคราะห์ โดยส่งตัวอย่างดินเพื่อทำการวิเคราะห์เนื้อดินที่ภาคปฐพีพิทยา คณะเกษตร มหาวิทยาลัยเกษตรศาสตร์ ผลการวิเคราะห์ตัวอย่างดินแสดงในตารางที่ 2.1

ชุดดินราชบูรีที่ใช้ในงานวิจัยเดิม (ธิดารัตน์ 2543) มีสัดส่วน silt และ clay เกือบเท่ากัน ดังนั้นดินที่เก็บจากแหล่งแรกเมื่อวันที่ 30/4/45 และแหล่งที่ 2 เมื่อวันที่ 15/5/45 จึงไม่เหมาะสม เพราะสัดส่วน silt ต่อ clay ต่างกันมาก ตัวแทนที่เก็บตัวอย่างครั้งแรกได้ 41 : 49 และตัวแทนที่ 2 ได้ 24 : 49 ส่วนตัวแทนที่ 3 และ 4 เป็นดินคนละตัวแทน แม่นจะอยู่ในหมู่บ้าน การซองเหมือนกัน ผลการวิเคราะห์ดินที่ตัวแทนที่ 4 พนวณมีสัดส่วน silt ต่อ clay ใกล้เคียงกับชุดดินเดิม และจากผลการทดลองเดิม ได้มีการเติมทรายลงในดินในการทดสอบในคอลัมน์ ผลการทดลองพบว่าช่วยในเรื่องการเพิ่มผิวสัมผัสทำให้ adsorption capacity ของเนื้อดิน

เดิมมีค่าสูงขึ้น โดยมีการเพิ่มทราย 30-40 เปลอร์เซ็นต์โดยน้ำหนัก เมื่อพิจารณาจากเหตุผลข้างต้นจึงทำการเก็บตัวอย่างที่ตำแหน่ง 4 เพื่อวิเคราะห์ข้อมูลที่ละเอียดขึ้น เพื่อใช้เป็นตัวแทนดินในการศึกษานี้

ตารางที่ 2.1 คุณสมบัติเนื้อดินจากแหล่งต่างๆ ในจังหวัดสิงห์บุรี

ตำแหน่ง	วันที่	สถานที่	Soil Texture			
			Sand (%)	Silt (%)	Clay (%)	Texture *
		จ. ราชบุรี (ธิดารัตน์)	10	42	48	Silty clay
1	30/4/45	บริเวณ บ้านนาพระนอน ต.ทับยา อ.อินทร์บุรี จ. สิงห์บุรี	40	41	19	L
2	15/5/45	บริเวณ บ้านหัวไฟใหม่ ต.ทับยา อ.อินทร์บุรี จ. สิงห์บุรี	27	24	49	C
3	15/5/45	บริเวณ บ้านการร้อง ต.ทับยา อ.อินทร์บุรี จ.สิงห์บุรี	51	34	15	L
4	15/5/45		35	34	31	CL
4	12/7/45		37	32	31	CL

* หมายเหตุ L คือ ดินร่วน

C คือ ดินเหนียว

CL คือ ดินเหนียวปานร่วน

ความลึกของชั้นดินที่เก็บประมาณ 50 เซนติเมตร

๔. สลัคจ์โอเอส

สลัคจ์โอเอสได้กำหนดไว้ว่าจะเป็นสลัคจ์จากการระบายน้ำเพื่อควบคุมปริมาณจุลินทรีย์ในกระบวนการการนำบัดแบบแอคติวเต็ตสลัคจ์ที่นำบัดน้ำเสียชุมชน ในการศึกษานี้นำสลัคจ์มาจากระบบนำบัดน้ำเสียชุมชนสี่พระยา

ก. น้ำชั่วระยะยะ

น้ำชั่วระยะยะที่นำมาใช้ในการทดลองเป็นน้ำชั่วระยะยะที่เก็บมาจากหลุมฝังกลบบันครปฐมตั้งอยู่ที่ ต. ตาก้อง อ. เมือง จ.นครปฐม ซึ่งเป็นระบบฝังกลบแบบ Sanitary Landfill โดยทำการเก็บน้ำชั่วระยะยะด้วย การข่วงตักจากกระบวนการรวมน้ำชั่วระยะยะก่อนเข้าระบบนำบัด และทำการเก็บตัวอย่างน้ำชั่วระยะยะเพียงครั้งเดียวเพื่อให้น้ำชั่วระยะยะที่จะนำไปใช้มีลักษณะสมบัติเดียวกันตลอดการทดลอง น้ำชั่วระยะยะที่เก็บจะบรรจุไว้ในถังพลาสติก และเก็บรักษาสภาพที่อุณหภูมิ 4 องศาเซลเซียส เพื่อยับยั้งการย่อยสลายทางชีวภาพ

2.2 การวิเคราะห์คุณสมบัติ

คุณสมบัติที่วิเคราะห์ของดินและสัลต์เจ้แสดงไว้ในตารางที่ 2.2 และของน้ำระบายน้ำและแสดงในตารางที่ 2.3
พร้อมทั้งวิธีที่ใช้วิเคราะห์

ตารางที่ 2.2 คุณสมบัติที่วิเคราะห์ของดินและสัลต์เจ้และวิธีวิเคราะห์

พารามิเตอร์	ดิน	สัลต์เจ้ เออส	วิธีการวิเคราะห์
ความเป็นกรด-ด่าง (pH)	✓	✓	pH meter (soil:water =1:2)
ปริมาณอินทรีชัตตุ (% organic matter)	✓	✓	Walkley &Black method
ปริมาณแคลเซียม เมกานเซียม	✓		X-ray diffraction
Cation Exchange Capacity (meq/100 g)	✓	✓	Sodium saturated method
Soil Texture	✓		Hydrometer method

หมายเหตุ อ้างอิงการวิเคราะห์ตาม “คุณสมบัติทางกายภาพและเคมีดินกับการวิเคราะห์ในห้องปฏิบัติการ” กอง
วิเคราะห์ดิน กรมพัฒนาที่ดิน 2540

ตารางที่ 2.3 คุณสมบัติที่วิเคราะห์ของน้ำระบายน้ำ

พารามิเตอร์	วิธีการวิเคราะห์
ความเป็นกรด-ด่าง (pH)	pH meter
ปริมาณโลหะหนัก (mg/l) - โลหะตะกั่ว - โลหะแคนเดียม - โลหะโพรมีียม - โลหะสังกะสี	Atomic Absorption Spectrophotometer Method
ค่าซีไอดี (mg/l) -ซีไอดีทั้งหมด -ซีไอดีกรอง	Closed Reflux , Titrimetric *Method

หมายเหตุ *วิธีวิเคราะห์ตาม APHA, AWWA, WPCF, 1995, Standard Method

for the examination of water and wastewater, 19th ed.

2.3 ผลการทดสอบและการวิเคราะห์ผล

ผลการทดสอบคุณสมบัติของดินและสัลต์เจ้แสดงไว้ในตารางที่ 4 และได้เปรียบเทียบกับผลงานวิจัยอื่นๆ ซึ่งจะพบว่า ดินที่ใช้ศึกษานี้มีค่า CEC ใกล้เคียงกับชุดดินราชบูรีในงานวิจัยของ ขิดารัตน์ (1) คือ 28 meq/100 g และ 26 meq/100 g ตามลำดับ ค่าความฉุนในการแลกเปลี่ยนประจุบวก (CEC) ของสัลต์เจ้นี้ค่าสูงเมื่อเทียบกับดินจากงานวิจัยอื่นที่แสดงในตารางที่ 5

ค่า CEC ดังกล่าวเป็นพารามิเตอร์ที่บ่งบอกความสามารถในการแลกเปลี่ยนประจุบวก ซึ่งถ้ามีค่าสูงจะมีคุณสมบัติในการขับไล่อะเหลนักได้สูง ซึ่งจากการทดลองการดูดซับไล่อะเหลนักด้วยดินจากแหล่งต่างๆของศิริรัตน์ 2543 พบว่าความสามารถในการดูดซับไล่อะเหลนักจะแตกต่างกันตามค่า CEC

สัดจ์เออเอสที่ใช้ในการทดลองนี้ก็จะมีค่าความชุกในการแลกเปลี่ยนประจุบวกสูงกว่าดินทั่วไป ข้างมีปริมาณอินทรีย์ต่ำสูงกว่าด้วย ซึ่งจากรายงานของนักวิจัยหลายท่าน (Artola และคณะ 2000 Aksu และคณะ 1999 Pagnanelli และคณะ 2001 Aksu และ Akpina 2001 Volesky และ May-Phillips 1995 Brady และ Tobin 1995 Paknikar และ Puranik 1999) พบว่าสารอินทรีย์ที่เป็นองค์ประกอบหลักของกลุ่มดินทรีย์ผสมในวัสดุชีวมวลจะสามารถดูดติดผิวไล่อะเหลนักออกจากสารละลายน้ำเก็บไว้ที่บริเวณผิวและภายในเซลล์ได้ ดังนั้นการทดสอบสัดจ์เออเอสกับดินจึงเป็นการเพิ่มปริมาณสารอินทรีย์ในดิน ซึ่งส่งผลทำให้คินผสมสัดจ์เออเอสมีประสิทธิภาพในการดูดติดผิวไล่อะเหลนักได้ดีขึ้น

ตารางที่ 2.4 ผลการวิเคราะห์คุณสมบัติของดินและสัดจ์เทียบกับงานวิจัยอื่น

คุณสมบัติ	งานวิจัยนี้		ธิดารัตน์ ศิริราชบุรี	ศิริรัตน์		
	สัดจ์เออเอส	ดิน สิงห์บุรี		ดิน ลพบุรี	ดิน ยะเขิง เทรา	ดิน ลำปาง
ความเป็นกรด-ด่าง (pH)	6.7	6.6	6.48	7.00	3.20	5.00
ปริมาณอินทรีย์ต่ำ (% organic matter)	29.7	0.3	3.81	0.95	1.79	1.95
ค่าความชุกในการ แลกเปลี่ยนประจุบวก (meq/100 g)	80.3	28.7	26.1	43.00	31.00	14.90
Soil Texture						
- sand (%)	-	37	10	19.60	7.60	8.60
- silt (%)	-	32	42	19.40	19.40	14.40
- clay (%)	-	31	48	61.00	73.00	77.00
Texture Class	-	Clay Loam	Silty Clay	Clay	Clay	Clay

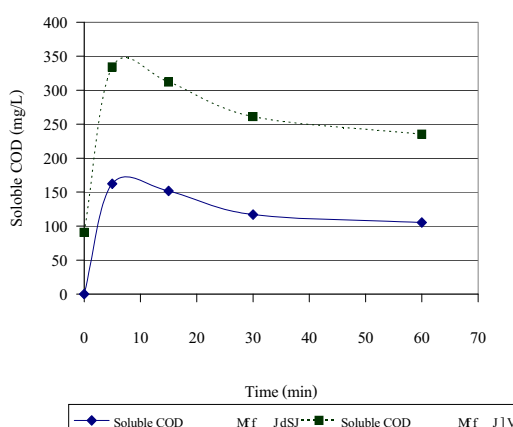
ตารางที่ 2.5 : ตารางแสดงคุณสมบัติต่าง ๆ ของตัวดูดซับ

Sample	pH	Organic Matter (%)	CEC (meq/100g)
1. Ash from fly ash and boiler slag [7]	ND	ND	230-530
2. Soil of Southern Spain [8]	5.9-7.6	0.48-2.53	2.8-32
3. Soil of Taiwan[9]	4.4-7.9	0.7-3.0	5.3-12.3
4. Soil of Kentucky, USA. [10]	4.39-6.93	0.4-5.0	2.8-32.9
5. Soil of Texas, USA. [11]	ND	ND	3.2-38.2
6. Soil of Nicaragua [12]	5.83-6.88	1.47-5.28	15.4-44.4
7. Soil of Germany [13]	6.3-6.4	ND	8-14.8
8. Soil of eastern France [14]	ND	0.86	7-65

ND : ไม่ได้ทำการวิเคราะห์

อย่างไรก็ได้การที่สลัดเจ้อเอกสารอินทรีย์อยู่สูง จะมีปริมาณสารอินทรีย์ที่ถูกชะออกสู่น้ำทะเลขยะ ได้สูงชั่นกันและการผสมดินซึ่งมีสารอินทรีย์น้อยกว่าและมีความสามารถในการดูดซับสารอินทรีย์ได้ ก็จะช่วยในการลดปริมาณสารอินทรีย์ออกสู่น้ำทะเลขยะรวมทั้งดูดซับสารอินทรีย์จากน้ำทะเลขยะซึ่งจะทำ การทดลองต่อไป

สำหรับผลของการชะลามยสารอินทรีย์ จากสลัดเจ้อเอกสารแสดงไว้ในรูปที่ 2.1 โดยการทดลองจะใส่สลัดเจ้อเอกสารในน้ำ deionize ซึ่งไม่มีสารอินทรีย์อยู่ และในน้ำทะเลขยะจะใช้ความเร็วอนในกรอง 250 รอบ ปริมาณสารอินทรีย์จะถูกชะออกมานในน้ำ deionize สูงในช่วง 10 นาทีแรก และลดลงเหลือประมาณ 100 มก./ล. ต่อวนในน้ำทะเลขยะที่จะเป็นต้นตอเดียวกัน ท่ามกลางเข้มข้นสุดท้ายในน้ำทะเลขยะที่รักเท่ากับ 220 มก/ล ปริมาณที่ลดลงอาจเนื่องจากการดูดซับกลับของสลัดเจ้อเอกสาร นอกจานี้ได้ทำการวิเคราะห์ค่า COD และโลหะศักยภาพในน้ำทะเลขยะ ได้ผลแสดงในตารางที่ 2.6



รูปที่ 2.1 ความเข้มข้นสารอินทรีย์ COD ทะเลน้ำ ♦ ในน้ำ deionize ■ ในน้ำทะเลขยะ
ขยะจากการชะออกจากสลัดเจ้อเอกสารต่อเวลา

ตารางที่ 2.6 : ตารางแสดงคุณสมบัติและวิธีการวิเคราะห์น้ำทะเลละลายน้ำที่ใช้ในการทดลอง

พารามิเตอร์	ค่าจากการวิเคราะห์
ค่าพีอีช	7.87
ปริมาณโลหะหนัก (mg/l)	
- โลหะตะกั่ว	0.0288
- โลหะแคลแมกนีเซียม	0.0098
- โลหะโพรเมกนีเซียม	0.0476
- โลหะสังกะสี	0.332
ค่าซีไอดี (mg/l)	
-ซีไอดีทั้งหมด	189
-ซีไอดีกรอง	90.72

บทที่ 3

ผลของการทำให้แห้งสัดดัจที่มีต่อความสามารถในการดูดซับสารอินทรีชีวิตรีซ์

3.1 วัสดุประสงค์

เพื่อศึกษาความสามารถในการย่อยสลายของสัดดัจเออเศลังผ่านการทำให้แห้ง ซึ่งหมายถึงความสามารถมีชีวิตหรือกิจกรรมของชุลินทรีชีวิตรีซ์ โดยเปรียบเทียบกับค่าคงที่ของปฏิกิริยาลงน้ำพลาสต์

3.2 การดำเนินการทดลอง

ตัวแปรในการทดลอง ได้แก่ อุณหภูมิในการทำให้แห้งและความชื้นที่เหลือ

การเตรียมน้ำเสียสังเคราะห์

เตรียมน้ำเสียสังเคราะห์ที่มีค่า COD เท่ากับ 1000 mg/l โดยมีส่วนผสมของน้ำเสียสังเคราะห์ดังตารางที่

3.1

ตารางที่ 3.1 ปริมาณส่วนผสมน้ำเสียสังเคราะห์

ส่วนประกอบ	ปริมาณ
Glucose	1000 mg/l (COD)
(NH ₄) ₂ SO ₄	472 mg/l
MgSO ₄ 7H ₂ O	100 mg/l
FeCl ₃ 6H ₂ O	0.5 mg/l
CaCl ₂	7.5 mg/l
KH ₂ PO ₄	73.26mg/l
K ₂ HPO ₄	280.65 mg/l

ขั้นตอนการทดลอง

1. เตรียมสัดดัจให้ได้ความชื้น 30 และ 50 เปอร์เซ็นต์ ในอุณหภูมิที่ใช้ 40 50 และ 60 องศาเซลเซียส โดยที่อุณหภูมิที่ 40 แทนการทำให้แห้งโดยการตากแห้งทั่วไป
2. เจือจางสารอาหารสังเคราะห์ที่เตรียมไว้ให้มีความเข้มข้นของ COD เท่ากับ 0 ,400, 600 , 800 และ 1000 mg/l ลงใน flask 5 ใบตามลำดับ
3. นำสัดดัจเออเศลังที่เตรียมในข้อ 1 ใส่ลงในสารอาหารในข้อ 2 โดยให้มีความเข้มข้นของชุลินทรีชีวิตรีซ์ในรูปของแข็งขนาดลอดอย 1000 mg/l
4. ทำการเปิดเครื่องเติมอากาศ และจับเวลาเริ่มต้นการทดลองทันที โดยทำการเก็บตัวอย่างน้ำที่เวลาต่างๆ กัน ได้แก่ 0 , 20 , 40 , 60 , 120 และ 180 นาที ตามลำดับ ซึ่งพารามิเตอร์ที่ทำการวิเคราะห์ได้แก่ MLSS และ Soluble COD

3.3 ผลการทดลองและการวิเคราะห์ผล

ในการหานองที่ทางจลศาสตร์นั้นสามารถทำได้หลายวิธีด้วยกัน ในการศึกษานี้จะใช้เทคนิค Initial Rate เทคนิค Initial Rate เป็นเทคนิคที่ใช้ข้อมูลในช่วงต้นของการทดลอง (ที่เวลาเริ่มต้น หรือที่ $t = 0$) ทึ้งนี้เนื่องจากในช่วงต้นของการทดลองจะมีการเจริญเติบโตของจุลินทรีย์ที่เปลี่ยนแปลงให้เห็นได้ค่อนข้างชัดเจน

สมการแสดงการเจริญเติบโตของจุลินทรีย์แสดงได้ดังนี้

$$\frac{dX}{dt} = \mu X \quad (1)$$

เมื่อ	X	คือ	ความเข้มข้นของเซลล์จุลินทรีย์
	t	คือ	เวลาใดๆ

ซึ่งค่า μ เป็นค่าที่บ่งบอกถึงความเข้มข้นสารอาหาร ซึ่งสมการที่ใช้แสดงความสัมพันธ์ดังกล่าวคือ Monod's equation ตั้งแสดงในสมการที่ (2)

$$\mu = \mu_m S / (K_s + S) \quad (2)$$

เมื่อจัดรูปสมการที่ (2) จะได้

$$1/\mu = (K_s + S) / (\mu_m S)$$

เมื่อใช้เทคนิค Initial Rate จะได้ว่า $S = S_0$

$$1/\mu = (K_s + S_0) / (\mu_m S_0)$$

$$1/\mu = \{(K_s / \mu_m)(1/S_0)\} + 1/\mu_m$$

ซึ่งค่า μ จะหาได้จากนิยามที่ว่า

$$\mu = (1/X) dX/dt$$

จะได้ว่า

$$q_m = q_m S / (K_s + S)$$

เมื่อใช้เทคนิค Initial Rate จะได้ว่า $S = S_0$

$$1/q = (K_s + S_0) / (q_m S_0)$$

$$1/q = \{(K_s / q_m)(1/S_0)\} + (1/q_m) \quad (3)$$

จากการทดลองที่ได้ทำการเพลิดทดสอบ Graf ระหว่างความเข้มข้นของเซลล์จุลินทรีย์ X (mg/l) กับเวลา t (hr) และความเข้มข้นของสารอาหาร S (mg/l) กับเวลา t

- หากความชันของกราฟความสัมพันธ์ระหว่างความเข้มข้นของเซลล์จุลินทรีย์กับเวลาคือ dX/dt จะได้

$t = 0$ และนำมารวบกับ $1/X_0$ ที่จะได้ค่า μ

- จากค่า μ ที่ได้ทำการหาความสัมพันธ์ระหว่าง $1/S_0$ กับ $1/\mu$ จะได้กราฟรูปเส้นตรง โดยค่า K_s / μ_m และ $1/\mu_m$ คือค่าความชัน (slope) และจุดตัดแกน Y (Y-intercept) ตามลำดับ

- หาความชันของกราฟความสัมพันธ์ระหว่างความเพิ่มขึ้นของสารอาหารกับเวลาคือ dS/dt ณ.จุด $t=0$ เล็กว่านำมาคูณกับ $1/X_0$ จะได้ค่า q
- จากค่า q ที่ได้ทำการหาความสัมพันธ์ระหว่าง $1/S_0$ กับ $1/q$ จะได้กราฟรูปเส้นตรงดังสมการที่ 3 โดยค่า (K_s/q_m) และ กีอค่า ความชัน(slope) และจุดตัดแกน(y-intercept)ตามลำดับ

จากการทดลองที่ได้พบว่าแนวโน้มค่า COD ที่ได้มี 2 ลักษณะคือ COD มีลักษณะเพิ่มขึ้นและลดลง จากรูปที่ 2 และ 3 จะเห็นว่าที่อุณหภูมิ 60°C 30% , 60°C 50% และ 50°C 30% กราฟที่ได้มีแนวโน้มของ COD เพิ่มขึ้น ทั้งนี้อาจเนื่องมาจากที่อุณหภูมิและความชื้นดังกล่าวชุมชนทรีไซม์มีความสามารถในการย่อยสลายสารอินทรีไซม์และในขณะเดียวกันชุมชนทรีไซม์ที่ด้วยยังกล้ายไปเป็นสารอาหาร ส่งผลให้ค่า Soluble COD ในน้ำเสียสังเคราะห์เพิ่มขึ้นอีกด้วย สำหรับ Activated Sludge ที่ผ่านการทำให้แห้งที่อุณหภูมิ 40°C 50% , 40°C 30% และ 50°C 50% ซึ่งแนวโน้มของกราฟที่ได้มีแนวโน้มลดลง แสดงถึงความสามารถในการย่อยสลายสารอินทรีไซม์ที่เกิดขึ้น จะเห็นได้ว่าการลดความชื้นของสัดส่วนด้วยอุณหภูมิที่สูงเกินไป(ในที่นี้คือ 60°C)และเวลาที่ใช้ในการลดความชื้นที่นานเกินไป จะมีผลต่อการเกิดกิจกรรมของชุมชนทรีไซม์ ด้วยสาเหตุดังกล่าวจึงไม่นำ สัดส่วนของสารที่สภาวะดังกล่าวมาพิจารณาในการหาค่าคงที่ทางเทคนิคศาสตร์

การทดลองที่กล่าวแล้วข้างต้นสามารถนำมาคำนวณหาค่าสัมประสิทธิ์ต่างๆที่เป็นคุณสมบัติเฉพาะตัวของชุมชนทรีไซม์ ที่สามารถเริ่มต้นกระบวนการย่อยสลายสารอาหารประเภทหนึ่งในที่นี้ได้แก่สารละลายน้ำตาล สำหรับความหมายของค่าต่างๆ ได้แก่

K_s คือค่าความเพิ่มขึ้นของ COD ที่ μ มีค่าเท่ากับ $\mu_m/2$ (mg/l)

q_m คืออัตราการใช้สารอาหารจำเพาะสูงสุด (gm COD/ gm MLSS/d)

จากการทดลองใช้สารอาหารที่มีความเพิ่มขึ้นเรื่นด้านแตกต่างกันพบว่าในน้ำเสียสังเคราะห์ที่มีความเพิ่มขึ้นของสารอาหารสูง ชุมชนทรีไซม์สามารถย่อยสลายสารอาหาร ได้ดีกว่าสารอาหารที่มีความเพิ่มขึ้นต่ำ โดยสามารถหาค่าพารามิเตอร์ต่าง ๆ ได้ดังตารางที่ 3.2

ตารางที่ 3.2 ค่าคงที่ของศาสตร์จากการทดลอง

สภาวะ	Parameter	ครั้งที่ 1	ครั้งที่ 2	เฉลี่ย
ความชื้น	$q_m (\text{ min}^{-1})$	5.8×10^{-3}	6.9×10^{-3}	6.3×10^{-3}
	$K_s (\text{mg/l})$	1510	1540	1525
40°C 50%	$q_m (\text{ min}^{-1})$	2.0×10^{-3}	2.0×10^{-3}	2.0×10^{-3}
	$K_s (\text{mg/l})$	390	274	332
40°C 30%	$q_m (\text{ min}^{-1})$	1.3×10^{-3}	1.4×10^{-3}	1.3×10^{-3}
	$K_s (\text{mg/l})$	608	525	567
50°C 50%	$q_m (\text{ min}^{-1})$	2.0×10^{-3}	1.8×10^{-3}	1.9×10^{-3}
	$K_s (\text{mg/l})$	577	498	537

ค่า R^2 เป็นค่าที่บ่งบอกว่าเป็นค่าที่แสดง Characteristic ของชุดข้อมูลนั้น ๆ ได้ดีมากน้อยเพียงใดและจาก การทดลองทั้งสองครั้งพบว่า R^2 ของชุดความชื้นให้ค่าใกล้เคียงกันคือประมาณ 0.98 ซึ่งอยู่ในช่วงที่ยอมรับได้โดย

ค่า R^2 เข้าใกล้ 1 ก็จะแสดงว่าเส้นแนวโน้มแสดงความสัมพันธ์ของชุดข้อมูลได้เป็นอย่างดี นั่นคือ ค่าความเบี่ยงเบนระหว่างเส้นแนวโน้มกับชุดข้อมูลเป็นสูนย์ และที่ชุดการทดลอง $40^\circ\text{C} 50\%$, $40^\circ\text{C} 30\%$ และ $50^\circ\text{C} 50\%$ ให้ค่า R^2 เท่ากับ 0.94 , 0.88 , 0.73 สำหรับชุดการทดลองที่ 1 และ 0.61 , 0.70 , 0.73 สำหรับชุดการทดลองที่ 2 ตามลำดับซึ่งจะเห็นว่าชุดการทดลองที่ 1 นี้น ค่า R^2 อยู่ในช่วงที่ยอมรับได้ แต่ในชุดการทดลองที่ 2 จะเห็นว่า ค่า R^2 ค่อนข้างต่ำ ซึ่งบ่งบอกว่าเส้นแนวโน้มและชุดข้อมูลไม่สัมพันธ์กันนัก แต่เมื่อนำไปหาค่า q_m แล้วพบว่า ที่การทดลองทั้งสองครั้งนี้ค่าไอลิคีียงกัน แต่สำหรับค่า K_s จะพบว่า ที่การทดลองทั้งสองครั้งจะให้ค่าแตกต่างกันเนื่องจากค่า K_s จะแสดงถึงการคุณภาพสารอาหาร แต่ทั้งนี้ก็มิได้แสดงถึงการเจริญเติบโตของจุลินทรีย์มากนัก ดังนั้น การทดลองครั้งนี้จึงพิจารณาการเกิดกิจกรรมของจุลินทรีย์จากค่า q_m เป็นหลัก เพื่อเป็นแนวทางในการศึกษาและประยุกต์ใช้ต่อไป q_m เป็นพารามิเตอร์ที่แสดงถึงอัตราการใช้สารอาหารของจุลินทรีย์ ซึ่งจากชุดควบคุมจะได้ค่า q_m เท่ากับ 6.3×10^{-3} ซึ่งเป็นค่าที่สูงที่สุด รองลงมาคือ ที่สภาวะ $40^\circ\text{C} 50\%$, $50^\circ\text{C} 50\%$, $40^\circ\text{C} 30\%$ ตามลำดับ ซึ่งจะเห็นว่า ที่สภาวะ $40^\circ\text{C} 50\%$ เป็นสภาวะที่จุลินทรีย์สามารถย่อยสลายสารอินทรีย์ได้ดีที่สุด แต่ก็ยังน้อยกว่าจุลินทรีย์ของชุดควบคุมที่ไม่ผ่านการลดความชื้นอยู่ถึงประมาณ 3 เท่า

นอกจากนี้ยังพบว่า เมื่อใช้อุณหภูมิในการทำให้แห้งเท่ากัน (40°C) เวลาที่ใช้ในการทำให้แห้ง และความชื้นที่เหลืออยู่จะเป็นตัวแปรที่ส่งผลต่อค่า q_m ซึ่งจากผลที่ได้พบว่า ที่ความชื้น 30 % เวลาในการทำให้แห้ง 13 ชั่วโมง 33 นาที จะให้ค่า q_m น้อยกว่า ที่ความชื้น 50% เวลาในการทำให้แห้ง 10 ชั่วโมง อยู่ประมาณ 1.5 เท่า ทั้งนี้ อาจเนื่องมาจากการที่ความชื้นดังกล่าวน้ำในเซลล์ของจุลินทรีย์ถูกดึงออกมากเกินไปทำให้ความสามารถในการย่อยสลายสารอินทรีย์ลดลง

และหากเปรียบเทียบในกรณีที่ปริมาณความชื้นที่เหลืออยู่เท่ากัน (50%) พบร่วมกับอุณหภูมิและเวลาที่ใช้ในการทำให้แห้ง จะเป็นตัวแปรที่ส่งผลต่อค่า q_m จากผลที่ได้พบว่า ที่อุณหภูมิ 50°C เวลาในการทำให้แห้ง 9 ชั่วโมง 10 นาที จะให้ค่า q_m น้อยกว่า ที่อุณหภูมิ 40°C เวลาในการทำให้แห้ง 10 ชั่วโมง แต่ก็น้อยกว่าเพียงเล็กน้อยเท่านั้น ทั้งนี้อาจเนื่องมาจากอุณหภูมิทั้งสองตัวกันเพียงเล็กน้อย อีกทั้งเวลาที่ใช้ในการทำให้แห้งก็ใกล้เคียงกันอีกด้วย

จากการพิจารณาข้างต้นจะเห็นว่าปริมาณความชื้นที่เหลืออยู่ของสัดดัจ เป็นสิ่งที่ส่งผลต่อการเกิดกิจกรรมการย่อยสลายสารอินทรีย์ของจุลินทรีย์มากกว่าอุณหภูมิในการทำให้แห้ง แต่ทั้งนี้ถ้าอุณหภูมิเพิ่มสูงมากขึ้น ก็จะส่งผลต่อการกิจกรรมของจุลินทรีย์ เช่น กัน ดังเช่น ชุดทดลองที่ 60°C ที่จุลินทรีย์ไม่มีกิจกรรมเกิดขึ้นเลย

บทที่ 4

ศึกษาถื้อใช้เพื่อการดูดซับโลหะหนักของสัลเดจ์และดิน

4.1 สารดูดซับและน้ำชาขยะ

4.1.1 สารดูดซับ

สารดูดซับได้แก่ดินและสัลเดจ์เออเอส ตามข้อมูลในบทที่ 2 ส่วน

สัลเดจ์ที่นำมาศึกษาแบ่งออกเป็น 2 กลุ่มคือ

1. สัลเดจ์ที่ยังไม่ปรับสภาพด้วย โพลิเมอร์ (AS) ซึ่งกลุ่มนี้จะมีการศึกษาผลของความชื้นในสัลเดจ์ต่อการดูดติดพิวโลหะ โดยการอบที่อุณหภูมิต่ำ 40 องศาเซลเซียล
2. สัลเดจ์ที่ปรับสภาพด้วยโพลิเมอร์ (ASP) และ ซึ่งเป็นสัลเดจ์ที่ปรับสภาพในโรงบำบัดน้ำทิ้งชุมชนสี่พระยา ตรวจสอบได้ 87 เปอร์เซนต์ความชื้น

คุณสมบัติต่าง ๆ ของสัลเดจ์เออเอสทั้ง 2 กลุ่มแสดงดังตารางที่ 4.1

ตารางที่ 4.1 : คุณสมบัติต่าง ๆ ของสัลเดจ์เออเอสที่ใช้ในการทดสอบ

พารามิเตอร์	AS ก่อนปรับสภาพด้วย โพลิเมอร์ (AS)		AS หลังปรับสภาพด้วย โพลิเมอร์ (ASP)
	AS30% ความชื้น	AS50% ความชื้น	
พีอีช	6.6	6.7	6.1
โลหะ (mg/g)			
- สังกะสี	0.2197	0.2416	0.2023
- โคโรเมียม	0.0215	0.0349	0.0357
- ตะกั่ว	0.0098	0.0176	0.0112
- แแคเมียม	0.0027	0.0014	0.0014
- อะลูมิเนียม	< 0.001	< 0.001	6.99
ปริมาณอินทรีสวัตตุ, OM (%)	28.45	29.66	25.44
Cation Exchange Capacity, CEC (meq/100g)	67.0	80.3	61.7

สัลเดจ์ทั้งสองกลุ่มมีคุณสมบัติใกล้เคียงกัน ยกเว้นค่าอะลูมิเนียม สัลเดจ์ที่ปรับสภาพด้วย โพลิเมอร์ หรือผ่านขั้นตอน การปรับสภาพ (conditioning) และการดึงน้ำออก (dewatering) จากโรงบำบัดน้ำเสียจะมีปริมาณ อะลูมิเนียมสูงกว่า ซึ่งเป็นผลมาจากการโพลิเมอร์ที่ใช้

4.1.2 น้ำชาขยะ

น้ำชาขยะน้ำชาขยะที่ใช้เป็นน้ำชาขยะจากหมู่บ้านของกลุบชนชาวไทยบานครนกรปฐม ซึ่งมีทั้งน้ำชาขยะที่มีเชื้อโรคต่อ (น้ำชาขยะที่เก็บมาช่วงเดือนกรกฎาคม) และน้ำชาขยะที่มีเชื้อโรคสูง (น้ำชาขยะที่เก็บมาช่วงเดือนพฤษภาคม) โดย

ทำการเก็บน้ำชาขยะด้วยการจ้วงตักจากระบบรวมน้ำชาขยะก่อนเข้าระบบบำบัด ทำการเก็บบรรจุน้ำชาขยะไว้ในถังพลาสติก และ เก็บรักษาสภาพที่อุณหภูมิ 4 องศาเซลเซียส เพื่อยับยั้งการย่อยสลายทางชีวภาพ พบว่า คุณสมบัติของน้ำชาขยะที่เปลี่ยนแปลงไปนั้นมีค่าน้อยมากเมื่อเทียบกับลักษณะของน้ำชาขยะนั้นๆ โดยตั้งทิ่งไว้ให้อุณหภูมิที่อุณหภูมิห้องก่อนจะนำน้ำชาขยะไปใช้ในการทดลอง

ตารางที่ 4.2 : คุณสมบัติต่างๆ ของน้ำชาขยะที่ใช้ในการทดลอง

พารามิเตอร์	น้ำชาขยะซีโอดีต่ำ (LCL)	น้ำชาขยะซีโอดีสูง (HCL)
พีเอช	7.87	8.04
ซีโอดีทึ้งหมวด, Total COD (มิลลิกรัมต่อลิตร)	189	3672
ซีโอดีกรอง, Soluble COD (มิลลิกรัมต่อลิตร)	91	2361
ของแข็งแขวนลอย, SS (มิลลิกรัมต่อลิตร)	67	88
ของแข็งระเหยง่าย, VSS (มิลลิกรัมต่อลิตร)	29	41
สภาพนำไฟฟ้า, Conductivity (ไมโครซีเมนต์ต่อเซนติเมตร)	1,100	19,000
*ปริมาณโลหะหนัก (มิลลิกรัมต่อลิตร)		
- สังกะสี	0.33	0.54
- โคโรเมียม	0.05	0.08
- ตะกั่ว	0.03	0.03
- แแคดเมียม	0.01	0.01
- เมกนีเซียม	11.10	108.07
- แคลเซียม	28.69	64.63
- เหล็ก	2.43	3.08
- โซเดียม	19.00	1113.47
- โพแทสเซียม	11.87	1123.17

* ส่งวิเคราะห์ที่ภาควิชาเคมี คณะวิทยาศาสตร์ มหาวิทยาลัยเทคโนโลยีพระจอมเกล้าธนบุรี

4.2 วิธีการทดลอง

4.2.1 ผลัดจีโอเอส

ในส่วนของผลัดจีโอเอส การทดลองแบ่งเป็น 4 ส่วนใหญ่ๆ คือ

- การหาเวลาที่จุดสมดุลของการดูดติดผิว
- การทดสอบคุณสมบัติของผลัดจีโอเอส
- การทดสอบไฮโซเดียมการดูดติดผิวโลหะหนักหนึ่งชาติด้วยผลัดจีโอเอส
- การทดสอบผลของสังกะสีไอออนและไนเตรฟไออกอนที่มีต่อการดูดติดผิวโลหะชาติอื่นในสารละลายน้ำโลหะหนักสองชาติ

4.2.1.1 การหาเวลาที่จุดสมดุลของการคุณติดผิว

ใช้สารคูดซับ น้ำหนักแห้ง 2, 4, 6 และ 8 กรัม นำมาศึกษาการคุณติดผิวโลหะ หนึ่งชัตุของตะกั่ว ในเตรท [Pb(NO₃)₂], แกลเดเมี่ยมในเตรท [Cd(NO₃)₂] , สังกะสีในเตรท [Zn(NO₃)₂] และ โพแทสเซียมไครโรมेट (K₂Cr₂O₇) ในน้ำประสาจากประจุ โดยใส่สัดส่วน AS30% ลงใน Erlenmeyer Flask ขนาด 250 มิลลิลิตรที่บรรจุสารละลายโลหะหนักแต่ละชนิดความเข้มข้น 5 มิลลิกรัมต่อลิตรปริมาตร 100 มิลลิลิตร จากนั้นจึงนำสารละลายไอออนโลหะหนักที่มีสัดส่วน AS30% ผสมอยู่ไปเทย่าด้วยเครื่องเบย่า (Shaker) ที่ความเร็วรอบ 250 รอบต่อนาที ควบคุมพื้นที่ เอซของสารละลายที่จุดสมดุลให้มีค่าประมาณ 6.5 จากนั้นทำการเก็บตัวอย่างสารละลายพร้อมสัดส่วน AS30% ที่เวลา 0, 5, 10, 15 และ 30 นาที แล้วนำไปกรองด้วยกระดาษ GF/C ปรับพื้นที่ เอซของสารละลายส่วนใหญ่ได้ให้มีค่าประมาณ 2.0 ด้วยกรด HNO₃ 65% และวัดปริมาณโลหะหนักที่เหลืออยู่ในสารละลายด้วยเครื่อง Atomic Absorption Spectrophotometer ยี่ห้อ Hitachi รุ่น Z9000 เพื่อหาเวลาที่จุดสมดุลของการคุณติดผิวโลหะแต่ละชนิด

4.2.1.2 การทดสอบคุณสมบัติของสัดส่วนเออส

การทดลองในส่วนนี้มีวัตถุประสงค์เพื่อเปรียบเทียบความสามารถในการคุณติดผิวสัดส่วนเออส ชนิดต่าง ๆ คือ สัดส่วนเออสก่อนปรับสภาพด้วยโพลิเมอร์ที่มีปรอร์เซ็นต์ความชื้น 30 และ 50% (AS30% และ AS50%) และสัดส่วนเออสหลังปรับสภาพด้วยโพลิเมอร์ (ASP) โดยการนำสัดส่วนเออสแต่ละชนิดน้ำหนักแห้ง 1, 2, 4, 6 และ 8 กรัม มาทดสอบการคุณติดผิวโลหะหนึ่งชัตุของ Pb(NO₃)₂ , Cd(NO₃)₂ , Zn(NO₃)₂ และ K₂Cr₂O₇ ในน้ำประสาจากประจุ โดยใส่สัดส่วนใน Erlenmeyer Flask ขนาด 250 มิลลิลิตรที่บรรจุสารละลายโลหะหนักแต่ละชนิดความเข้มข้น 5 มิลลิกรัมต่อลิตรปริมาตร 100 มิลลิลิตร จากนั้นจึงนำสารละลายไอออนโลหะหนักที่มีสัดส่วนผสมอยู่ไปเทย่าด้วยเครื่องเบย่า (Shaker) ที่ความเร็วรอบ 250 รอบต่อนาที ควบคุมพื้นที่ เอซของสารละลายที่จุดสมดุลให้มีค่าประมาณ 6.5 จากนั้นทำการเก็บตัวอย่างสารละลายพร้อมสัดส่วนที่ เวลา 30 นาที (เวลาที่จุดสมดุลของการคุณติดผิว) แล้วนำไปกรองด้วยกระดาษ GF/C ปรับพื้นที่ เอซของสารละลายส่วนใหญ่ได้ให้มีค่าประมาณ 2.0 ด้วยกรด HNO₃ 65% และวัดปริมาณโลหะหนักที่เหลืออยู่ในสารละลายด้วยเครื่อง Atomic Absorption Spectrophotometer เพื่อเปรียบเทียบ ความสามารถในการคุณติดผิวโลหะของสัดส่วนเออสทั้งก่อนและหลังปรับสภาพด้วยโพลิเมอร์ นอกเหนือนี้ยังทดสอบความสามารถในการคุณติดผิวของสัดส่วนเออสก่อนปรับสภาพด้วยโพลิเมอร์ ที่มีความชื้น 87 % (เท่ากับความชื้นของสัดส่วน เออสหลังปรับสภาพด้วยโพลิเมอร์) เพื่อศึกษา ผลของโพลิเมอร์ที่มีต่อการคุณติดผิวด้วย

4.2.1.3 การทดสอบโดยเทղอมการคุณติดผิวโลหะหนักหนึ่งชัตุด้วยสัดส่วนเออส

นำสารคูดซับน้ำหนักแห้ง 4 กรัมใส่ในน้ำประสาจากประจุ หรือน้ำชาจะะที่มีโลหะหนึ่งชัตุถ้าเป็น ตะกั่วจะอยู่ในรูป Pb(NO₃)₂ , แกลเดเมี่ยมในรูป Cd(NO₃)₂ , สังกะสีในรูป Zn(NO₃)₂ และ ไครโรมีย์ ในรูป K₂Cr₂O₇ ใน Erlenmeyer Flask ขนาด 250 มิลลิลิตรที่บรรจุสารละลายโลหะหนักความเข้มข้น 2, 5, 10, 20, 40, 60, 80 และ 100 มิลลิกรัมต่อลิตรสำหรับตะกั่วและสังกะสี ความเข้มข้น 1, 2, 5, 10 และ 20 มิลลิกรัมต่อลิตรสำหรับแกลเดเมี่ยมและไครโรมีย์ในน้ำ DI และน้ำชาจะะ

ปริมาตร 100 มิลลิลิตร จากนั้นจึงนำสารละลายไฮอนโลหะหนักที่มีสัดส่วนอยู่ในเบื้องต้น เครื่องเรียบ (Shaker) ที่ความเร็วรอบ 250 รอบต่อนาที ควบคุมพิอุ่นของสารละลายที่จุดสมดุลให้มีค่าประมาณ 6.5 สำหรับน้ำ DI และ 7.0 สำหรับน้ำชาจะยัง จากนั้นทำการเก็บตัวอย่างสารละลายพร้อมสัดส่วนที่เวลา 30 นาที แล้วนำไปกรองด้วยกระดาษ GF/C ปรับพิอุ่นของสารละลายส่วนใส่ที่ได้ให้มีค่าประมาณ 2.0 ด้วยกรด HNO_3 65% และวัดปริมาณโลหะหนักที่เหลืออยู่ในสารละลายด้วยเครื่อง Atomic Absorption Spectrophotometer นอกจากนี้ยังได้ทดสอบการดูดดิบิวโลหะทั้งสี่ชนิดในน้ำประปาจากประจุโดยไม่มีการควบคุมพิอุ่นเปรียบเทียบกันด้วย

4.2.1.4 การทดสอบผลของสังกะสีไฮอนและไนเตรฟไฮอนที่มีต่อการดูดดิบิวโลหะธาตุอื่นในสารละลายผสมโลหะหนักสองชาตุ

การทดสอบในส่วนนี้มีวัตถุประสงค์เพื่อทดสอบผลของ $\text{Zn}(\text{NO}_3)_2$ ที่มีต่อการดูดดิบิวของ $\text{Pb}(\text{NO}_3)_2$, $\text{Cd}(\text{NO}_3)_2$ และ $\text{K}_2\text{Cr}_2\text{O}_7$ ดังนี้จะแบ่งการทดลองเป็น 2 ส่วนคือ ผลของ Zn^{2+} ที่มีต่อการดูดดิบิวโลหะหนักอ่อนไหวแก่ Pb^{2+} และ Cd^{2+} และส่วนที่สองคือ ผลของ NO_3^- ที่มีต่อการดูดดิบิวโลหะหนักอ่อนไหวแก่ $\text{Cr}_2\text{O}_7^{2-}$

สัดส่วนที่ใช้ได้แก่สัดส่วน AS50% และ ASP น้ำหนักแห้ง 4 กรัมจะถูกนำมาดูดดิบิวโลหะผสมสองชาตุของ Zn กับ Pb และ Zn กับ Cd ในน้ำประปาจากประจุ และน้ำชาจะโดยไม่สัดส่วนลงใน Erlenmeyer Flask ขนาด 250 มิลลิลิตรที่บรรจุสารละลายโลหะหนักสองชาตุที่ความเข้มข้นเริ่มต้นต่าง ๆ ดังตารางที่ 4.2 และตารางที่ 4.3 ปริมาตร 100 มิลลิลิตร จากนั้นจึงนำสารละลายไฮอนโลหะหนักที่มีสัดส่วนอยู่ในเบื้องต้น เครื่องเรียบ (Shaker) ที่ความเร็วรอบ 250 รอบต่อนาที ควบคุมพิอุ่นของสารละลายที่จุดสมดุลให้มีค่าประมาณ 6.5 สำหรับน้ำ DI และ 7.0 สำหรับน้ำชาจะยัง จากนั้นทำการเก็บตัวอย่างสารละลายพร้อมสัดส่วนที่เวลา 30 นาที แล้วนำไปกรองด้วยกระดาษ GF/C ปรับพิอุ่นของสารละลายส่วนใส่ที่ได้ให้มีค่าประมาณ 2.0 ด้วยกรด HNO_3 65% และวัดปริมาณโลหะหนักที่เหลืออยู่ในสารละลายด้วยเครื่อง Atomic Absorption Spectrophotometer

ตารางที่ 4.2 ความเข้มข้นเริ่มสารละลายผสมสองชาตุระหว่าง Pb และ Zn ของการดูดดิบิวด้วยสัดส่วน AS ในน้ำประปาจากประจุและน้ำชา

$[\text{Zn}]_0 = [\text{Pb}]_0$		$[\text{Zn}]_0 = 2[\text{Pb}]_0$		$[\text{Zn}]_0 = 15[\text{Pb}]_0$	
ความเข้มข้น Pb (มก./ล.)	ความเข้มข้น Zn (มก./ล.)	ความเข้มข้น Pb (มก./ล.)	ความเข้มข้น Zn (มก./ล.)	ความเข้มข้น Pb (มก./ล.)	ความเข้มข้น Zn (มก./ล.)
1	1	1	2	1	15
2	2	2	4	2	30
5	5	5	10	2	30
10	10	10	20	3	45

ตารางที่ 4.3 ความเข้มข้นเริ่มสารละลายนมสมส่องชาตุระหว่าง Cd และ Zn ของการคุณติดผิวด้วยสลัดเจ้ออส ในน้ำประสาจากประจุและน้ำอะบะ

$[Zn]_0 = [Cd]_0$		$[Zn]_0 = 2[Cd]_0$	
ความเข้มข้น Cd (มก./ล.)	ความเข้มข้น Zn (มก./ล.)	ความเข้มข้น Cd (มก./ล.)	ความเข้มข้น Zn (มก./ล.)
1	1	1	2
2	2	2	4
5	5	5	10
10	10	10	20

ในส่วนของการทดสอบผลของ NO_3^- ที่มีต่อการคุณติดผิวโดยเมื่อมีอยู่ในรูปประจุลบ ($\text{Cr}_2\text{O}_7^{2-}$) โดยจะทำการทดลองเพื่อศึกษาว่าสลัดเจ้ออสจะมีความสามารถในการคุณติดผิว NO_3^- ได้หรือไม่ โดยทดลองวัดความเข้มข้นเริ่มต้นของ NO_3^- ในสารละลายนม $\text{Zn}(\text{NO}_3)_2$ ที่ความเข้มข้นโลหะสังกะสี 100 มิลลิกรัมต่อลิตรในน้ำประสาจากประจุ (ซึ่งเป็นความเข้มข้นสูงสุดของในเครื่องที่ใช้ในการทดลอง) จากนั้นนำสารละลายที่ได้ไปทดสอบโดยใช้เทคนิคคุณติดผิวด้วยสลัดเจ้ออสหลังปรับสภาพด้วยโพลิเมอร์ (ซึ่งจากการทดลองในหัวข้อการคุณติดผิวโลหะหนึ่งชาตุพบว่าสลัดเจ้ออสหลังปรับสภาพด้วยโพลิเมอร์มีประสิทธิภาพในการคุณติดผิวโลหะชนิดต่าง ๆ ได้ดีที่สุด) เปรียบเทียบปริมาณ NO_3^- ก่อนและหลังการคุณติดผิวเพื่อถูกความสามารถในการคุณติดผิว NO_3^- ของสลัดเจ้ออส

4.2.2 ดิน

การทดลองแบ่งเป็น 2 ส่วนใหญ่ ๆ คือ

- การหาเวลาที่จุดสมดุลของการคุณติดผิว
- การทดสอบโดยใช้เทคนิคคุณติดผิวโลหะหนักหนึ่ง

4.2.2.1 การหาเวลาที่จุดสมดุลของการคุณติดผิว

นำดินมาคุณติดผิวโลหะหนัก ในน้ำประสาจากประจุโดยใส่ดินน้ำหนักแห้ง 4 กรัม ลงใน Erlenmeyer Flask ขนาด 250-มิลลิตรที่บรรจุสารละลายนมหักสังกะสีในรูปสังกะสีในเครื่อง [$\text{Zn}(\text{NO}_3)_2$] ความเข้มข้น 10 มิลลิกรัมต่อลิตรปริมาตร 100 มิลลิลิตร นำสารละลายไอออนโลหะหนักที่มีคิน ผสมอยู่ไปเขย่าด้วยเครื่องเขย่า (Shaker) ที่ความเร็วรอบ 250-รอบต่อนาที ควบคุมพีเอชของสารละลายที่จุดสมดุลให้มีค่าประมาณ 6.5 ทำการเก็บตัวอย่างสารละลายพร้อมดินที่เวลา 0, 60, 120 และ 180 นาที และนำไปกรองด้วยกระดาษ GF/C วัดปริมาณโลหะหนักที่เหลืออยู่ในสารละลายน้ำด้วยเครื่อง Atomic Absorption Spectrophotometer และนำค่าที่ได้ไปพล็อตกราฟระหว่างระยะเวลาในการสัมผัสกับความเข้มข้นที่เหลือ เพื่อหาเวลาที่จุดสมดุล

4.2.2.2 การทดสอบโดยใช้เทคนิคคุณติดผิวโลหะหนึ่งชาตุ

นำดินน้ำหนักแห้ง 4 กรัมมาคุณติดผิวโลหะหนึ่งชาตุของ $\text{Pb}(\text{NO}_3)_2$, $\text{Cd}(\text{NO}_3)_2$, $\text{Zn}(\text{NO}_3)_2$ และ $\text{K}_2\text{Cr}_2\text{O}_7$ ในน้ำประสาจากประจุ โดยใส่คินลงใน Erlenmeyer Flask ขนาด 250 มิลลิตร

บรรจุด้วยสารละลายน้ำหนักที่มีความเข้มข้นต่าง ๆ ดังนี้ (ในแต่ละ Erlenmeyer Flask จะมีสารละลายน้ำหนักเพียง 1 ชนิด)

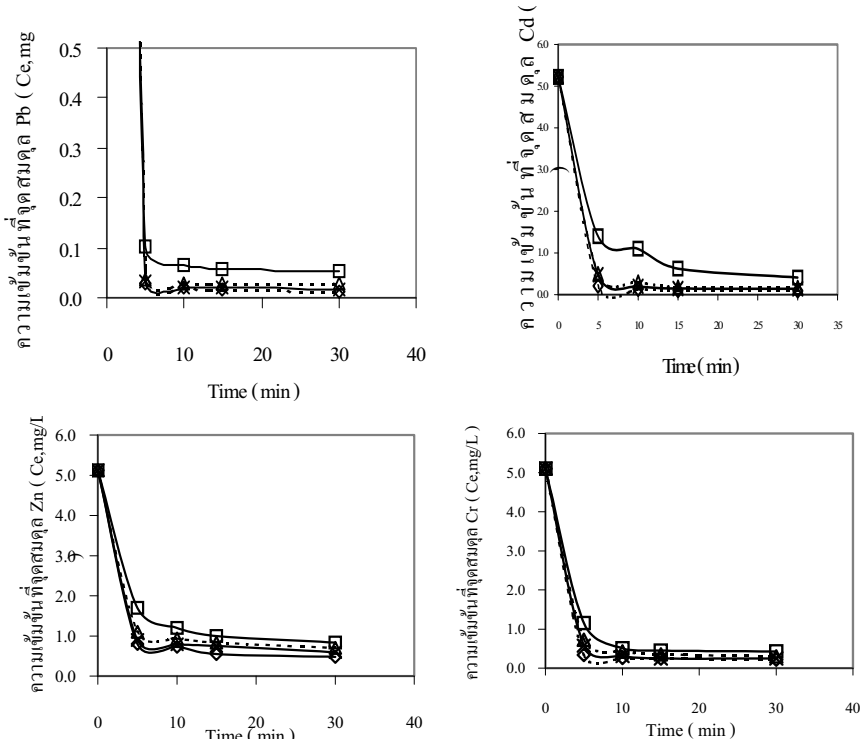
- สำหรับตะกั่วและสังกะสีใช้ความเข้มข้น 2, 5, 10, 20, 40, 60, 80 และ 100 มิลลิกรัมต่อลิตร ในน้ำ DI หรือน้ำชาขยะปริมاءตร 100 มิลลิลิตร

- สำหรับแคนเดเมียมและโกรเมียมใช้ความเข้มข้น 1, 2, 5, 10 และ 20 มิลลิกรัมต่อลิตรในน้ำ DI หรือน้ำชาขยะปริมاءตร 100 มิลลิลิตร

นำสารละลายน้ำหนักที่มีความเข้มข้น 1, 2, 5, 10 และ 20 มิลลิกรัมต่อลิตรในน้ำ DI หรือน้ำชาขยะปริมاءตร 100 มิลลิลิตร ผ่านเครื่องสั่น (Shaker) ที่ความเร็วรอบ 250 รอบต่อนาที เป็นเวลาท่ากับเวลาที่จุดสมดุลที่หาได้จากการทดลองที่ 3.2.1 โดยควบคุมพิเศษของสารละลายน้ำที่มีค่าประมาณ 6.5 หากพีเอชไม่ได้ 6.5 ให้ทำการปรับพีเอชไปที่ 6.5 แล้วนำไปเยื่อยักษ์ 15 นาที ทำการเก็บตัวอย่างสารละลายน้ำร้อนดินแล้วนำไปเทวีงด้วยเครื่อง Centrifuge เพื่อแยกดินออก วัดปริมาณโลหะหนักที่เหลืออยู่ในสารละลายน้ำด้วยเครื่อง Atomic Absorption Spectrophotometer แล้วนำค่าที่ได้ไปทำการวิเคราะห์หา โซไซเทอมการดูดติดผิวโลหะหนัก

4.3 ผลการทดลองสลัดเจ้ออส

4.3.1 การหาเวลาที่จุดสมดุลของการดูดติดผิว



รูปที่ 4.1 : เวลาสัมผัสสำหรับการดูดติดผิวโลหะด้วยสลัดเจ้ออส

(ก) โลหะตะกั่ว

(ข) โลหะแคนเดเมียม

(ค) โลหะสังกะสี

(ง) โลหะโกรเมียม

จากรูปที่ 4.1 พบว่าการคุณติดผิวจะถึงจุดสมดุลภายในเวลา 30 นาที โดยอัตราการคุณติดผิวจะเกิดขึ้นอย่างรวดเร็ว ในช่วงเริ่มต้น หลังจากนั้นจะค่อยๆ คงที่ภายในเวลา 30 นาที แสดงว่าอัตราการคุณติดผิวในช่วงต้นจะสูงกว่าอัตราการคายผิว เพราะ active site ที่สามารถคุณติดผิวได้อ่อนโลหะหนักบนพื้นผิวสัตด์เจ้ออสซึ่งมีอยู่มาก แต่เมื่อเวลาผ่านไป active site จะลดลง เพราะมีไออกอนของโลหะเข้าไปเกาะอยู่ จึงทำให้อัตราการคุณติดผิวน้อยลง สังเกตได้ จากความชันของกราฟจะลดลงเล็กน้อยจนกระทั่งถึงนาทีที่ 30 อัตราการคุณติดผิวจะเท่ากับอัตราการคายผิว ซึ่งหมายถึงจุดสมดุลของการคุณติดผิวโลหะหนักด้วยสัตด์เจ้ออสจะเกิดขึ้นอย่างรวดเร็วภายในเวลา 30 นาทีเท่านั้น ซึ่งก่อให้เกิดจุลินทรีย์ต่างๆ ที่อยู่ในสัตด์เจ้ออสที่นำมาใช้ในการทดลองนี้จะเป็นกุ่มจุลินทรีย์ที่ไม่มีชีวิตแล้ว เนื่องจากกลไกการคุณติดผิวเกิดขึ้นอย่างรวดเร็วภายในไม่กี่นาทีที่บีบิเวทพื้นผิวเซลล์ที่ได้ก่อตัวไว้แล้วข้างต้น นอกจากนี้ยังมีงานวิจัยอื่นๆ ที่ทำการศึกษาหาเวลาสามดุลของการคุณติดผิวโลหะต่างๆ ด้วยวัสดุชีวมวลอื่นๆ เช่น Artola และคณะ 2000 ทำการศึกษาการคุณติดผิว Cd, Cu, Ni และ Zn ทึ้งในสารละลายโลหะหนึ่งธาตุ (single metal) และสารละลายโลหะสองธาตุ (binary metal) ด้วย anaerobically digested sludge พบว่าการคุณติดผิวจะถึงจุดสมดุลภายในเวลา 30 นาที Puranik และ Paknikar,1999 ศึกษาการคุณติดผิวโลหะ Pb, Cu, Zn, Cd, Ni และ Co ทึ้งในสารละลายโลหะหนึ่งธาตุและสารละลายโลหะสองธาตุ ด้วย *S.cinnamoneum* และ *P.chrysogenum* พบว่าการคุณติดผิวจะถึงจุดสมดุลภายในเวลา 30 นาที เช่นกัน ดังนั้นในการทำการทดลองในส่วนต่อไป จะเลือกใช้เวลาสามดุลของการคุณติดผิวเท่ากับ 30 นาที

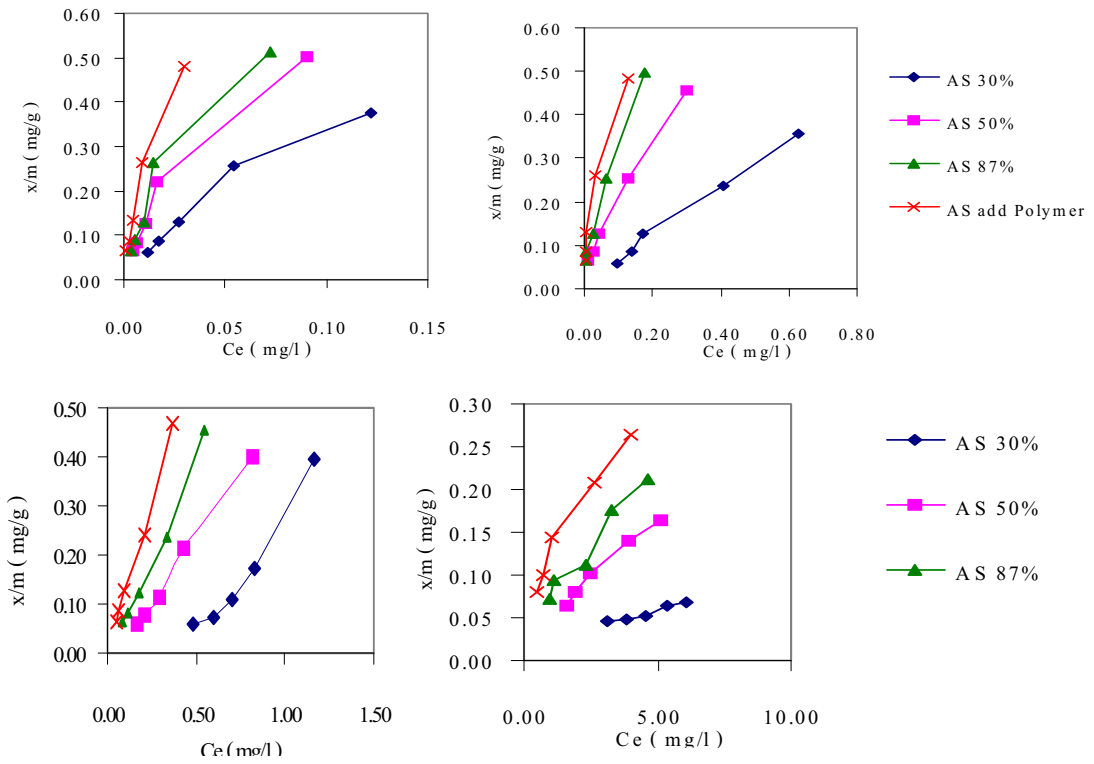
4.3.2 ผลของคุณสมบัติของสัตด์เจ้ออส

การคุณติดผิวโลหะหนักด้วยสัตด์เจ้ออสก่อนและหลังการปรับสภาพด้วยโพลีเมอร์แสดงในรูปที่ 4.2 ซึ่ง พบว่าสัตด์เจ้ออสที่มีความชื้นสูงกว่าจะมีความสามารถในการคุณติดโลหะหนักได้ดีกว่า และเมื่อพิจารณาคุณสมบัติของสัตด์เจ้ออสที่แสดงในตารางที่ 4.1 จะพบว่า ค่า CEC ของสัตด์เจ้ออส AS 50 % มีค่าสูงกว่า CEC ของสัตด์เจ้ออส AS30% เช่นกัน ซึ่งแสดงถึงความสามารถของการแยกเปลี่ยนประจุบวกของสัตด์เจ้ออส AS50% สูงกว่า AS30% อย่างไรก็ได้สัตด์เจ้ออสที่ใช้เป็นสารคุณตัดชนิดที่เป็นสารพสม โดยเฉพาะเมื่อมีการเติมสารช่วยรวมตะกอน ดังนี้แม่นว่า ค่า CEC ของ สัตด์เจ้ออส ASP(เติมโพลีเมอร์) จะต่ำกว่า AS50% แต่จากรูปที่ 2 สัตด์เจ้ออส ASP มีความสามารถในการคุณติดผิวโลหะทั้ง 4 ชนิด ได้ดีกว่า ทั้งนี้อาจเป็นมีเพื่อที่ส่วนของการคุณติดผิวทั้ง โนโลกุล ไม่ใช่เป็นการแยกเปลี่ยนประจุเพียงอย่างเดียว

4.3.3 ไอโซเทอมการคุณติดผิว

4.3.3.1 การทดสอบไอโซเทอมการคุณติดผิวโลหะหนักหนึ่งชนิด

เนื่องจากโลหะหนักสามารถตกตะกอนได้ดีในรูปของไฮดรอกไซด์ ในการศึกษาการคุณติดผิวจึงทำการทดลองที่ พีอีช 6-6.5 ซึ่งเป็น พีอีที่โลหะทุกตัวที่ศึกษาจะสามารถนำกาวความเข้มข้นเริ่มต้นสูงสุดที่ใช้ในการทดลอง ไอโซเทอมการคุณติดผิวเป็นการแสดงปริมาณของหัวกูลละลายที่ถูกคุณติดผิวต่อหน่วยของสารคุณติดผิว และมีความสัมพันธ์กับความเข้มข้นที่จุดสมดุลของการละลายที่อุณหภูมิกึ่งที่ ไอโซเทอมการคุณติดผิวสามารถใช้ในการอธิบายลักษณะของกระบวนการคุณติดผิวได้ ในการทดลองเลือกใช้ไอโซเทอมการคุณติดผิวตามรูปแบบของฟรุนคลิชสมการ 4.1



รูปที่ 4.2 : การดูดติดพิวโลหะหนักด้วยสลัดจ์เออสต่าง ๆ

(ก) โลหะตะกั่ว (ข) โลหะแคนเดเมียม

(ค) โลหะสังกะสี (ง) โลหะโกรเมียม

$$\frac{x}{m} = KC_e^{\frac{1}{n}} \quad 4.1$$

เมื่อ x/m = ปริมาณของตัวถูกละลายที่ถูกดูดติดพิวต่อหน่วยน้ำหนักของสารดูดติดพิว; มิลลิกรัม/กรัม

หรือ ไมล/กรัม

C_e = ความเข้มข้นของตัวถูกละลายในสารละลายที่จุดสมดุล; มิลลิกรัม/ลิตร หรือ ไมล/ลิตร

K = ค่าคงที่สัมพันธ์กับพลังงานของการดูดติดพิวของสารดูดติดพิว; ($\text{มิลลิกรัม}/\text{กรัม}$) $(\text{ลิตร}/\text{มิลลิกรัม})^{1/n}$

$1/n$ = ค่าคงที่สัมพันธ์กับพลังงานดูดติดพิว

เนื่องจากตัวดูดติดพิวที่ใช้ในการทดลองคือสลัดจ์เออส ซึ่งเป็นกลุ่มจุลินทรีย์สมที่มีความหลากหลาย ทำให้สลัดจ์เออสมีพื้นผิวที่มีลักษณะมีความแตกต่างของพื้นที่ผิว (surface heterogeneity) ซึ่งตัวดูดติดพิวที่มีพื้นผิวที่มีความแตกต่างนี้จะหมายความว่าการดูดติดพิวด้วยไอโซเทอมแบบฟรุนคลิช สำหรับสมการฟรุนคลิชจะเป็นกราฟความสัมพันธ์แบบลอการิทึม (logarithm) ระหว่างความเข้มข้นของโลหะที่เหลือในสารละลายที่สภาวะสมดุล

(C_c , mg/l) เป็นแกน x และปริมาณของโลหะที่ถูกดูดติดผิวต่อน้ำหนักของตัวดูดติดผิว (x/m , mg/g) เป็นแกน y ซึ่งจะทำให้ทราบค่าคงที่สัมพันธ์กับพลังงานของการดูดติดผิว , K และ Correction Factor , n จากสมการฟรุนเดลิชได้

4.3.3.1.1 นำปราศจากประจุ

ก สลัดจ์ AS50%

การทดสอบไอโซเทอมดูดติดผิวโลหะหนักหนึ่งครั้งด้วยสลัดจ์ເອເສก่อนปรับสภาพด้วยโพลิเมอร์ จะใช้สลัดจ์ก่อนปรับสภาพที่อ่อนกระหึ่มหรือมีความชื้นเหลืออยู่ 50% (AS50%) มาทดสอบการดูดติดผิวในน้ำปราศจากประจุและอธินายความสัมพันธ์ต่าง ๆ ด้วยไอโซเทอมการดูดติดผิวแบบฟรุนเดลิชและคำนวณหาค่าคงที่ K และ n จากสมการฟรุนเดลิชดังตารางที่ 4.2

ตารางที่ 4.2 : ค่าคงที่ไอโซเทอมแบบฟรุนเดลิชของการดูดติดผิวโลหะหนึ่งชนิดด้วยสลัดจ์ AS 50 % ใน DI

โลหะหนัก	pH	ค่าคงที่ไอโซเทอมการดูดติดผิวแบบฟรุนเดลิช		
		K (mg/g)	n (g/l)	R ²
Pb	6.5	3.33	1.94	0.95
Cd	6.27 – 6.58	0.90	1.26	0.95
Zn	6.5	0.49	3.39	0.98
Cr	6.75 – 7.12	0.06	1.52	0.95

เมื่อพิจารณาค่า K (Freundlich adsorption capacity) และ n (Freundlich intensity) จากตารางที่ 3 พบว่า สำหรับสลัดจ์ AS 50 % มีความสามารถในการดูดติดผิวโลหะตะกั่วได้สูงสุดรองลงมาคือ แคนเดเมี่ยน, สังกะสี และ โกรเมี่ยนตามลำดับ (K = 3.33, 0.90, 0.49 และ 0.06 mg-metal/g-sludge) ในน้ำปราศจากประจุ และเมื่อพิจารณาค่า n พบว่าการดูดติดผิวทั้งหมดมีค่า n มากกว่า 1 หมายความว่าพลังงานในการดูดติดผิวจะลดลงเมื่อเพิ่มที่ผิวถูกปอกคลุนด้วยไอออนของโลหะหนักมากขึ้น [Inskeep and Baham, 1983] นอกจากนี้แล้ว n ยังสามารถทำนายถึงลักษณะการดูดติดผิวเมื่อความเข้มข้นเปลี่ยนไป คือเมื่อ n มีค่ามากกว่า 1 หรือ Freundlich adsorption isotherm มีความชันน้อย แสดงว่าดูดติดผิวนั้น ๆ สามารถดูดติดผิวได้ดีที่ความเข้มข้นต่ำ ๆ ซึ่งจากการทดลองพบว่า ไอโซเทอมทั้งหมดมีค่า n มากกว่า 1 แสดงว่าสลัดจ์ເອເສมีความสามารถในการดูดติดผิวโลหะตะกั่ว, แคนเดเมี่ยน, สังกะสี และ โกรเมี่ยนในน้ำปราศจากประจุได้ดีเมื่อความเข้มข้นของสารละลายโลหะหนักมีค่าต่ำ

ภายใต้สภาวะของสารละลายที่ pH เอน้อยกว่า 7 Pb(NO₃)₂, Cd(NO₃)₂ และ Zn(NO₃)₂ จะอยู่ในรูปของไอออนอิสระคือ Pb²⁺, Cd²⁺ และ Zn²⁺ มากกว่าในรูปแบบอื่น ๆ เช่น MNO₃⁺, M(NO₃)⁰, M(NO₃)⁻ และ M(NO₃)²⁻ เมื่อ M แทนไอออนอิสระของโลหะแต่ละชนิด ส่วน K₂Cr₂O₇ ภายใต้สภาวะของสารละลายที่ pH เอน้อยกว่า 7 ไปไครเมตไอออน (HCrO₄⁻) จะเป็นรูปแบบของโกรเมี่ยนที่มีปริมาณมากที่สุด ดังนั้นการพิจารณาการดูดติดผิวโลหะหนักทั้งสี่ชนิดของสลัดจ์ເອເສจึงจำเป็นต้องแบ่งเป็น 2 กรณีคือ การดูดติดผิวโลหะหนักที่อยู่ในรูปของประจุบวก (Pb²⁺, Cd²⁺ และ Zn²⁺) และการดูดติดผิวโลหะหนักที่อยู่ในรูปของประจุลบ (HCrO₄⁻)

สลัดจ์ເອເສมีความสามารถในการดูดติดผิวได้ทั้งโลหะที่อยู่ในรูปของประจุบวกและประจุลบ ซึ่งอาจเป็นเพราะความหลากหลายของกลุ่มulinทรีบันสลัดจ์ເອເສ ทำให้พื้นผิวของสลัดจ์ເອເສมีลักษณะเป็นเนื้อผสม

(heterogeneous surface) จึงมีความสามารถในการดูดติดผิวได้ทั้งโลหะที่อยู่ในรูปของประจุบวกและประจุลบ และจากการเปรียบเทียบความสามารถในการดูดติดผิวโลหะหนักที่อยู่ในรูปประจุบวกแต่ละชนิดด้วยสัดส่วนของสารทั้งในน้ำปราศจากประจุและในน้ำซับขยายพบว่า ลำดับการดูดติดผิวสามารถเรียงลำดับได้ดังนี้ ตะกั่ว > แคนเดเมียม > สังกะสี Holan และ Volesky ,1994 อธิบายว่าความแตกต่างของการดูดติดผิวไอออนโลหะหนักเกิดจากหลายปัจจัยด้วยกัน เช่น การเลือกจับไอออนโลหะหนักของหมู่เคมีนั้นพนังเซลล์ ความแรงทางไฟฟ้าของไอออนโลหะหนัก เป็นต้น ยากที่จะทำนายลำดับการดูดติดผิวไอออนโลหะหนักได้อย่างถูกต้อง แต่ลำดับการดูดติดผิวไอออนโลหะหนักนี้ แนวโน้มมากขึ้นตามค่าเวลนซ์ (Valence) และเลขอะตอม ทั้งนี้โลหะที่มีค่าเวลนซ์มาก แสดงว่าจำนวนโปรตرونจะเหลือมากกว่าจำนวนอิเล็กตรอนมาก ส่วนเลขอะตอมมากจะจำนวนโปรตรอนภายในนิวเคลียสจะมากตามไปด้วย เป็นผลทำให้โลหะที่มีค่าเวลนซ์ และเลขอะตอมมากจะมีแรงทางไฟฟ้าที่จับกับประจุลบที่พนังเซลล์มากขึ้น ด้วย ส่วนงานวิจัยของ Tobin และคณะ, 1984 เสริมว่าความแตกต่างของการดูดติดผิวไอออนโลหะหนักจะมีความสัมพันธ์กับรัศมีไอออนของโลหะหนัก โดยไอออนโลหะที่มีขนาดใหญ่จะถูกดูดติดผิวได้แข็งแรงกว่าไอออนที่มีขนาดเล็ก ทำให้ปริมาณการดูดติดผิวไอออนโลหะหนักมีแนวโน้มเพิ่มขึ้นตามรัศมีไอออนที่เพิ่มขึ้นด้วย นอกจากนี้จากนี้ค่าอิเล็กโตรเนกติกวิตี ซึ่งเป็นค่าที่แสดงถึงความสามารถที่จะดึงอิเล็กตรอนเข้ามาในอะตอมนั้น ก็มีผลต่อการดูดติดผิวไอออนโลหะหนักด้วย โดยโลหะที่มีค่าอิเล็กโตรเนกติกวิตีต่ำ ทำให้ปริมาณการดูดติดผิวไอออนโลหะหนักนี้ แนวโน้มเพิ่มขึ้นตามค่าอิเล็กโตรเนกติกวิตีด้วย คุณสมบัติต่างๆ ของโลหะตะกั่ว แคนเดเมียม และสังกะสี แสดงไว้ในตารางที่ 4.3 และลำดับการดูดติดผิวโลหะที่ได้มีผู้ทำการทดลองแสดงไว้ในตารางที่ 4.4

ตารางที่ 4.3 : คุณสมบัติต่างๆ ของโลหะตะกั่ว แคนเดเมียม และสังกะสี

คุณสมบัติ	ชนิดของโลหะหนัก		
	Pb	Cd	Zn
ค่าเวลนซ์	2	2	2
เลขอะตอม	82	48	30
ค่าอิเล็กโตรเนกติกวิตี	2.33	1.69	1.65
รัศมีอะตอม (A)	1.19	0.95	0.74

หมายเหตุ ลักษณะสุข, 2539, ตารางธาตุและระบบพิริออดิค : เคมีทั่วไป เล่มที่ 1, พิมพ์ครั้งที่ 2
มหาวิทยาลัยเกษตรศาสตร์

ตารางที่ 4.4 : ลำดับการดูดติดผิวโลหะชนิดต่างๆ

ชนิดตัวดูดติดผิว	ลำดับการดูดติดผิว	Reference
Sewage Sludge and Paper Mill Waste	Pb > Cd > Cu > Zn	Lister และ Line 2001
<i>Rhizopus arrhizus</i> biomass	Pb > Cu > Cd > Zn > Mn > Sr	Brady และ Tobin 1995
<i>Phanerochaete chrysosporium</i> biomass	Pb > Cd > Cu	Say และคณะ 2001
Anaerobically digested sludge	Cu > Cd > Zn > Ni	Artola และคณะ 2000

ผลัดที่ซึ่งมีความสามารถในการดูดติดผิวโลหะหนักที่อยู่ในรูปประจุลบหั้งในน้ำปราศจากประจุและในน้ำระบายน้ำ คือสามารถดูดติดผิวโลหะ โครเมียมในน้ำปราศจากประจุและในน้ำระบายน้ำได้ในปริมาณ 0.056 และ 0.008 มิลลิกรัม โลหะ โครเมียมต่อกรัมผลัดเจ้ออสตามาน้ำดับบ ซึ่งถ้าเปรียบเทียบปริมาณ โลหะ โครเมียมที่ถูกดูดติดผิว กับ โลหะอื่นๆ ที่อยู่ในรูปประจุลบแล้วจะพบว่า ปริมาณ โลหะ โครเมียมที่ถูกดูดติดผิวถือว่าน้อยมากเมื่อเทียบกับโลหะตะกั่ว, แคลเซียมและ สังกะสี ที่ถูกดูดติดผิวด้วยผลัดเจ้ออส ทั้งนี้อาจเป็นเพราะสาเหตุของประจุลบพื้นผิวผลัดเจ้ออสที่พี เอชที่ใช้ในการทดสอบส่วนใหญ่จะมีประจุบวก (ตามเหตุผลที่ได้กล่าวไว้ในหัวข้อที่แล้ว) ดังนั้นที่พีเอชในการทดสอบนี้ ผลัดเจ้ออสจึงมีความสามารถในการดูดติดผิวโลหะที่อยู่ในรูปประจุลบได้มากกว่าโลหะที่อยู่ในรูปของประจุลบ นอกจากนี้ Aksu และ Akpinar (2001) ได้ทำการทดสอบความสามารถในการดูดติดผิวโลหะ โครเมียมด้วย ผลัดเจ้ออสที่พีเอชต่าง ๆ ตั้งแต่ 1 – 6 พบร้า ความสามารถในการดูดติดผิวโลหะ โครเมียมลดลงเมื่อพีเอชเพิ่มขึ้น ซึ่ง เป็น เพราะที่พีเอชมีค่าต่ำประจุลบพื้นผิวผลัดเจ้ออสส่วนใหญ่จะเป็นลบและเมื่อพีเอชสูงขึ้นประจุส่วนใหญ่จะเป็นบวก ทำให้ความสามารถในการดูดติดผิวโลหะ โครเมียมลดลงเมื่อพีเอชเพิ่มขึ้น เช่นเดียวกัน

๙. ผลัดเจ้ออส (ASP)

การทดสอบไออกไซเทอมดูดติดผิวโลหะหนักนั้นธำรงด้วยผลัดเจ้ออสหลังปรับสภาพด้วยโพลิเมอร์ (ASP) จะทดสอบการดูดติดผิวหั้งในน้ำปราศจากประจุ และอธิบายความสัมพันธ์ต่าง ๆ ด้วยไออกไซเทอมการดูดติดผิวแบบฟรุนคลิช

การทดสอบไออกไซเทอมดูดติดผิวโลหะหนักนั้นธำรงด้วยผลัดเจ้ออส ในการดูดติดผิว ASP ในน้ำปราศจากประจุ โดย ความคุณพีเอชของสารละลายที่จุดสมดุลการดูดติดผิวไว้ที่ 6 – 6.5 ในทุกการทดสอบ และศึกษาความสามารถในการดูดติดผิวของโลหะแต่ละชนิดด้วยค่าคงที่ที่ได้จากไออกไซเทอมตามรูปแบบของฟรุนคลิช ซึ่งค่าคงที่ K และ n จาก สมการฟรุนคลิช ดังตารางที่ 4.5

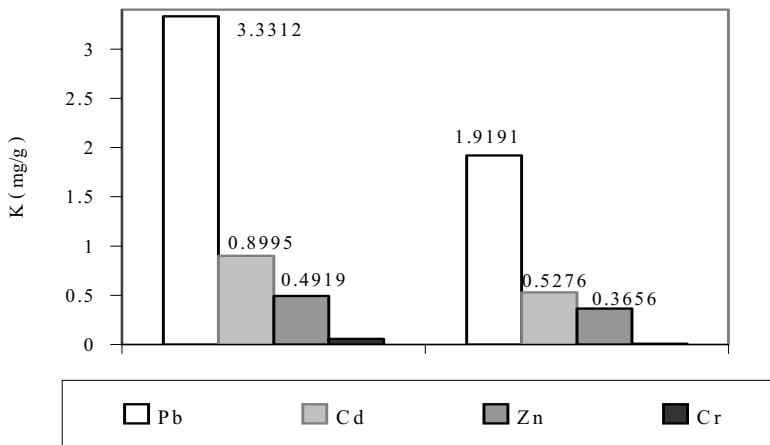
ตารางที่ 4.5 : ค่าคงที่ไออกไซเทอมแบบฟรุนคลิชของการดูดติดผิวโลหะหนักชนิดด้วยผลัดเจ้ออส ในน้ำปราศจากประจุ

โลหะหนัก	pH	ค่าคงที่ไออกไซเทอมการดูดติดผิวแบบฟรุนคลิช		
		K (mg/g)	n (g/l)	R ²
Pb	6.5	5.07	1.75	0.97
Zn	6.5	1.04	2.51	0.99

เมื่อพิจารณาค่า K และ n จากตารางที่ 4.5 พบร้าสำหรับผลัดเจ้ออส มีความสามารถในการดูดติดผิวโลหะตะกั่ว ($K = 5.07 \text{ mg-metal/g-sludge}$) ได้ดีกว่าสังกะสี ($K = 1.04 \text{ mg-metal/g-sludge}$) ในน้ำปราศจากประจุ และเมื่อเทียบปริมาณ โลหะที่ถูกดูดติดผิวด้วยผลัดเจ้ออส กับผลัดเจ้ออส 50% พบร้า ผลัดเจ้ออส มีความสามารถในการดูดติดผิวโลหะชนิดต่าง ๆ ได้ดีกว่าผลัดเจ้ออส 50% และเมื่อพิจารณาค่า n พบร้าการดูดติดผิวหั้งหนาดีกว่า n มากกว่า 1 ซึ่งหมายความว่า ผลัดเจ้ออสหลังปรับสภาพด้วยโพลิเมอร์มีความสามารถในการดูดติดผิวโลหะตะกั่ว และสังกะสีในน้ำปราศจากประจุ ได้ดีเมื่อความเข้มข้นของสารละลายโลหะหนักมีค่าต่ำ เช่นเดียวกับผลัดเจ้ออสก่อนปรับสภาพด้วยโพลิเมอร์

4.3.3.1.2 น้ำระบายน้ำต่อการดูดติดผิวโลหะ

ก. สลัดจ์ AS50%



รูปที่ 4.3 : เปรียบเทียบการดูดติดผิวโลหะชนิดต่าง ๆ ด้วยสลัดจ์ AS 50% ในน้ำปราศจากปรับและน้ำชาของ LCL

การทดสอบไอโซเทอมดูดติดผิวโลหะหนักหนึ่งชาตุของตะกั่ว, แ砧เมียม, สังกะสี และโครเมียมด้วยสลัดจ์ AS50% ในน้ำชาของ LCL ซึ่งมี Soluble COD ได้เท่ากับ 91 mg/l การทดสอบหาค่า ไอโซเทอมควบคุมพื้อเชของสารละลายน้ำสมดุลการดูดติดผิวไว้ที่ 6.5 – 7.2 ในทุกการทดลอง วิเคราะห์ไอโซเทอมตามรูปแบบของฟรุนเดลิช และนำค่า K มาเปรียบเทียบดังรูปที่ 4.3

จากรูปที่ 4.3 เมื่อพิจารณาค่า K พบร่วมน้ำชาของ LCL สลัดจ์ AS50 % ยังคงดูดติดผิวโลหะตะกั่วได้สูงสุด รองลงมาคือ แ砧เมียม, สังกะสี และโครเมียมตามลำดับ ($K = 1.92, 0.53, 0.37$ และ $0.008 \text{ mg-metal/g-sludge}$) แต่ เมื่อเปรียบเทียบปริมาณโลหะที่ถูกดูดติดผิว พบร่วมน้ำชาของ LCL สลัดจ์ AS50% ดูดติดผิวโลหะหนักชนิดต่างๆ ได้น้อยลงเมื่อเทียบกับในน้ำปราศจากปรับ และน้ำชาของ LCL ซึ่งจะเห็นได้จากค่า dissolved solids, ds (825 mg/l) และปริมาณโลหะต่างๆ (ตารางที่ 4.6) ของน้ำชาของที่มีค่าสูง กว่าเมื่อเทียบกับในน้ำปราศจากปรับมากกว่า 1 ซึ่งหมายความว่าสลัดจ์อาจสมีความสามารถในการดูดติดผิวโลหะ ตะกั่ว, แ砧เมียม, สังกะสี และโครเมียมในน้ำชาของ LCL ได้ดี เมื่อความเข้มข้นของสารละลายน้ำหนักมีค่าต่ำ เช่นเดียวกับในน้ำปราศจากปรับ

ข. สลัดจ์ ASP

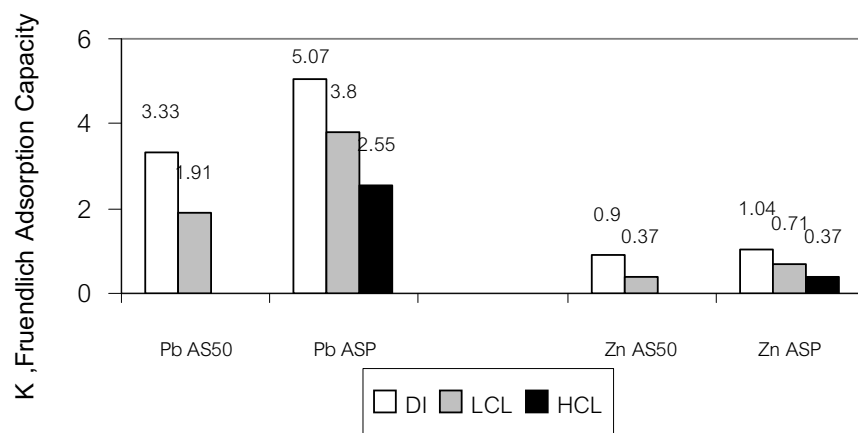
การทดสอบไอโซเทอมดูดติดผิวโลหะหนักหนึ่งชาตุของตะกั่วและสังกะสีด้วยสลัดจ์ ASP ทำการทดสอบทั้งน้ำชา LCL และน้ำชา HCl โดยควบคุมพื้อเชของสารละลายน้ำสมดุลการดูดติดผิวไว้ที่ 6.5 – 7.2 ในทุกการทดลอง

และศึกษาความสามารถในการดูดติดผิวของโลหะตะกั่ว (Pb) และสังกะสี (Zn) และคำนวณค่าคงที่ที่ได้จากไอโซเทอมตามรูปแบบของฟรุนเดลิช ซึ่งค่าคงที่ K และ n จากสมการฟรุนเดลิช ดังตารางที่ 4.7 เทียบกับค่า K และ n ของสลัดจ์ AS50% ในน้ำชา HCL

ตารางที่ 4.7 : ค่าคงที่ไอโซเทอมแบบฟรุนเดลิชของการดูดติดผิวโลหะหนี้ชนิดด้วยสลัดจ์ AS 50 %และ ASP ความชื้นในน้ำชาของ HCL และ HCL

โลหะหนัก	pH	ค่าคงที่ไอโซเทอมการดูดติดผิวแบบฟรุนเดลิช								
		AS 50%			ASP					
		LCL			LCL			HCL		
		K	n	R ²	K	n	R ²	K	n	R ²
Pb	7.2	1.91	1.56	0.99	3.80	1.86	0.97	2.55	1.75	0.94
Zn	7.2	0.37	2.75	0.99	0.71	2.84	0.99	0.37	2.34	0.92
Cd	6.75 – 7.15	0.53	1.42	0.94	-	-	-	-	-	-
Cr	7.26 – 7.59	0.008	1.49	0.93	-	-	-	-	-	-

เมื่อพิจารณาค่า K และ n จากตารางที่ 4.7 พบว่าในน้ำชาของ HCL สลัดจ์ ASP ยังคงดูดติดผิวโลหะตะกั่ว (K = 2.55 mg-metal/g-sludge) ได้ดีกว่าสังกะสี (K = 0.37 mg-metal/g-sludge) แต่เมื่อเปรียบเทียบปริมาณโลหะที่ถูกดูดติดผิวในน้ำชาของ HCL กับในน้ำชาของ LCL พบว่าสลัดจ์ ASP ดูดติดผิวโลหะทั้ง ตะกั่ว และ สังกะสี ได้น้อยลง ในน้ำชาของ HCL เนื่องมาจากผลของสารหรือไอออนอื่น ๆ ที่ละลายอยู่ในน้ำชาของ HCL ซึ่งจะเห็นได้จากการดึง dissolved solids ซึ่งเท่ากับ 14250 mg/l มีค่าสูงกว่ามากเมื่อเทียบกับในน้ำชาของ LCL ซึ่งมีค่าคงที่ K ของการดูดติดผิวโลหะตะกั่วและสังกะสีด้วยสลัดจ์ AS50% และ ASP ทั้งในน้ำปราศจากประจุ, ในน้ำชาของ LCL และในน้ำชาของ HCL มาเทียบราฟเปรียบเทียบจะได้ผลดังรูปที่ 4.4



รูปที่ 4.4 : เปรียบเทียบการดูดติดผิวโลหะตะกั่วและสังกะสี ด้วยสลัดจ์ AS 50% และ ASP ในน้ำปราศจากประจุและน้ำชาของ LCL และ HCL

4.3.4 การทดสอบผลของสังกะสีไอออนและไนเตรทไอออนที่มีต่อการคุณคิดผิวโลหะธาตุอื่นในสารละลายน้ำ

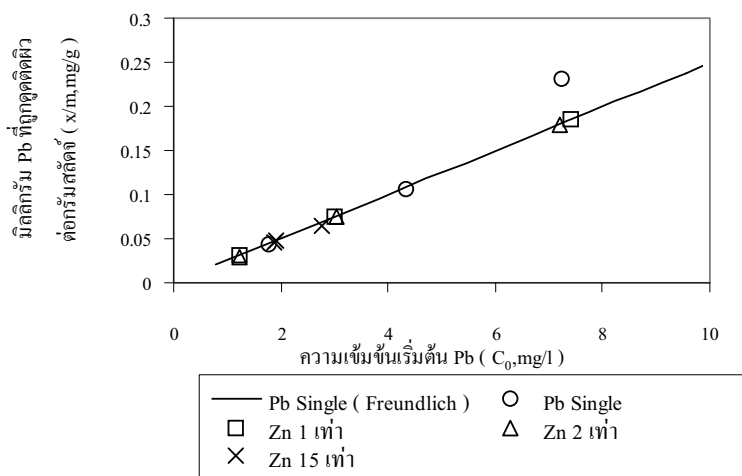
เนื่องจากในน้ำแข็งมีโลหะหนักหลายธาตุปะปนกัน ความเข้มข้นของโลหะหนักต่างชนิดกันย่อมส่งผลต่อการคุณคิดผิวด้วยสัดส่วนต่อเนื่อง แต่ในน้ำแข็งมักจะมีความเข้มข้นของสังกะสีสูงกว่าโลหะหนักอื่น ๆ มาก [18] ซึ่งส่งผลโดยตรงต่อการคุณคิดผิวโลหะหนักธาตุอื่น ๆ ทำให้การคุณคิดผิวลดลงเมื่อน้ำแข็งมีสังกะสีอยู่ในปริมาณมากในขณะที่ตะกั่ว, แคนเดียม และ โครเมียม มีความเป็นพิษสูงกว่าสังกะสี ดังนั้นในการทดลองจึงทำการทดสอบความแรงไอออนของโลหะสังกะสีที่มีผลต่อการคุณคิดผิว ตะกั่ว, แคนเดียม และ โครเมียม โดยการศึกษาการคุณคิดผิวในสารละลายน้ำ 2 ธาตุ (binary metal) ระหว่างโลหะสังกะสีกับโลหะตะกั่ว, แคนเดียม และ โครเมียม เพื่อประเมินการคุณคิดผิวในสารละลายน้ำที่มีโลหะหนักหลายธาตุปะปนกัน แต่นอกจากโลหะสังกะสีที่ใช้ในการทดลองอยู่ในรูปของสังกะสีไนเตรท, $Zn(NO_3)_2$ ซึ่งที่พิอชที่ใช้ในการทดลอง (น้อยกว่า 7) $Zn(NO_3)_2$ จะแตกตัวอยู่ในรูปของไอออนอิสระของสังกะสี (Zn^{2+}) และไนเตรท (NO_3^-) มากกว่าในรูปแบบอื่น ดังนั้นในการศึกษาผลของสารละลายน้ำสังกะสีไนเตรทที่มีต่อการคุณคิดผิวโลหะตัวอื่น ๆ จึงจำเป็นต้องแบ่งการทดลองออกเป็นสองกรณี คือ ผลของ Zn^{2+} ที่มีต่อการคุณคิดผิวไอออนประจุบวกด้วยกัน และผลของ NO_3^- ที่มีต่อการคุณคิดผิวไอออนประจุลบด้วยกัน

จากที่ได้กล่าวมาแล้วว่า ภายนอกสารละลายน้ำที่พิอชน้อยกว่า 7 $Pb(NO_3)_2$ และ $Cd(NO_3)_2$ จะอยู่ในรูปของไอออนอิสระคือ Pb^{2+} และ Cd^{2+} มากกว่าในรูปแบบอื่น ๆ ส่วน $K_2Cr_2O_7$ ภายนอกสารละลายน้ำที่มีพิอชน้อยกว่า 7 ในโกรเมต์ไอออน ($HCrO_4^-$) จะเป็นรูปแบบของโกรเมียมที่มีปริมาณมากที่สุด ดังนั้นจึงแบ่งการทดลองออกเป็นสองกรณี คือ ผลของ Zn^{2+} ที่มีต่อการคุณคิดผิวไอออนประจุบวกอันได้แก่ Pb^{2+} และ Cd^{2+} และส่วนที่สองคือ ผลของ NO_3^- ที่มีต่อการคุณคิดผิวไอออนประจุลบได้แก่ $HCrO_4^-$ จากการทดสอบเพื่อคุณคิดผิว NO_3^- ที่มีต่อการคุณคิดผิวโกรเมียมซึ่งอยู่ในรูป $HCrO_4^-$ ซึ่งทำการทดลองเพื่อศึกษาว่าสัดส่วนของสารละลายน้ำที่มีความสามารถในการคุณคิดผิว NO_3^- ได้หรือไม่ โดยทำการทดลองวัดความเข้มข้นเริ่มต้นของ NO_3^- ในสารละลายน้ำ $Zn(NO_3)_2$ ที่ความเข้มข้น 100 mg/l (ซึ่งเป็นความเข้มข้นสูงสุดของไนเตรทที่ใช้ในการทดลอง) จากนั้นนำสารละลายน้ำที่ได้ไปทดสอบโดยเทือนการคุณคิดผิวด้วยสัดส่วนของโลหะหลังปรับสภาพด้วยโพลิเมอร์ (ซึ่งจากการทดลองในหัวข้อการคุณคิดผิวโลหะหนักระดับพื้นฐาน พบว่า สัดส่วนของโลหะหลังปรับสภาพด้วยโพลิเมอร์มีประสิทธิภาพในการคุณคิดผิวโลหะชนิดต่าง ๆ ได้ดีที่สุด) ซึ่งภายนอกการคุณคิดผิวพบว่า ความเข้มข้นของ NO_3^- ที่เหลืออยู่ในสารละลายน้ำจากการคุณคิดผิวไม่ได้มีค่าลดลงเมื่อเทียบกับความเข้มข้นเริ่มต้นของ NO_3^- (มีค่าเพิ่มขึ้นเล็กน้อย) แสดงว่าสัดส่วนของโลหะไม่มีความสามารถในการคุณคิดผิว NO_3^- ซึ่งทำให้รู้ว่า NO_3^- ไม่ส่งผลต่อการคุณคิดผิวของโลหะโกรเมียมนั้นเอง ดังนั้นการทดลองในส่วนของการศึกษาความแรงของไอออนสังกะสีที่มีต่อการคุณคิดผิวโลหะตัวอื่น ๆ จึงจะทำการทดลองเฉพาะการทดสอบการคุณคิดผิวโลหะหนักในสารละลายน้ำ โลหะผสมของสังกะสีและตะกั่วกับสารละลายน้ำ โลหะผสมของสังกะสีและแคนเดียมเท่านั้น

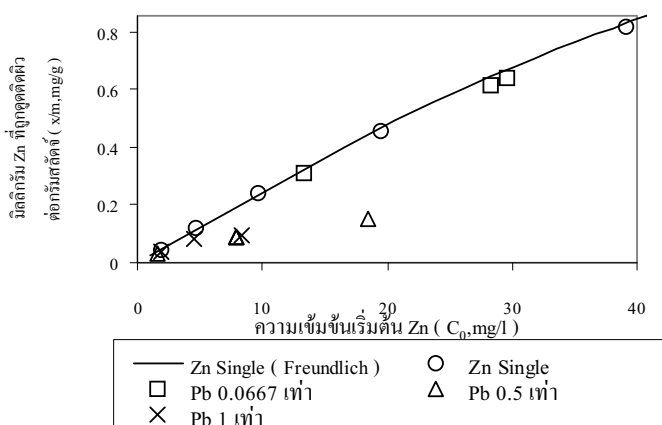
4.3.4.1. สลัดจ์ AS50%

การทดสอบการดูดติดผิวโลหะหนักในสารละลายน้ำและผสม 2 ธาตุด้วยสลัดจ์ AS50% จะใช้สลัดจ์ก่อนปรับสภาพที่นี่ เปอร์เซ็นต์ความชื้น 50% มาทดสอบการดูดติดผิวทั้งในน้ำปราศจากประจุและในน้ำอะบะ โดยจะศึกษาการดูดติดผิว ในสารละลายน้ำและผสม 2 ธาตุ (binary metal) ระหว่างโลหะสังกะสีและโลหะตะกั่ว กับโลหะสังกะสีและโลหะ แคนเดเมี่ยน

ก. น้ำปราศจากประจุ



(๙)

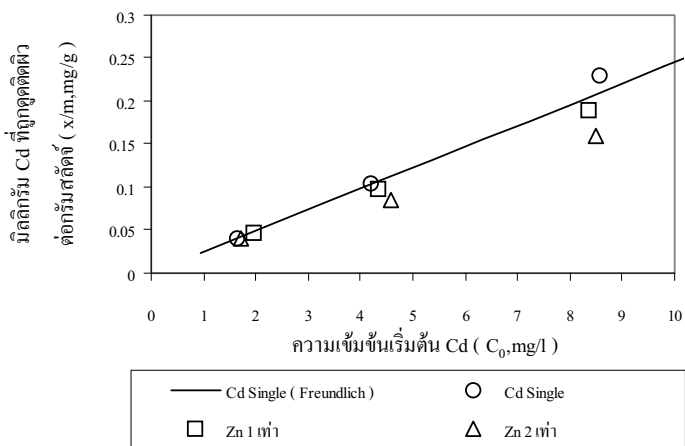


(๘)

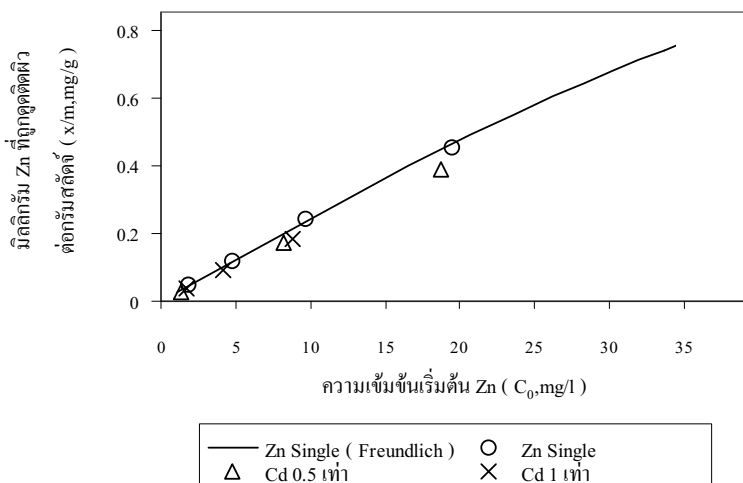
รูปที่ 4.5 : การดูดติดผิวสารละลายน้ำและผสมสองธาตุของตะกั่วและสังกะสีด้วยสลัดจ์ AS 50% ในน้ำปราศจากประจุ

(ก) การดูดติดผิวโลหะตะกั่ว

(ข) การดูดติดผิวโลหะสังกะสี



(ก)



(ห)

รูปที่ 4.6 : การคุณติดผิวสารละลายโลหะผสมสองธาตุของแคนเดเมียมและสังกะตีด้วยสลัดจ์ AS 50
ในน้ำปราสากประจุ

(ก) การคุณติดผิวโลหะแคนเดเมียม (ห) การคุณติดผิวโลหะสังกะตี

การทดสอบความแรงไออกอนของโลหะสังกะตีที่มีผลต่อการคุณติดผิว ตะกั่ว และแคนเดเมียม ด้วยสลัดจ์ AS 50 % ในน้ำปราสากประจุ จะทำการทดลองโดยเพิ่มความเข้มข้นเริ่มต้นของสังกะตีเป็น 1,2 และ 15 เท่าของความเข้มข้นเริ่มต้นของตะกั่ว กับ 1 และ 2 เท่าของความเข้มข้นเริ่มต้นของแคนเดเมียม และควบคุมพิธีอุบัติการณ์ของสารละลายที่จุดสมดุลการคุณติดผิวไว้ที่ 6 – 6.5 ในทุกรอบทดลอง โดยจะเก็บกราฟความสัมพันธ์ระหว่างความเข้มข้นเริ่มต้นของโลหะ ตัวที่สนใจจะศึกษาการคุณติดผิว (C_0) เป็นแกน x และปริมาณของโลหะตัวที่สนใจจะศึกษาการคุณติดผิวที่จุด

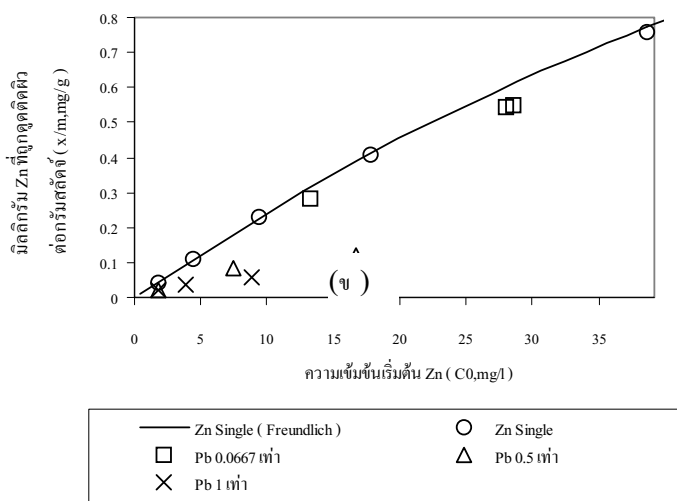
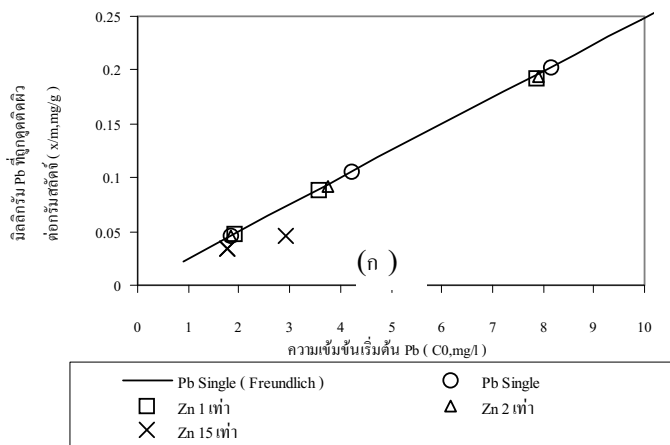
คุณติดผัวต่อหน้าหันของตัวคุณติดผัว (x/m) เป็นแกน y ซึ่งจะนำผลการคุณติดผัวโลหะในสารละลายผสมสองชาตุที่ได้ไปเปรียบเทียบกับการคุณติดผัวของโลหะหนึ่งชาตุ ทั้งที่ได้จากการทดลองจริงและได้จากการคำนวณโดยสมการที่รุนดลิช ดังรูปที่ 4.5 และ 4.6

รูปที่ 4.5 (ก) และ (ข) เป็นการคุณติดผิวตะกั่วและสังกะสีในสารละลายโลหะผสมระหว่างตะกั่วและสังกะสี ตามลำดับ ส่วนรูปที่ 4.6 (ก) และ (ข) เป็นการคุณติดผิวแคนเดเมียมและสังกะสีในสารละลายโลหะผสมระหว่างแคนเดเมียมและสังกะสี ตามลำดับ พบว่าในสารละลายผสมของตะกั่วและสังกะสี สังกะสีจะไม่มีผลต่อการคุณติดผิวโลหะตะกั่ว ซึ่งสังเกตได้จากการเพิ่มความเข้มข้นเริ่มต้นของสังกะสีตึ้งแต่ 1 เท่าจนถึง 15 เท่าของความเข้มข้นตะกั่ว การคุณติดผิวตะกั่วซึ่งคงมีค่าใกล้เคียงกันในสารละลายโลหะตะกั่วหนึ่งราช ส่วนในสารละลายผสมของแคนเดเมียมและสังกะสี การคุณติดผิวแคนเดเมียมเริ่มลดลงจากการคุณติดผิวแคนเดเมียมหนึ่งราชตั้งแต่ความเข้มข้นเริ่มต้นของสังกะสีมีค่าเท่ากับความเข้มข้นของแคนเดเมียม จากที่กล่าวมาข้างต้นสามารถสรุปได้ว่าการคุณติดผิวโลหะผสมด้วยสตั๊ดจีAS50 % ในน้ำประสาจากประจุ โลหะสังกะสีจะมีผลต่อการขับยึดการคุณติดผิวโลหะแคนเดเมียมในสารละลายผสมได้ดีกว่าที่จะขับยึดการคุณติดผิวตะกั่วในสารละลายผสม และเมื่อพิจารณาผลของตะกั่วและแคนเดเมียมที่มีต่อการคุณติดผิวโลหะสังกะสีในสารละลายโลหะผสม พบร่วงตัวกับความสามารถขับยึดการคุณติดผิวโลหะสังกะสีได้มากกว่าแคนเดเมียม ซึ่งสังเกตได้จากที่ความเข้มข้นของตะกั่วและแคนเดเมียมเท่ากัน การคุณติดโลหะสังกะสีเมื่อมีตะกั่วอยู่จะลดลงจากการคุณติดผิวสังกะสีหนึ่งราชมากกว่าเมื่อมีแคนเดเมียมอยู่ในสารละลายผสม ซึ่งสอดคล้องกับงานวิจัยของ Brady and Tobin 1995 ที่ได้ทำการศึกษาการคุณติดผิวในสารละลายโลหะผสมสองราชตุขของตะกั่วกับสังกะสี และแคนเดเมียมกับสังกะสีด้วย Rhizopus Arrhizus ในน้ำประสาจากประจุพบว่า สังกะสีมีเปอร์เซ็นต์การขับยึดการคุณติดผิวโลหะตะกั่วและแคนเดเมียมในสารละลายผสมสองราชตุขเท่ากับ 0 และ 43.89% ตามลำดับ ส่วนตะกั่วเมื่อเปอร์เซ็นต์การขับยึดการคุณติดผิวของโลหะสังกะสีในสารละลายผสมได้เพียง 51.36 % จากงานวิจัยนี้แสดงว่า สังกะสีสามารถขับยึดการคุณติดผิวโลหะแคนเดเมียมมากกว่าขับยึดการคุณติดผิวโลหะตะกั่ว และ โลหะตะกั่วสามารถขับยึดการคุณติดผิวโลหะสังกะสีได้มากกว่าที่โลหะแคนเดเมียมจะขับยึดการคุณติดผิวโลหะสังกะสี ซึ่งให้ผลสอดคล้องกับการทดลองในหัวข้อนี้

၁၂၁

การทดสอบความแรง ไอกอ่อนของโลหะสังกะสีที่มีผลต่อการคุณติดผิว ตะกั่ว และแคนเดเมียม ด้วยสลัดเจ้ออส 50 % ความชื้นในน้ำชาเบร์ LCL ซึ่งมีชีโวติดตัว (Soluble COD เท่ากับ 90.72 mg/l) จะทำการทดลองเช่นเดียวกันกับในน้ำประปาจากประจุ และควบคุมพิสูจน์ของสารละลายน้ำที่จุดสมดุลการคุณติดผิวไว้ที่ $6.5 - 7.2$ ในทุกการทดลอง ซึ่งจะนำผลการคุณติดผิวโลหะในสารละลายผสมสองชาติที่ได้ไปเปรียบเทียบกับการคุณติดผิวของโลหะหนึ่งชาติทั้งที่ได้จากการทดลองจริงและได้จากการคำนวณโดยสมการฟรุนเคลิช ดังรูปที่ 4.7 และ 4.8

รูปที่ 4.7(ก) และ (ข) เป็นการคุณติดผิวตะกั่วและสังกะสีในสารละลายโลหะผสมระหว่างตะกั่วและสังกะสี ตามลำดับ ส่วนรูปที่ 4.8 (ก) และ (ข) เป็นการคุณติดผิวแครดเมียมและสังกะสีในสารละลายโลหะผสมระหว่าง แครดเมียมและสังกะสี ตามลำดับ พนง.ว่าการคุณติดผิวโลหะผสมด้วยสัดส่วน AS 50 % ในน้ำชาจะง่าย LCL โลหะสังกะสี

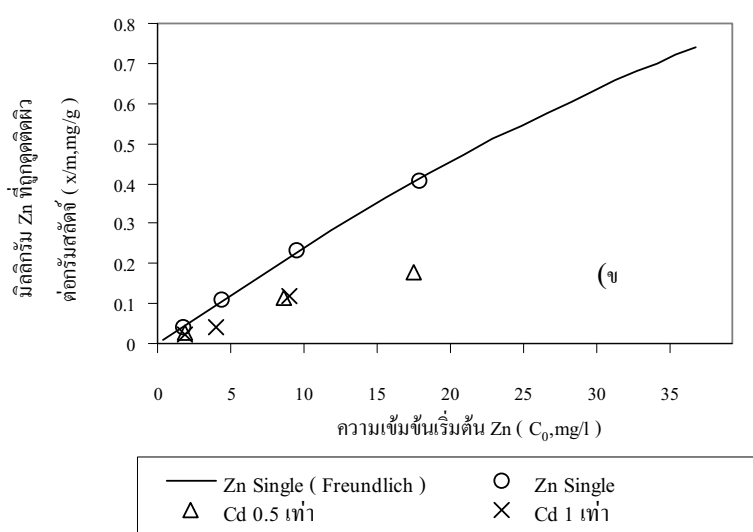
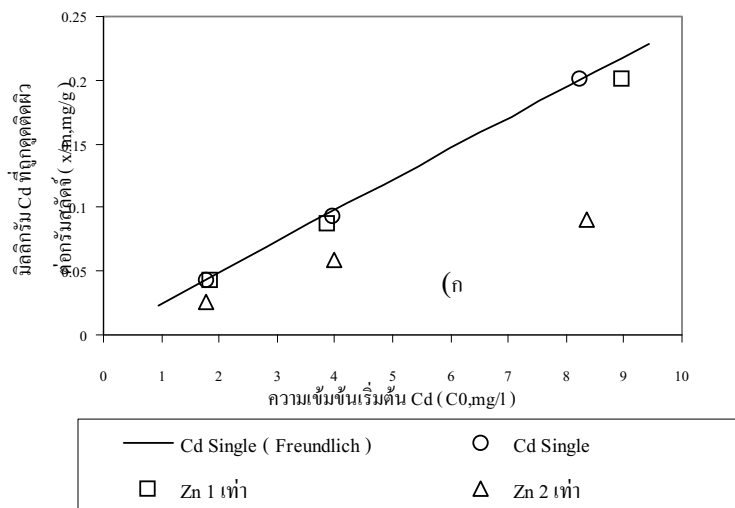


รูปที่ 4.7 : การคุณติดพิวรารามถ่ายโลหะสมสองชาตุของตะกั่วและสังกะสีด้วยสักดํา

នេះទេសចរណ៍ LCL

จะมีผลต่อ การยับยั้งการคุกคิดผิวโลหะแคลเมียมในสารละลายน้ำ ได้ดีกว่าที่จะยับยั้งการคุกคิดผิวตะกั่วในสารละลายน้ำ และเมื่อพิจารณาผลของตะกั่วและแคลเมียมที่มีต่อการคุกคิดผิวโลหะสังกะสีในสารละลายน้ำ พบว่าจะก้าวสามารถยับยั้งการคุกคิดผิวโลหะสังกะสีได้มากกว่าแคลเมียม ซึ่งผลการทดลองในน้ำชาของ LCLM มีแนวโน้มใกล้เคียงกันกับผลการทดลองในน้ำประปาจากประจุ แต่พบว่าสารละลายน้ำตะกั่วและสังกะสีในน้ำชาของ LCLM ที่ลักษณะความเข้มข้นเริ่มนั้นเป็น 15 เท่าของความเข้มข้นของตะกั่วสังกะสีเริ่มนี้มีผลยับยั้งทำให้การคุกคิดผิวตะกั่ว

ลดลง ขณะที่ในน้ำปราสาจากประจุที่สังกะสีความเข้มข้นเริ่มต้นเป็น 15 เท่าของความเข้มข้นตะกั่วซึ้งไม่ส่งผลต่อการดูดติดผิวของตะกั่ว นอกจากนี้ในน้ำชาชงของ LCL สังกะสีจะยับยั้งการดูดติดผิวโลหะแคนดี้เมียมได้มากกว่าในน้ำปราสาจากประจุ ในทำนองเดียวกันในน้ำชาชงของ LCL แคนดี้เมียมจะยับยั้งการดูดติดผิวโลหะสังกะสีได้มากกว่าในน้ำปราสาจากประจุเช่นกัน ซึ่งอาจเป็นเพราะไออกอน์ ฯ ที่ละลายอยู่ในน้ำชาชงของ LCL นั่นเอง



รูปที่ 4.8: การดูดติดผิวสารละลายโลหะผสมสองชาตุของแคนดี้เมียมและสังกะสีตัวอย่าง

ตัดจี AS 50% ในน้ำชาชง LCL

(ก) การดูดติดผิวโลหะแคนดี้เมียม (ข) การดูดติดผิวโลหะสังกะสี

การที่ผลการทดลองมีแนวโน้มว่าที่สังกะสีสามารถยับยั้งการคุกติดผิวโลหะแคดเมียมได้ดีกว่าที่จะยับยั้งการคุกติดผิวโลหะตะกั่ว และตะกั่วสามารถยับยั้งการคุกติดผิวของสังกะสีได้มากกว่าแคดเมียมทั้งในน้ำปราศจากประจุและน้ำระบายน้ำLCL ซึ่งเป็นไปตามผลการทดลองในหัวข้อเรื่องการคุกติดผิวโลหะหนักหนึ่งธาตุที่พบว่า ในสารละลายน้ำตะกั่ว ดังนั้นการที่ตะกั่วที่มีความสามารถในการคุกติดผิวของโลหะประจุบวกเรียงลำดับได้ดังนี้ ตะกั่ว > แคดเมียม > สังกะสี ดังนั้นการที่ตะกั่วที่มีความสามารถในการคุกติดผิวได้ดีกว่าสังกะสีแสดงว่าจะก้าวสามารถจะยับยั้งการคุกติดผิวของสังกะสีได้แม้ว่าความเข้มข้นของตะกั่วจะไม่สูงมาก แต่สังกะสีจะสามารถยับยั้งการคุกติดผิวโลหะตะกั่วได้เมื่อความเข้มข้นของสังกะสีจะต้องสูงมากกว่าตะกั่วมาก และการที่ตะกั่วมีความสามารถในการคุกติดผิวได้ดีกว่าแคดเมียม แสดงว่า ตะกั่วสามารถที่จะยับยั้งการคุกติดผิวของสังกะสีได้ดีกว่าแคดเมียม ส่วนการที่สังกะสีสามารถยับยั้งการคุกติดผิวโลหะแคดเมียมได้ดีกว่าที่จะยับยั้งการคุกติดผิวโลหะตะกั่วที่เป็น เพราะโลหะตะกั่วมีความสามารถในการคุกติดผิวได้ดีกว่าแคดเมียมนั่นเอง

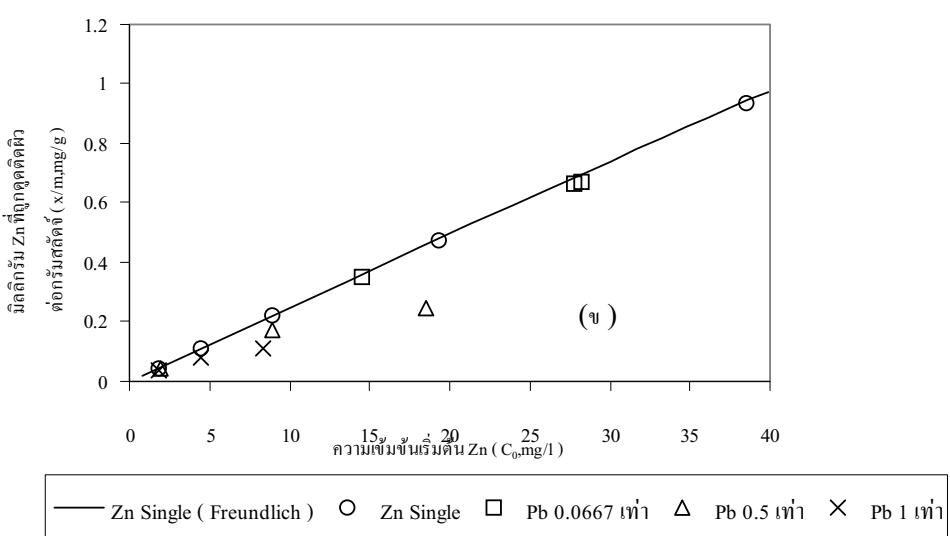
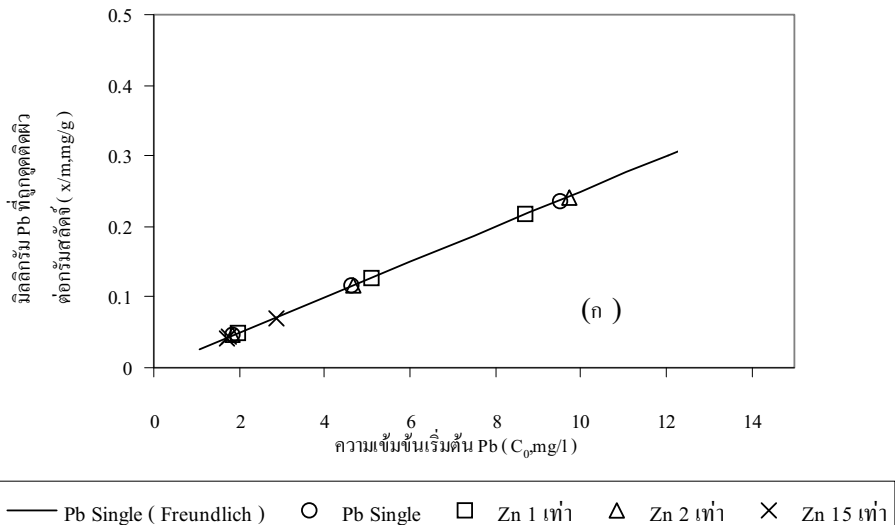
4.3.4.2 สลัดจ์ASP

การทดสอบการคุกติดผิวโลหะหนักในสารละลายน้ำโลหะผสม 2 ชาติด้วยสลัดจ์ASP มาทดสอบการคุกติดผิวทั้งในน้ำปราศจากประจุและในน้ำระบายน้ำซึ่งจะมีทั้งน้ำระบายน้ำที่มีชีโอดีต้า (น้ำระบายน้ำLCL) และน้ำระบายน้ำที่มีชีโอดีสูง (น้ำระบายน้ำHCL) โดยจะศึกษาการคุกติดผิวในสารละลายน้ำโลหะผสม 2 ชาติ (binary metal) ของโลหะสังกะสีและโลหะตะกั่วเท่านั้น

ก.น้ำปราศจากประจุ

การทดสอบความแรงไอลอ่อนของโลหะสังกะสีที่มีผลต่อการคุกติดผิวตะกั่วด้วยสลัดจ์ASP ในน้ำปราศจากประจุ จะทำการทดลองโดยเพิ่มความเข้มข้นเริ่มต้นของสังกะสีเป็น 1.2 และ 15 เท่าของความเข้มข้นเริ่มต้นของตะกั่ว และความคุณภาพของสารละลายน้ำที่ดูสมดุลการคุกติดผิวไว้ที่ 6 – 6.5 ในทุกการทดลอง ซึ่งจะนำผลการคุกติดผิวโลหะในสารละลายน้ำสองชาติที่ได้ไปเบรียบเทียนกับการคุกติดผิวของโลหะหนึ่งธาตุทั้งที่ได้จากการทดลองจริงและได้จากการคำนวณโดยสมการฟรุนเดลิช ดังรูปที่ 4.9

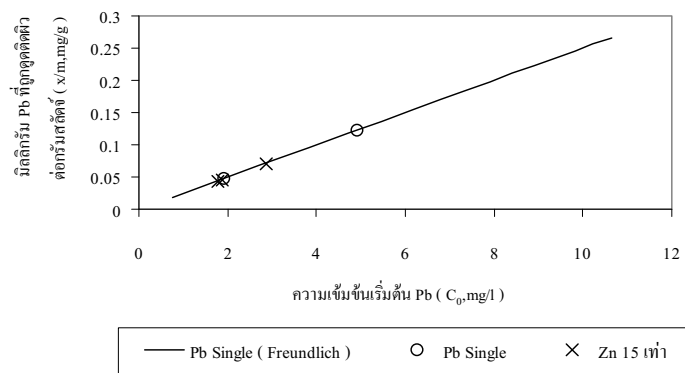
รูปที่ 4.9 (ก) และ (ข) เป็นการคุกติดผิวตะกั่วและสังกะสีในสารละลายน้ำโลหะผสมระหว่างตะกั่วและสังกะสีตามลำดับ พบว่าการคุกติดผิวโลหะผสมด้วยสลัดจ์แออสฟลังเตินโพลิเมอร์ในน้ำปราศจากประจุ โลหะสังกะสีไม่มีผลต่อการยับยั้งการคุกติดผิวโลหะตะกั่วถึงแม้จะใช้ความเข้มข้นเริ่มต้นของสังกะสีมากถึง 15 เท่าของความเข้มข้นของตะกั่วตาม แต่ตะกั่วความเข้มข้นเริ่มต้นเพียง 1 เท่าของความเข้มข้นสังกะสีเท่านั้นก็สามารถยับยั้งการคุกติดผิวของสังกะสีได้ ซึ่งผลการทดลองของ การคุกติดผิวโลหะผสมด้วยสลัดจ์ASP ในน้ำปราศจากประจุมีแนวโน้มใกล้เคียงกับผลการทดลองการคุกติดผิวโลหะผสมด้วยสลัดจ์ASP ในน้ำปราศจากประจุ



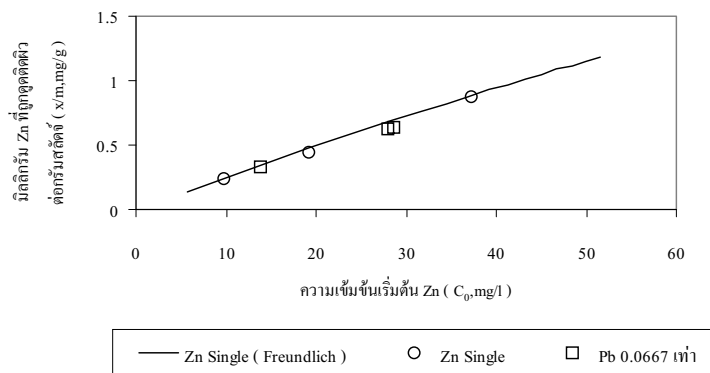
ນໍາໃຈໝະລິດ LCL

การทดสอบความแรง ไฮอ่อนของ โลหะสังกะสีที่มีผลต่อการคุณคิดผิวทะลัก ทั่วไป ด้วยสลัดเจ็ส ASP ในน้ำอะบะย์ LCL ซึ่งมีค่าไฮดีต้า (Soluble COD เท่ากับ 90.72 mg/l) จะทำการทดลองโดยเพิ่มความเข้มข้นเริ่มต้นของสังกะสีเป็น 15 เท่า ของความเข้มข้นเริ่มต้นของตะกั่ว และความคุมพิเชชของสารละลายที่จุดสมดุลการคุณคิดผิวไว้ที่ $6.5 - 7.2$ ในทุกการทดลอง ซึ่งจะนำผลการคุณคิดผิวโลหะในสารละลายผสมสองรاثุที่ได้ไปเปรียบเทียบกับการคุณคิดผิวของโลหะหนึ่ง ธาตุทั้งที่ได้จากการทดลองจริงและได้จากการคำนวณโดยสมการฟรอนดลิช ดังรูปที่ 4.10

รูปที่ 4.10 (ก) และ (ข) เป็นการคุณติดผิวตะกั่วและสังกะสีในสารละลายโลหะผสมระหว่างตะกั่วและสังกะสี ตามลำดับ พบว่าการคุณติดผิวโลหะผสมด้วยสลัดเจ็ท ASP ในน้ำชาเขียว โลหะสังกะสีไม่มีผลต่อการยับยั้งการคุณติดผิวโลหะตะกั่วซึ่งแม้มีใช้ความเข้มข้นเริ่มต้นของสังกะสีมากถึง 15 เท่าของความเข้มข้นของตะกั่วเท่านั้น ล้วนความเข้มข้นเริ่มต้นของตะกั่วสูงสุดที่ไวในการทดลองส่วนนี้จะใช้แค่ 0.0667 เท่าของความเข้มข้นสังกะสีเท่านั้นซึ่งช่วยลดความเข้มข้นดังกล่าวส่งผลต่อการยับยั้งการคุณติดผิวโลหะสังกะสีเพียงเล็กน้อยเท่านั้น ได้ไม่ชัดเจนนัก โดยผลการทดลองของการคุณติดผิวโลหะผสมด้วยสลัดเจ็ท ASP ในน้ำชาเขียว LCL มีแนวโน้มใกล้เคียงกันกับผลการทดลองของการคุณติดผิวโลหะผสมด้วยสลัดเจ็ท เออสก์ อ่อนเดินโพลิเมอร์ ในน้ำประปาจากประจุ



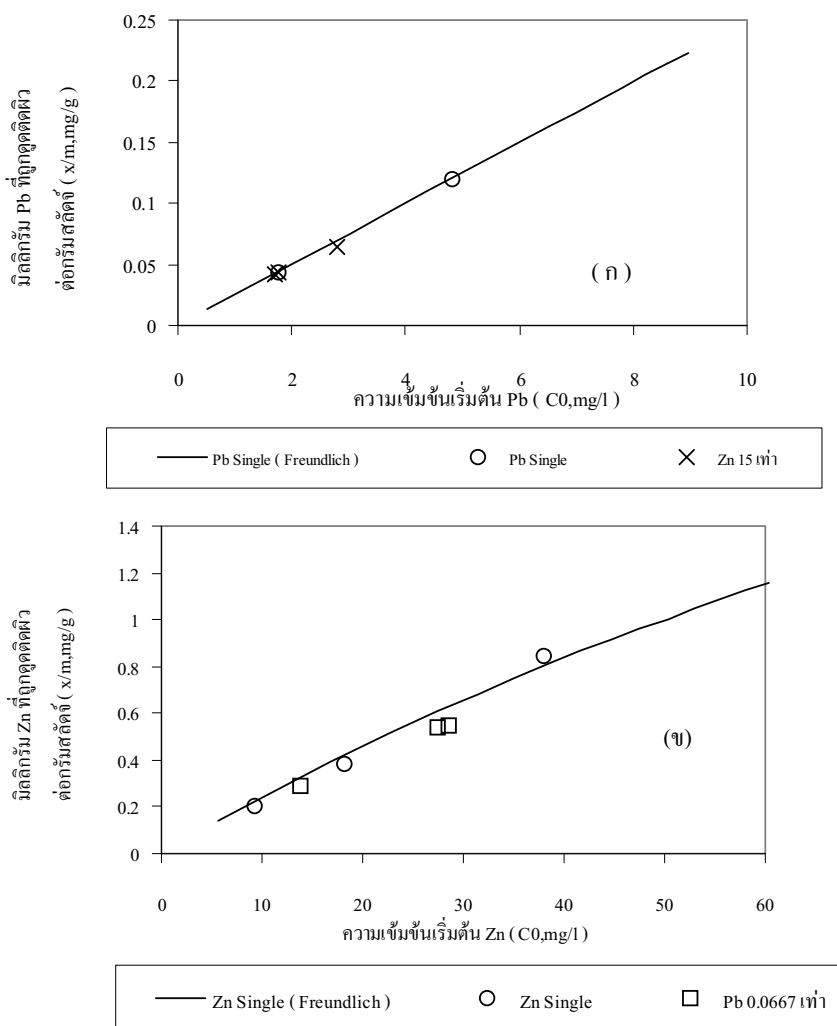
(n)



(۹)

น้ำ hac HCL

การทดสอบความแรง ไออ่อนของโลหะสังกะสีที่มีผลต่อการคุณติดผิวตะกั่วด้วยสลัดจ์ ASP ในน้ำ hac HCL ซึ่งมีชีโอดีสูง (Soluble COD เท่ากับ 2360 mg/l) จะทำการทดลองโดยเพิ่มความเข้มข้นเริ่มต้นของสังกะสีเป็น 15 เท่า ของความเข้มข้นเริ่มต้นของตะกั่ว และควบคุมพีเอชของสารละลายที่จุดสมดุลการคุณติดผิวไว้ที่ 6.5 – 7.2 ในทุกการทดลอง ซึ่งจะนำผลการคุณติดผิวโลหะในสารละลายผสมสองธาตุที่ได้ไปเปรียบเทียบกับการคุณติดผิวของโลหะหนึ่งธาตุทั้งที่ได้จากการทดลองจริงและได้จากการคำนวณโดยสมการฟรุนคลิช ดังรูปที่ 4.11



รูปที่ 4.11: การคุณติดผิวสารละลายโลหะผสมสองธาตุของตะกั่วและสังกะสีด้วยสลัดจ์ ASP ในน้ำ hac HCL

(ก) การคุณติดผิวโลหะตะกั่ว

(ข) การคุณติดผิว

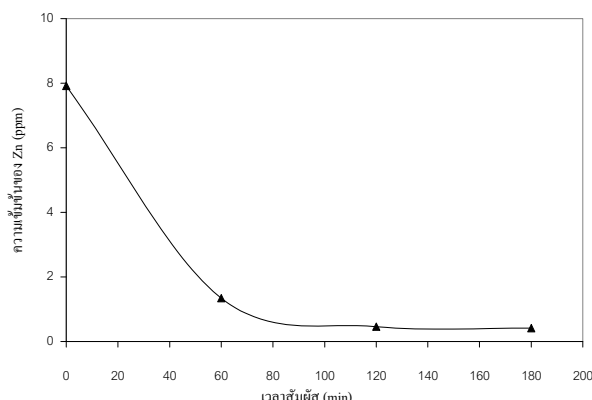
รูปที่ 4.11 (ก) และ (ข) เป็นการคุณติดผิวตะกั่วและสังกะสีในสารละลายโลหะผสมระหว่างตะกั่วและสังกะสี ตามลำดับ พบว่าการคุณติดผิวโลหะผสมด้วยสลัดช์ ASP ในน้ำชาเขียว โลหะสังกะสีไม่มีผลต่อการยับยั้งการคุณติดผิวโลหะตะกั่วถึงแม่ว่าใช้ความเข้มข้นเริ่มต้นของสังกะสีมากถึง 15 เท่าของความเข้มข้นของตะกั่วตาม ส่วนความเข้มข้นเริ่มต้นของตะกั่วสูงสุดที่ใช้ในการทดลองส่วนนี้จะใช้แค่ 0.0667 เท่าของความเข้มข้นของสังกะสีเท่านั้นซึ่งช่วยลดความเข้มข้นดังกล่าวส่งผลต่อการยับยั้งการคุณติดผิวโลหะสังกะสีเพียงเล็กน้อยเท่านั้น ได้ไม่ชัดเจนนัก โดยผลการทดลองของ การคุณติดผิวโลหะผสมด้วยสลัดช์เออสหังคิม โพลิเมอร์ในน้ำชาเขียว LCL มีแนวโน้มใกล้เคียงกันกับผลการทดลองการคุณติดผิวโลหะผสมด้วยสลัดช์เออสก่อนเติม โพลิเมอร์ในน้ำชา HCL

ความสามารถในการคุณติดผิวโลหะหนักนิยมต่าง ๆ ในสารละลายผสมของโลหะหนักสองธาตุ นอกจากจะขึ้นอยู่กับชนิดของโลหะหนักในสารละลายผสม ช่วงความเข้มข้นของโลหะแต่ละชนิดในสารละลายผสมแล้ว ยังขึ้นอยู่กับคุณสมบัติต่าง ๆ ของพื้นผิวสลัดช์เออส เช่น หมุ่ฟังก์ชันอล โครงสร้างและพื้นที่ผิวของสลัดช์เออส คุณสมบัติต่าง ๆ ของโลหะหนัก เช่น ขนาดไอออน, น้ำหนักไอออน และโครงสร้างโมเลกุลของไอออน โลหะหนัก และคุณสมบัติทางเคมีของสารละลาย เช่น พีอีช และความแรงของไอออน [Aksu และคณะ 2002] จึงเป็นการยากส์และซับซ้อนมากในการที่จะอธิบายกลไกการคุณติดผิวในสารละลายผสมของโลหะสองธาตุที่ส่งผลต่อปริมาณโลหะหนักที่ถูกคุณติดผิวด้วยสลัดช์เออสทั้งสองธาตุ

4.4 ผลการทดลองคืน

4.4.1 การหาเวลาที่จุดสมดุลของการคุณติดผิว

การทดลองได้เลือกใช้โลหะที่จุดสมดุลของการคุณติดผิวโลหะหนักสังกะสี ซึ่งใช้เวลานานที่สุด ในการศึกษาสารคุณซับเออส เป็นตัวควบคุมเวลาที่จุดสมดุลของการคุณติดผิวของโลหะหนักบนдинทั้ง 4 ชนิด คือ สังกะสี ตะกั่ว แคนเดเมียม และโกรเมียม โดยได้ผลการทดลองดังรูปที่ 4.12 จึงเลือกใช้เวลาเข้าสู่สมดุลเท่ากับ 180 นาที

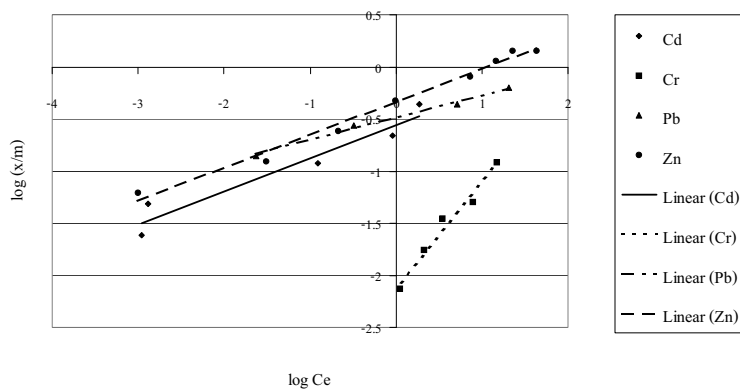


รูปที่ 4.12 เวลาสัมผัสกับความเข้มข้นสังกะสีที่เหลือเมื่อдинเป็นสารคุณซับ

4.4.2. การทดสอบ Isotherm การดูดติดผิวโลหะหนักหนึ่งชั้น

ก. น้ำปราศจากประจุ

ผลการทดลองแสดงอยู่ในรูปที่ 4.13 ซึ่งพบว่าสามารถใช้สมการ ฟรุนเดลิช Isotherm อธิบายได้ ซึ่งสรุปค่าคงที่ในตารางที่ 4.8



รูปที่ 4.13 การ plot ข้อมูลในรูปสมการเส้นตรงของ isotherm การดูดติดผิวโลหะ แบบ Freundlich เมื่อใช้ดินเป็นสารดูดซับในน้ำปราศจากประจุ

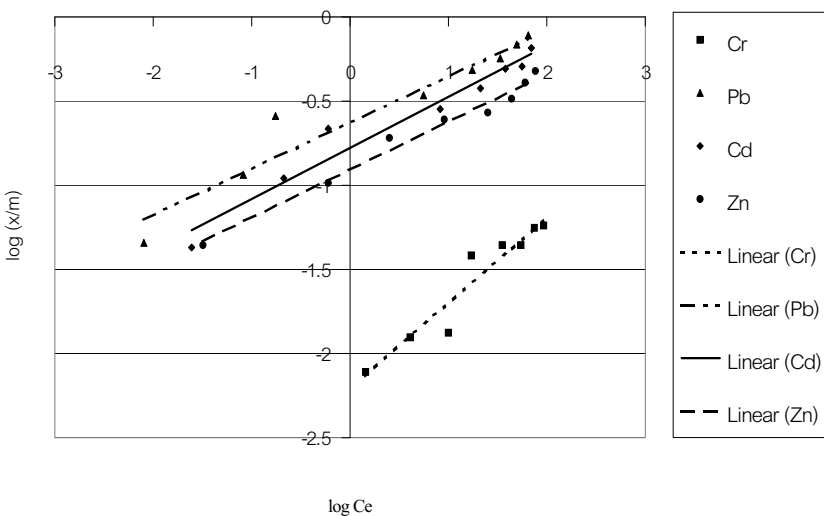
ตารางที่ 4.8 ค่าคงที่ Isotherm การดูดติดผิวโลหะแบบฟรุนเดลิชของดินในน้ำปราศจากประจุ

โลหะหนัก	ค่าคงที่ Isotherm การดูดติดผิวแบบฟรุนเดลิช		
	K (มก./ก.)(ล./มก.) ^{1/n}	n	R ²
Cd	0.2730	3.1525	0.9347
Cr	0.0078	0.9958	0.9729
Pb	0.3256	4.6794	0.9925
Zn	0.4570	3.1635	0.9865

เมื่อพิจารณาค่า K จากตารางที่ 4.8 พบว่าในน้ำเสียปราศจากประจุ ดินสามารถดูดซับโลหะสังกะสี ตะกั่ว แคลดรูมีน และ โกรเมี่ยน ได้ตามลำดับ

ข) ในน้ำชาชง

ผลการทดลองแสดงอยู่ในรูปที่ 4.14 ซึ่งพบว่าสามารถใช้สมการ ฟรุนคลิช ไอโซเทอมอธิบายได้ ซึ่งสรุปค่าคงที่ในตารางที่ 4.9



รูปที่ 4.14 การ plot ข้อมูลในรูปสมการเส้นตรงของ isotherm การดูดติดผิวโลหะ แบบ Freundlich เมื่อใช้คืนเป็นสารดูดซับในน้ำชาชง

เมื่อพิจารณาค่า K จากตาราง 4.9 พบร่วมกันมีความสามารถดูดซับโลหะต่ำกว่า แคดเมียม สังกะสี และโคโรเมียม ในน้ำชาชง ได้ตามลำดับและเมื่อพิจารณาค่า n พบร่วมกันมีค่า n มากกว่า 1 ซึ่งหมายความว่าคินมีความสามารถในการดูดซับโลหะต่างๆ ได้ดีเมื่อความเข้มข้นของสารละลายโลหะหนักนี้ค่าต่ำ ซึ่งเมื่อเทียบค่า n กับน้ำประชาจากประจุ พบร่วมกันที่ใกล้เคียงกัน

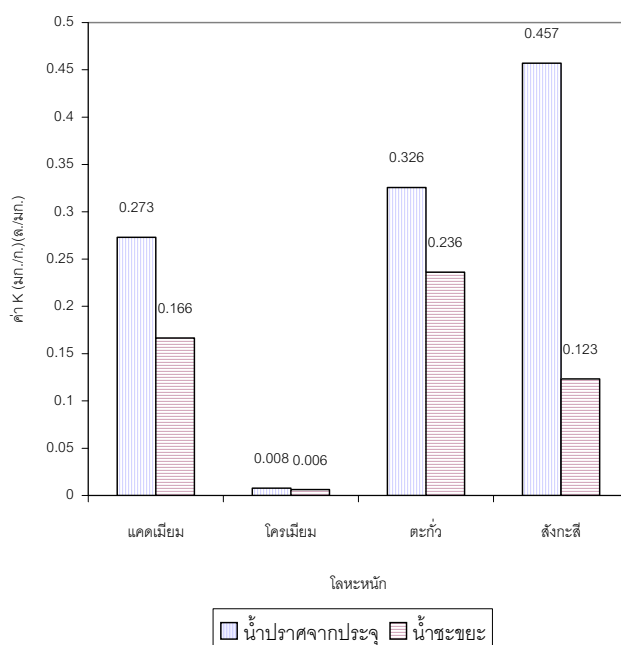
ตารางที่ 4.9 ค่าคงที่ไอโซเทอมการดูดติดผิวโลหะแบบฟรุนคลิชของดินในน้ำชาชง

โลหะหนัก	ค่าคงที่ไอโซเทอมการดูดติดผิวโลหะแบบฟรุนคลิช		
	K (มก./ก.) $(\text{ล./มก.})^{1/n}$	n	R^2
Cd	0.166495	3.318951	0.9531
Cr	0.006152	1.960016	0.9205
Pb	0.236211	3.616637	0.9335
Zn	0.123225	3.485535	0.9803

ตารางที่ 4.10 ลำดับความสามารถของдинในการดูดซับโลหะหนัก

น้ำปราศจากปรุง	สังกะสี > ตะกั่ว > แคนเดเมียม > โครเมียม
น้ำชาเขียว	ตะกั่ว > แคนเดเมียม > สังกะสี > โครเมียม

นอกจากนี้ได้นำค่า K มาเปรียบเทียบสำหรับการดูดซับในน้ำปราศจากปรุงกับน้ำชาเขียว พบร่วมกันดูดซับโลหะหนักนิดต่าง ๆ ได้น้อมลงในน้ำชาเขียว ในรูปที่ 4.15



รูปที่ 4.15 การเปรียบเทียบความสามารถในการดูดซับโลหะหนัก (K) ของดินในน้ำปราศจากปรุงและในน้ำชาเขียว

บทที่ 5

คุณสมบัติการซึมผ่านของน้ำ ของสลัดจ์และดินที่ค่าการบดอัดต่างๆ

5.1 วิธีการทดสอบ

5.1.1 การทดสอบค่าการบดอัด

การทดสอบเป็นไปตามมาตรฐาน ASTM 1557-70 เพื่อหาความสัมพันธ์ระหว่างความหนาแน่นของแท้ของดินกับปริมาณน้ำที่ใช้ในการบดอัด ทำการทดสอบค่าการบดด้วยย่างดิน และสลัดจ์โอเอส รวมทั้งดินที่มีการผสมสลัดจ์โอเอสในอัตราส่วนสลัดจ์โอเอส 33, 50, 67 เปอร์เซ็นต์โดยน้ำหนัก เพื่อคุณลักษณะการเติมสลัดจ์โอเอสลงในดิน ค่าความหนาแน่นสูงสุดที่ได้จะนำไปทดสอบค่าการซึมผ่านของน้ำต่อไป

5.1.2 การทดสอบค่าการซึมผ่านของน้ำ

การทดสอบเป็นไปตามมาตรฐาน ASTM D 5084 เพื่อศึกษาค่าการซึมผ่านของน้ำในดินบดอัด รวมทั้งดินที่ปรับปรุงโดยทำการเติมสลัดจ์โอเอสลงไปด้วย เพื่อใช้ในการพิจารณาความเหมาะสมของสลัดจ์โอเอสในการนำไปใช้เป็นชั้นคาดฝังกลบ (Landfill liner) โดยพิจารณาจากค่าการซึมผ่านที่กำหนดสำหรับวัสดุกันซึมสำหรับหลุมฝังกลบ ค่าการซึมผ่านของน้ำต้องไม่มากกว่า 1×10^{-7} เชนติเมตรต่อวินาที [Sakaguchi และคณะ 1979] ทำการทดสอบค่าการซึมผ่านของดิน และสลัดจ์โอเอสที่บดอัด รวมทั้งดินที่มีการผสมสลัดจ์โอเอสในอัตราส่วนสลัดจ์โอเอส 33, 50, 67 เปอร์เซ็นต์โดยน้ำหนักและผ่านการบดอัด โดยใช้การทดสอบแบบระดับน้ำแปรเปลี่ยน (Variable Head, Falling Head) และทำการทดสอบการซึมผ่านของน้ำในตัวอย่างสลัดจ์โอเอสที่เปอร์เซ็นต์การบดอัดต่างๆ คือวิธีระดับน้ำคงที่ (Constant Head)

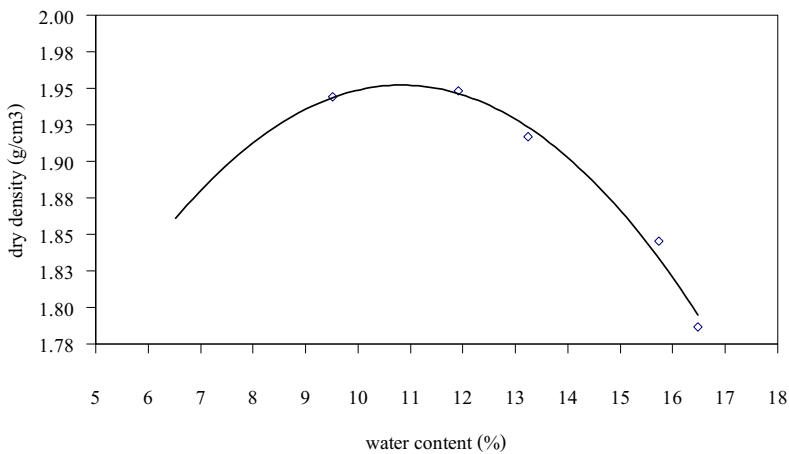
5.2 ผลการทดสอบ

5.2.1 การบดอัด

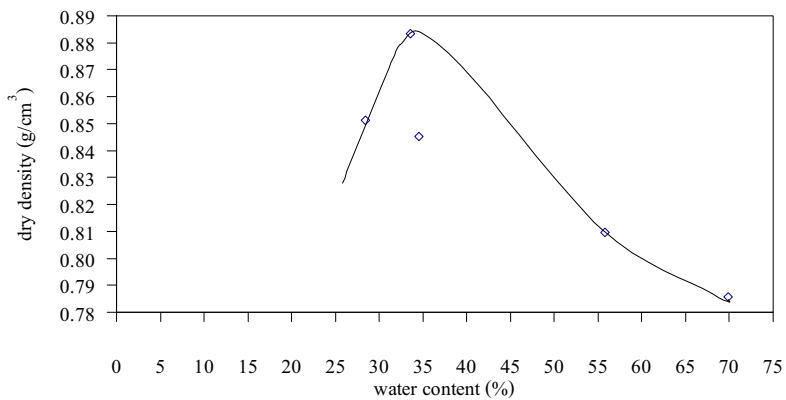
5.2.1.1 การบดอัดดินและสลัดจ์โอเอส

จากการทดสอบการบดอัดแบบสูงกว่ามาตรฐานหรือแบบโนดิฟายด์ (Modified Proctor หรือ Modified Compaction Test) เพื่อหาความสัมพันธ์ระหว่างค่าความหนาแน่นแห้งกับปริมาณน้ำที่ใช้ในการผสมดิน และสลัดจ์โอเอส จากรูปที่ 5.1 และ 5.2 พบว่าปริมาณน้ำที่เหมาะสมในการบดอัดดินเท่ากับ 11 เปอร์เซ็นต์โดยที่ได้ค่าความหนาแน่นแห้งสูงสุดเท่ากับ 1.95 กรัมต่อลูกบาศก์เซนติเมตร และปริมาณน้ำที่เหมาะสมในการบดอัดสลัดจ์โอเอสเท่ากับ 32 เปอร์เซ็นต์โดยที่ได้ค่าความหนาแน่นแห้งสูงสุดเท่ากับ 0.88 กรัมต่อลูกบาศก์เซนติเมตร ซึ่งค่าปริมาณน้ำที่เหมาะสมนี้จะนำมาใช้ในการเตรียมตัวอย่างดินและสลัดจ์โอเอส เพื่อนำไปทดสอบความสามารถในการซึมผ่านของน้ำต่อไป

ซึ่งจากการทดสอบแบบมาตรฐาน (Standard Proctor หรือ Standard Compaction Test) ของดินและสลัดจ์โอเอส พบว่าปริมาณน้ำที่เหมาะสมในการบดอัดดินเท่ากับ 13.8 เปอร์เซ็นต์โดยที่ได้ค่าความหนาแน่นแห้งสูงสุดเท่ากับ 1.76 กรัมต่อลูกบาศก์เซนติเมตร และปริมาณน้ำที่เหมาะสมในการบดอัดสลัดจ์โอเอสเท่ากับ 50 เปอร์เซ็นต์โดยที่ได้ค่าความหนาแน่นแห้งสูงสุดเท่ากับ 0.80 กรัมต่อลูกบาศก์เซนติเมตร



รูปที่ 5.1 ความสัมพันธ์ระหว่างความหนาแน่นแห้งกับปริมาณน้ำที่ใช้ในการบดอัดของดิน

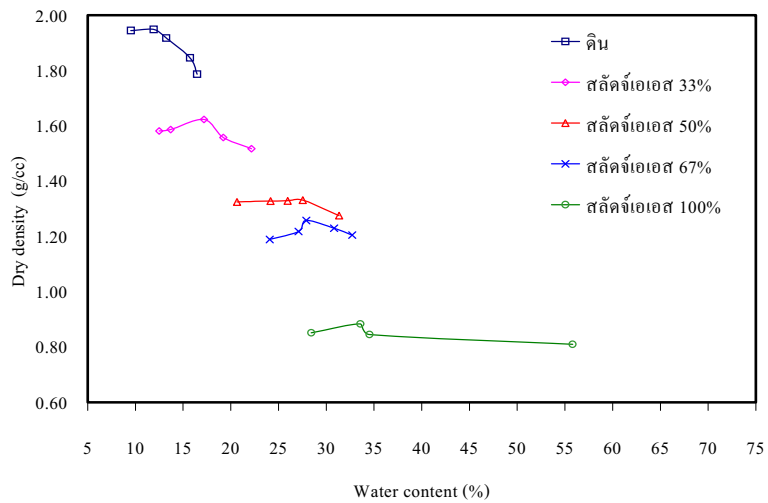


รูปที่ 5.2 ความสัมพันธ์ระหว่างความหนาแน่นแห้งกับปริมาณน้ำที่ใช้ในการบดอัดของสลัดจีโออีส

ดังนี้จะเห็นได้ว่าวิธีที่ใช้ในการบดอัดที่แตกต่างกันทั้งที่เป็นวิธีที่เป็นมาตรฐานเข่นเดียวกันจะให้ผลการทดลองที่แตกต่างกัน ดังนั้นในการปฏิบัติงานจึงต้องระบุวิธีทดสอบแบบมาตรฐานหรือสูงกว่ามาตรฐาน (โนดิฟายค์) Yoder 1975 ได้กล่าวถึงความสัมพันธ์ระหว่างวิธีการบดอัดแบบมาตรฐานและแบบสูงกว่ามาตรฐาน เอาไว้ว่า ค่าพลังงานต่อบริมารตรของการบดอัดแบบสูงกว่าค่ามาตรฐาน มีค่าเท่ากับ 4.5 เท่า จะส่งผลให้ค่าความหนาแน่นแห้งของการบดอัดแบบสูงกว่ามาตรฐานมากกว่าการบดอัดแบบมาตรฐาน ประมาณ 10 เปอร์เซ็นต์ ส่วนปริมาณน้ำที่เหมาะสมของการบดอัดแบบมาตรฐานจะสูงกว่าการบดอัดแบบสูงกว่ามาตรฐาน

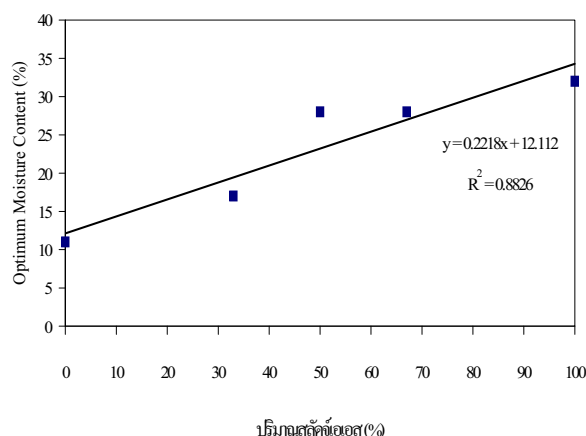
5.2.1.2 ผลของการผสมดินกับสลัดจีโออีส

การทดสอบผลของการผสมดินกับสลัดจีโออีสจะทำการผสมสลัดจีโออีสลงในดินโดยใช้อัตราส่วน 33, 50 และ 67 เปอร์เซ็นต์โดยน้ำหนัก โดยที่อัตราส่วน 0 เปอร์เซ็นต์โดยน้ำหนัก หมายถึงไม่ได้มีการเติมสลัดจีโออีส ซึ่งก็คือ ตัวอย่างดิน และในอัตราส่วน 100 เปอร์เซ็นต์โดยน้ำหนัก หมายถึงตัวอย่างสลัดจีโออีสนั่นเอง เมื่อทำการผสม ดินตัวอย่างทั้งหมดแล้วจึงนำมาทดสอบค่าการบดอัดแบบสูงกว่ามาตรฐานต่อไป ดังผลที่ได้ในรูปที่ 5.3

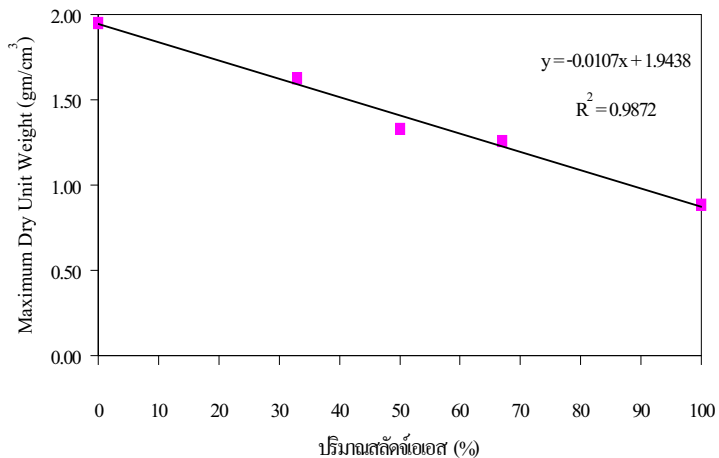


รูปที่ 5.3 เปรียบเทียบผลการทดสอบการบดอัดที่ปริมาณสัดจ์/oeos ที่แตกต่างกัน

จากรูปที่ 5.3 ซึ่งเปรียบเทียบผลการทดสอบการบดอัดที่ปริมาณสัดจ์/oeos ที่แตกต่างกัน ซึ่งจะเห็นได้ว่าเมื่อทำการทดสอบสัดจ์/oeos ลงในดินในอัตราส่วน 33, 50 และ 67 เปอร์เซ็นต์โดยน้ำหนัก ผลของปริมาณน้ำที่เหมาะสมมีค่าเพิ่มขึ้นตามอัตราส่วนที่เพิ่มขึ้นแต่จะทำให้ค่าความหนาแน่นแห้งสูงสุดมีค่าลดลง โดยที่ปริมาณน้ำที่เหมาะสมในกระบวนการบดอัดของดินมีค่าเพิ่มขึ้นจาก 11 เปอร์เซ็นต์เป็น 17, 27.5, 28 เปอร์เซ็นต์ และค่าความหนาแน่นแห้งมีค่าลดลงตามปริมาณของสัดส่วนของสัดจ์/oeos ที่เพิ่มขึ้น โดยมีค่าเท่ากับ 1.63, 1.33 และ 1.26 กรัมต่อลูกบาศก์เซนติเมตร จากรูปที่ 5.4 และ รูปที่ 5.5 พบว่าความสัมพันธ์ของค่าปริมาณน้ำที่เหมาะสมและค่าความหนาแน่นแห้งที่ได้มีความสัมพันธ์เป็นเส้นตรงกับปริมาณของสัดจ์/oeos ที่เพิ่มขึ้น



รูปที่ 5.4 ผลของค่า Optimum Moisture Content ที่ปริมาณสัดจ์/oeos แตกต่างกัน

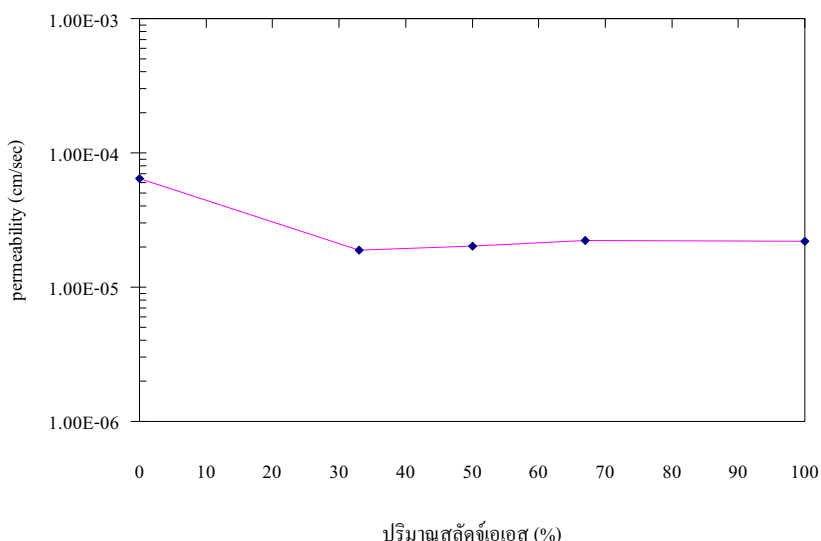


รูปที่ 5.5 ผลของค่า Maximum Dry Unit Weight ที่ปริมาณสัมภาระอิสระแตกต่างกัน

5.2.2 ผลการทดสอบค่าการซึมผ่านของน้ำ

5.2.2.1 การซึมผ่านของน้ำในตัวอย่างบดขัดสูงสุด

การซึมผ่านของน้ำทำการทดสอบด้วยวิธีระดับน้ำเปลี่ยน (Variable Head, Falling Head) โดยทำการทดสอบค่าการซึมผ่านของน้ำในตัวอย่างดิน, ดินผสมสัมภาระอิสระ 33%, ดินผสมสัมภาระอิสระ 50%, ดินผสมสัมภาระอิสระ 67% และสัมภาระอิสระ 100% ในการทดสอบค่าการซึมผ่านของน้ำจะทำการบดอัดตัวอย่างจนได้ค่าความหนาแน่นแห้งสูงสุด ผลการทดสอบดังแสดงในรูปที่ 5.6 และ ตารางที่ 5.1



รูปที่ 5.6 ความสัมพันธ์ระหว่างค่าการซึมผ่านของน้ำกับปริมาณสัมภาระอิสระ

ตารางที่ 5.1 ผลการทดสอบค่าการซึมผ่านของน้ำในตัวอย่างบดอัด

ตัวอย่าง	ค่าความหนาแน่นแห้ง (กรัมต่อลูกบาศก์เซนติเมตร)	ค่าการซึมผ่านของน้ำ (เซนติเมตรต่อวินาที)
ดิน	1.95	6.40×10^{-5}
สลัดจีโอเอส 33%	1.63	1.88×10^{-5}
สลัดจีโอเอส 50%	1.33	2.02×10^{-5}
สลัดจีโอเอส 67%	1.26	2.23×10^{-5}
สลัดจีโอเอส 100%	0.88	2.20×10^{-5}

พบว่าค่าการซึมผ่านของน้ำในตัวอย่างดินบดอัดมีค่าสูงที่สุด คือมีค่าเท่ากับ 6.40×10^{-5} เซนติเมตรต่อวินาที และค่าการซึมผ่านของน้ำในตัวอย่างสลัดจีโอเอสนบดอัดมีค่าเท่ากับ 2.19×10^{-5} เซนติเมตรต่อวินาที ซึ่งต่ำกว่าเมื่อเทียบกับตัวอย่างดินบดอัด เมื่อพิจารณาถึงปริมาณที่เพิ่มขึ้นของสลัดจีโอเอสกลับไม่พบว่าค่าการซึมผ่านของน้ำแปรผันโดยตรงกับปริมาณของสลัดจีโอเอสที่เติมลงในตัวอย่างดิน แต่ผลของการทดสอบสลัดจีโอเอสในทุกตัวอย่างพบว่าค่าการซึมผ่านของน้ำในตัวอย่างมีค่าต่ำลงเมื่อเทียบกับตัวอย่างดินบดอัด จากผลการทดลองพบว่าดินผสมสลัดจีโอเอส 33% ให้ค่าการซึมผ่านของน้ำต่ำสุด ทั้งนี้อาจจะเกิดจากอนุภาคของสลัดจีโอเอสมีการกระจายในขนาดพหะหมายที่เข้าไปอุดช่องว่างของอนุภาคเม็ดคิดได้พอดี ทำให้การเคลื่อนที่ของน้ำช้าลง แต่ถึงอย่างไรก็ตามในการทดลองครั้งนี้ยังไม่ได้ศึกษาการกระจายของอนุภาคทั้งในดินและสลัดจีโอเอส

5.2.2.2 การซึมผ่านของน้ำในตัวอย่างสลัดจีโอเอส

ในหัวข้อนี้จะทำการพิจารณาการนำสลัดจีโอเอสไปใช้ประโยชน์แทนดินสำหรับงานฝังกลบขยะ จากการข้อกำหนดสำหรับระบบป้องกันการปนเปื้อนมลพิษ ของกรมควบคุมมลพิษ 2541 การนำดินไปใช้สำหรับเป็นวัสดุกันซึ่งโดยไม่มีวัสดุสังเคราะห์ร่วมด้วยจะต้องมีค่าการซึมผ่านของน้ำไม่เกิน 1×10^{-7} เซนติเมตรต่อวินาที ซึ่งจากการทดลองจะเห็นว่าสลัดจีโอเอสที่ทำการบดอัดจนได้ความหนาแน่นสูงสุด มีค่าการซึมผ่านของน้ำเท่ากับ 2.20×10^{-5} เซนติเมตรต่อวินาที ซึ่งมีค่าการซึมผ่านของน้ำเกินกว่าค่าที่กำหนดสำหรับการใช้เป็นวัสดุกันซึ่ง ดังนั้นจึงพิจารณาการใช้สลัดจีโอเอสเป็นวัสดุกลบประจำวัน (Daily cover)

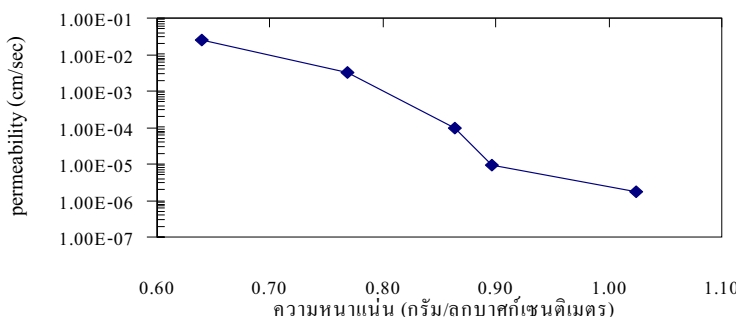
การดำเนินงานฝังกลบขยะมูลฝอยในแต่ละวันหลังจากที่บรรจุขยะในบ่อแต่ละวันแล้วจะต้องใช้วัสดุกลบประจำวันกลบบนพื้นที่ของขยะมูลฝอยก่อนที่จะฝังขยะมูลฝอยในวันต่อไป หรือระหว่างชั้นของขยะมูลฝอยหรือชั้นสุดท้ายของการฝังกลบ โดยวัสดุกลบประจำวันมีความหนา 15 เซนติเมตร (6 นิ้ว) U.S. EPA 1994 ได้ประมาณค่าของการนำดินมาใช้เป็นวัสดุกลบประจำวันว่า จะต้องใช้ดิน 0.2 ลูกบาศก์หลา (0.153 ลูกบาศก์เมตร) สำหรับกลบทับขยะพื้นที่ 1 ตารางหลา (0.836 ตารางเมตร) โดยมีความหนา 6 นิ้ว (15 เซนติเมตร) EPA Victoria 2002 ได้กล่าวถึงการคิดปริมาณของวัสดุกลบประจำวันสำหรับคำนวณการเก็บภาษีในการฝังกลบขยะไว้ว่า เนื่องจากในปัจจุบันมีวัสดุหลายชนิดที่จะนำมาใช้เป็นวัสดุกลบประจำวัน ดังนั้นการที่จะระบุค่าความหนาแน่นที่เป็นค่าเฉลี่ยแบบเฉพาะเจาะจงเป็นสิ่งที่ทำได้ก่อนข้างยากในกรณีที่ไม่มีข้อมูลที่อ้างอิงได้ก็ให้ประมาณค่าความหนาแน่นของวัสดุกลบประจำวันเท่ากับ 1.1 กรัมต่อลูกบาศก์เซนติเมตร หรือให้ใช้ค่าปริมาตรวัสดุที่ใช้เป็นวัสดุ

กลุ่มประจำวัน คือ ปริมาณของวัสดุกลุ่มประจำวันมีค่าเท่ากับ 1.4 เท่าของปริมาณของวัสดุที่ยังไม่ได้ทำการบดอัด

การที่น้ำจะไหลผ่านชั้นวัสดุกลุ่มประจำวันได้มากน้อยเพียงใดนั้น ทั้งนี้ก็จะขึ้นกับความหนาแน่นของชั้นวัสดุกลุ่มประจำวัน ถ้าชั้นวัสดุกลุ่มนี้ความหนาแน่นมากการซึมผ่านของน้ำก็จะมีค่าต่ำ และในทางตรงกันข้ามหากชั้นวัสดุกลุ่มนี้ความหนาแน่นต่ำการซึมผ่านของน้ำก็จะสูงขึ้น ซึ่งจะเห็นได้ว่าความหนาแน่นของวัสดุกลุ่มประจำวันจะมีค่ามากน้อยเพียงไรนั้นก็จะขึ้นอยู่กับคุณสมบัติของวัสดุนั้นๆ ด้วย ดังจะเห็นได้จากการทดลองการบดอัดในห้องปฏิบัติการ ดังนั้นในหัวข้อนี้จะทำการศึกษาผลของการทดสอบความหนาแน่นสลักจ์เออส ที่มีต่อค่าการซึมผ่านของน้ำ การทดสอบการซึมผ่านของน้ำในชั้นวัสดุกลุ่มประจำวัน (สลักจ์เออส) โดยในการทดลองจะกำหนดให้สลักจ์เออสที่จะใช้สำหรับเป็นวัสดุกลุ่มประจำวันมีค่าความชื้น 50 เปอร์เซ็นต์ความชื้น ทำการทดสอบค่าการซึมผ่านของน้ำด้วยวิธีระดับน้ำคงที่ (Constant Head) ทำการบรรจุสลักจ์เออสลงในอุปกรณ์ที่ใช้สำหรับหาค่าการซึมผ่านของน้ำโดยแยกผันค่าความหนาแน่นของสลักจ์เออส และจากการทดลองพบว่า ในกรณีที่ไม่ทำการบดอัดสลักจ์เออส ซึ่งมีค่าความหนาแน่นเท่ากับ 0.64 กรัมต่อสูตรบาศก์เซนติเมตร จะมีค่าการซึมผ่านของน้ำเท่ากับ 2.51×10^{-2} เชนติเมตรต่อวินาที และจากนั้นทำการเพิ่มความหนาแน่นของสลักจ์เออสให้ สูงขึ้นโดยทำการบดอัดตัวอย่างสลักจ์เออสในอุปกรณ์สำหรับหาค่าการซึมผ่านของน้ำ จากการทดสอบพบว่าเมื่อความหนาแน่นของสลักจ์เออสมีค่าสูงขึ้นค่าการซึมผ่านของน้ำก็จะมีค่าต่ำลง ดังแสดงในตารางที่ 5.2 และรูปที่ 5.7 ดังนั้นจากเส้นกราฟที่ได้จะทำให้สามารถคาดการณ์ค่าการซึมผ่านของน้ำในการใช้สลักจ์เออสที่มีปริมาณความชื้น 50 เปอร์เซ็นต์เป็นวัสดุกลุ่มประจำวันได้

ตารางที่ 5.2 ผลการทดสอบค่าการซึมผ่านของน้ำในสลักจ์เออสความชื้น 50 เปอร์เซ็นต์

ความหนาแน่น (กรัมต่อสูตรบาศก์เซนติเมตร)	ค่าการซึมผ่านของน้ำ (เชนติเมตรต่อวินาที)
0.640	2.51×10^{-2}
0.768	3.25×10^{-3}
0.864	9.53×10^{-5}
0.896	9.12×10^{-6}
1.024	1.77×10^{-6}



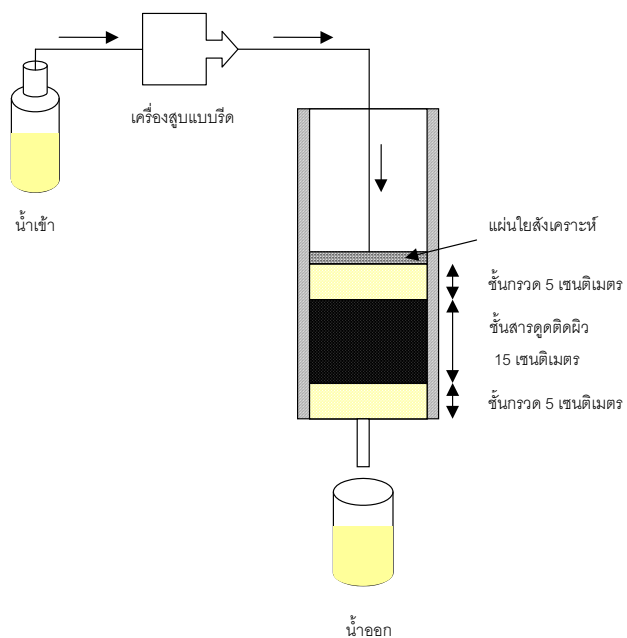
รูปที่ 5.7 ความสัมพันธ์ระหว่างความหนาแน่นกับค่าการซึมผ่านของน้ำของสลักจ์เออส

บทที่ 6

ทดสอบการคุณภาพ โลหะหนัก และสารอินทรีในน้ำขยะละลายน้ำด้วยคอลัมน์คุณภาพ

6.1 วิธีการทดลอง

การทดลองแบบต่อเนื่องเป็นการทดลองการคุณติดผิว โลหะหนักในคอลัมน์คุณติดผิวน้ำด้วยทดลอง คอลัมน์ที่ใช้ในการทดลองการคุณติดผิว เป็นคอลัมน์พิเวชนาดหน้าตัด 10 เซนติเมตร (4 นิ้ว) ความสูง 35 เซนติเมตร ดังรูปที่ 6.1 และ 6.2



รูปที่ 6.1 ส่วนประกอบของคอลัมน์คุณติดผิว



รูปที่ 6.2 คอลัมน์คุณติดผิวที่ใช้ในการทดลอง

ดินที่ใช้ในการทดลองทำการร่อนผ่านตะแกรงเบอร์ 4 (ขนาด 4.75 มิลลิเมตร) มีค่าความชื้นน้อยมาก (ประมาณ 3 เปอร์เซ็นต์) สำหรับสัดส่วนอื่นๆใช้ในการทดลองเป็นสัดส่วนที่มีความชื้น 50 เปอร์เซ็นต์ของน้ำหนักรวม และมีการปรับสภาพโดยการเติมโพลิเมอร์แล้ว ทำการร่อนผ่านตะแกรงเบอร์ 4 เช่นเดียวกับดิน ในชั้นแรกของกองลัมน์ จะทำการบรรจุกรวดประมาณ 5 เซนติเมตร เพื่อป้องกันการหลุดออกจากการคลอกลัมน์ของสารคุกคิดผิว จากนั้นเติมสารคุกคิดผิวในแต่ละกองลัมน์ จนได้ความสูง 15 เซนติเมตร ซึ่งเป็นความสูงเท่ากับสัดสูตรประจำวัน และทำการหันอีกประมาณ 5 เซนติเมตรและวางแผ่นไขสังเคราะห์ไว้บนชั้นกรวดเพื่อช่วยในการกระจายน้ำให้ไหลสม่ำเสมอทั่วพื้นที่ผิวน้ำตัดของกองลัมน์ ในครั้งแรกจะทำการเติมน้ำเปล่าประมาณ 1 ลิตร แล้วปล่อยน้ำออกทางด้านล่างของกองลัมน์ ทำการเติมน้ำเสียอย่างสม่ำเสมอตัวอย่างเครื่องสูบน้ำแบบบริก (รูปที่ 6.2)ด้วยการป้อนน้ำจะขณะลงในกองลัมน์ เท่ากับ 300 ลูกบาศก์เซนติเมตรต่อวัน ประมาณการเป็น 1.5 เท่าของปริมาณน้ำฝนเฉลี่ยต่อวันของแต่ละปีสูงสุดในช่วงปี 2538 – 2545 จังหวัดนครปฐม ซึ่งเท่ากับ 25 มิลลิเมตรต่อวัน (หรือคิดเป็นปริมาณน้ำเท่ากับ 197 ลูกบาศก์เซนติเมตรต่อวัน เมื่อคิดเป็นน้ำที่ใช้มีน้ำหนักตัด 78.54 ตารางเซนติเมตร)ในการเตรียมน้ำเสียน้ำที่ทำปรับพิเศษของน้ำจะได้ เก็บตัวอย่างน้ำที่ผ่านออกจากการคลอกลัมน์ในแต่ละวัน วิเคราะห์ปริมาณโลหะหนักที่เหลืออยู่ในน้ำจะยังคงอยู่ในกองลัมน์ ทำโดยเติม HCl (38%) 2 มิลลิลิตร และ HNO₃ (65%) 3 มิลลิลิตร ในน้ำตัวอย่าง 5 มิลลิลิตร จากนั้นนำตัวอย่างเข้าไปย่อยด้วยเครื่อง microwave digester รุ่น MLS 1200 MEGA โดยใช้โปรแกรม 11 ซึ่งเป็นโปรแกรมสำหรับการย่อยน้ำจะยังคงอยู่ เมื่อย่อยน้ำตัวอย่างเสร็จแล้วนำไปเผาปริมาณโลหะหนักด้วยเครื่อง AAS



รูปที่ 6.3 อุปกรณ์ที่ใช้ในการทดลองในกองลัมน์

การทดลองในกองลัมน์แบ่งออก 2 กลุ่ม คือการใช้สารคุกคายนิดเดียว เป็นกองลัมน์ที่บรรจุเฉพาะดิน(ความชื้น 3 เปอร์เซ็นต์)หรือเฉพาะสัดส่วน ASP (ความชื้น 50 เปอร์เซ็นต์) ได้แก่ กองลัมน์ AZ AP SZ SP และ SZP และอีกกลุ่ม เป็นการใช้สารคุกคายทั้งดินและสัดส่วน ASP ผสมกันในสัดส่วนต่างๆกัน ได้แก่ กองลัมน์ SAZP1 SAZP2 และ SAZP3 รายละเอียดแสดงอยู่ในตารางที่ 6.1 การผสมจะทำการผสมโดยน้ำหนักปีก เมื่อ ASP มีความชื้น 50 เปอร์เซ็นต์และดินมีความชื้น 3 เปอร์เซ็นต์

ตารางที่ 6.1 รายละเอียดของคอลัมน์ดูดติดผิวที่ใช้ในการทดลอง

พารามิเตอร์	คอลัมน์							
	AZ	AP	SZ	SP	SZP	SAZP1	SAZP2	SAZP3
สัดส่วน ดิน ต่อ ASP ¹	0 : 1	0 : 1	1 : 0	1 : 0	1 : 0	0.85 : 0.15	0.7 : 0.3	1 : 1
ความสูงของสารดูดติดผิว (ซม.)	15	15	15	15	15	15	15	15
น้ำหนักของสารดูดติดผิว (กรัม.นปีขก)	760	760	1300	1300	2050	1600	1500	1300
ปริมาตรของสารดูดติดผิว (ลบ. ซม.)	1178	1178	1178	1178	1178	1178	1178	1178
ความหนาแน่น (กรัม/ลบ.ซม.)	0.65	0.65	1.10	1.10	1.74	1.36	1.27	1.10
พื้นที่หน้าตัดของคอลัมน์ (ตร. ซม.)	78.54	78.54	78.54	78.54	78.54	78.54	78.54	78.54
โลหะหนักในน้ำระบายน้ำ								
สังกะสี (มก./ล.)	20	-	20	-	20	20	20	20
ตะกั่ว (มก./ล.)	-	2	-	2	2	2	2	2

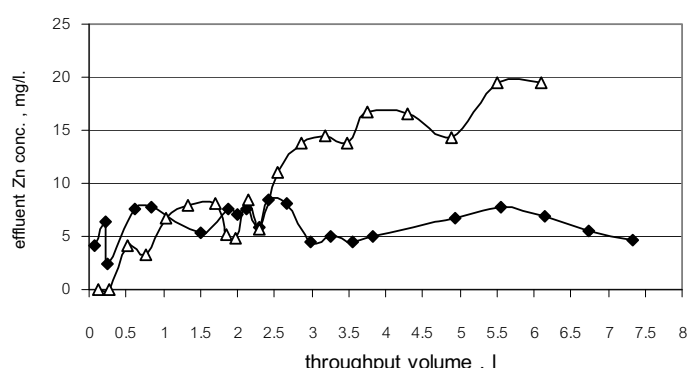
หมายเหตุ ¹ สัดส่วนผสมเป็นน้ำหนักแห้ง

6.2 ผลการทดลอง

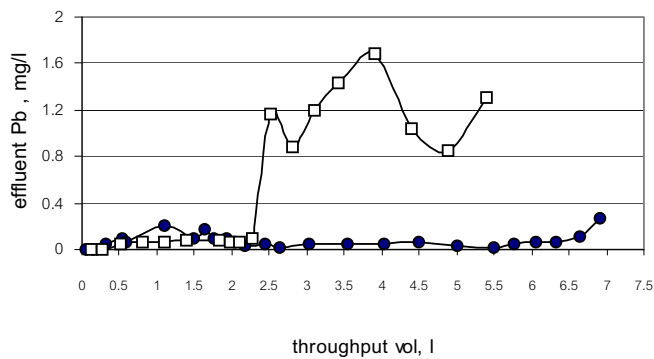
6.2.1 สารดูดซับชนิดเดียว

6.2.1.1. โลหะหนัก

จากผลการศึกษา adsorption isotherm ในบทที่ 4 พบว่าสัดส่วน ASP มีความสามารถในการดูดซับดีกว่าดิน และสารดูดซับทั้งสองดูดซับต่ำกว่าได้ดีกว่าสังกะสี ซึ่งในการทดลองในคอลัมน์ที่ให้ผลเร่งเดียวกัน ดังแสดงในรูป 6.4 และ 6.5 พบว่าเมื่อединเป็นสารดูดซับจะถึง breakthrough เร็วกว่า (In การทดลองนี้แม้นจะใช้น้ำระบายน้ำประมาณ 1 เดือน โดยอัตราป้อนประมาณ 300 มล./วัน ก็ยังไม่พบ breakthrough ของสัดส่วน ASP ทั้งโลหะตะกั่ว และสังกะสี) และทั้งดินและสัดส่วน ASP ความเข้มข้นของตะกั่วในน้ำออกจะเหลือในปริมาณที่ต่ำกว่าสังกะสี



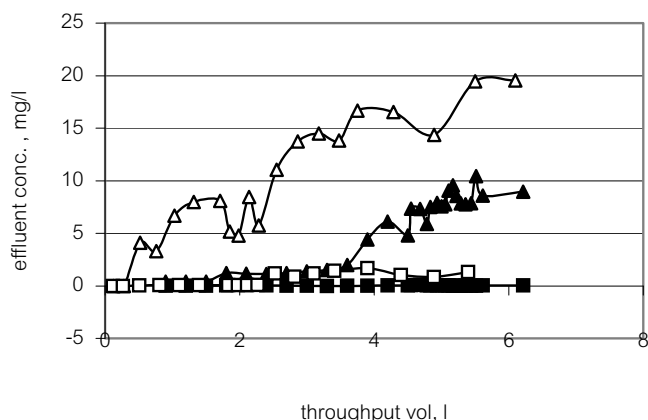
รูปที่ 6.4 แสดงความสัมพันธ์ของความเข้มข้นสังกะสีในน้ำออกกับ ปริมาณน้ำออกสะสม \blacklozenge ในคอลัมน์ AZ \triangle ในคอลัมน์ SZ



รูปที่ 6.5 แสดงความสัมพันธ์ของความเข้มข้นตะกั่วในน้ำออกกับ ปริมาณน้ำออก

สาร —●— ในคอลัมน์ AP —□— ในคอลัมน์ SP

สำหรับในคอลัมน์ SZP ชั้งบรรจุดินเพิ่มขึ้นจาก 1300 กรัม ใน SZ และ SP เป็น 2050 กรัม พบร่วมกับปริมาตรเบรคทูกรฟีโลหะเป็นสังกะสีมีค่าเพิ่มขึ้นจากประมาณ 2 ลิตร เป็น 3.5 ลิตร ดังแสดงในรูปที่ 6.6 แต่ยังไม่พบร่วมกับปริมาตรเบรคทูกรฟีโลหะของตะกั่ว อย่างไรก็ได้สำหรับคอลัมน์ดิน 2050 กรัมหรือความหนาแน่น 1.74 ก./ลบ.ซม. มีการป้อนน้ำได้เพียงอัตราการป้อนเฉลี่ย 50 มล./วัน

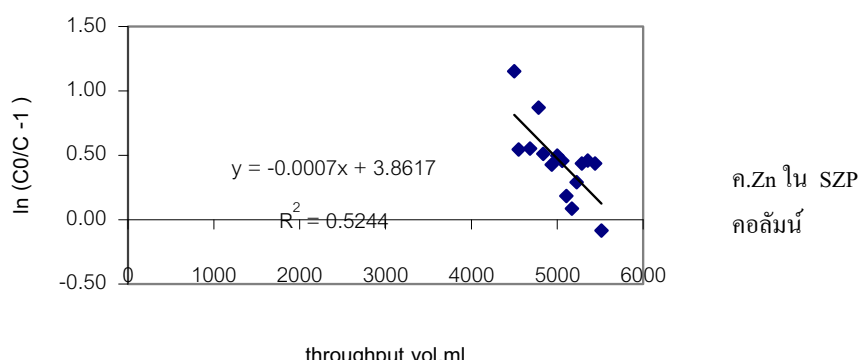
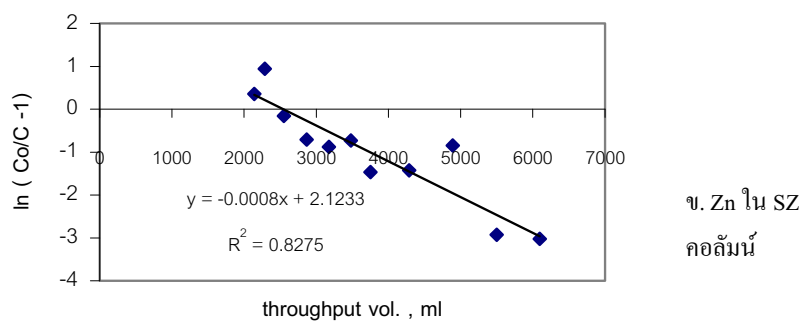
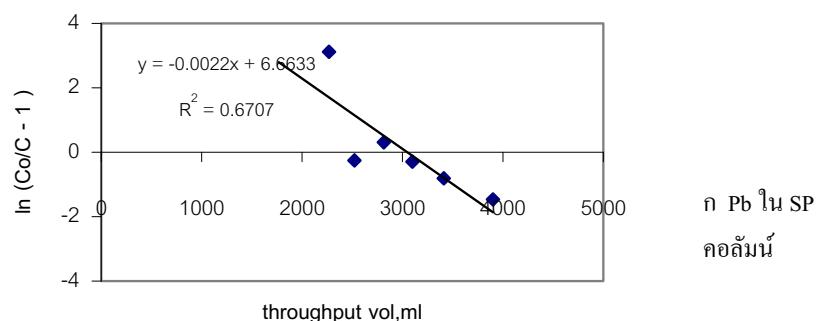


รูปที่ 6.6 แสดง ความเข้มข้นของโลหะในน้ำออกสัมพันธ์กับปริมาณน้ำออกในคอลัมน์ที่ใช้สารดูดซับเป็นดินอย่างเดียว เมื่อ Δ Zn ใน คอลัมน์ SZ (Pb ในคอลัมน์ SP \blacktriangle Zn ใน คอลัมน์ SZP. ■ Pb ใน คอลัมน์ SZP

นอกจากนี้ยังได้ใช้สมการจอนศาสตร์ของ Thomas ดังสมการ 6.1 มาคำนวณค่าคงที่ k (แสดงไว้ในตารางที่ 6.2)

$$\ln\left(\frac{C_0}{C_e} - 1\right) = \frac{kXM}{Q} - \frac{kC_0V}{Q} \quad 6.1$$

เมื่อ k = อัตราการดูดติดพิวเป็นค่าคงที่; ลิตร/มิลลิกรัม-ชั่วโมง



รูปที่ 6.7 ความสัมพันธ์เป็นเส้นตรงของสมการเบรคท์ Thomas ของ คอลัมน์ดิน

ตารางที่ 6.2 ค่าคงที่ของการดูดติดผิวจากสมการของ Thomas สำหรับการดูดติดผิวโลหะสังกะสีและตะกั่วด้วยดิน

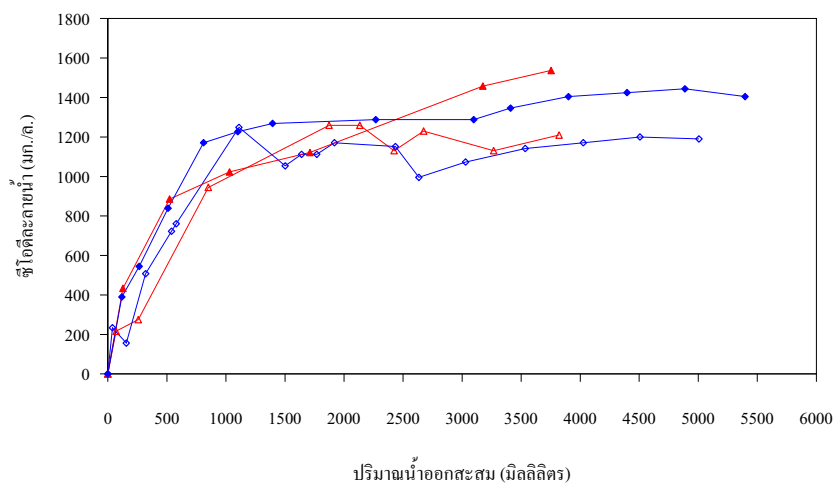
คอลัมน์	สมการ	R^2	k	X
Zn-SZ	$\ln(Co/C - 1) = (0.495 \times 10^{-3} m/Q) - (0.0117 CoV/Q)$	0.8275	0.0117	0.0423
Pb-SP	$\ln(Co/C - 1) = (1.553 \times 10^{-3} m/Q) - (0.3173 CoV/Q)$	0.6707	0.3173	0.0049
Zn-SZP	$\ln(Co/C - 1) = (8.4 \times 10^{-5} m/Q) - (0.0015 CoV/Q)$	0.55	0.0015	0.0565

หมายเหตุ Co คือ ปริมาณของโลหะในน้ำแข็งที่เข้าสู่คอลัมน์; มิลลิกรัมต่อลิตร
 C คือ ปริมาณของโลหะในน้ำออกของคอลัมน์; มิลลิกรัมต่อลิตร
 V คือ ปริมาตรน้ำออกสะสม; มิลลิลิตร
 M คือ ปริมาณของสารดูดติดผิว; กรัม
 Q คือ อัตราการไหลของน้ำเข้าสู่คอลัมน์; มิลลิลิตรต่อวัน
 X คือ ปริมาณโลหะที่ถูกดูดติดผิวต่อน้ำหนักของสารดูดติดผิว; มิลลิกรัมต่อกรัม
 k คือ อัตราของการดูดติดผิวในคอลัมน์; ลิตรต่อมิลลิกรัม-วัน

ซึ่งค่าคงที่เหล่านี้สามารถนำไปใช้ในการวิเคราะห์การหมดสภาพของดินในการดูดซับโลหะสังกะสีและตะกั่วจากน้ำแข็งต่อไป

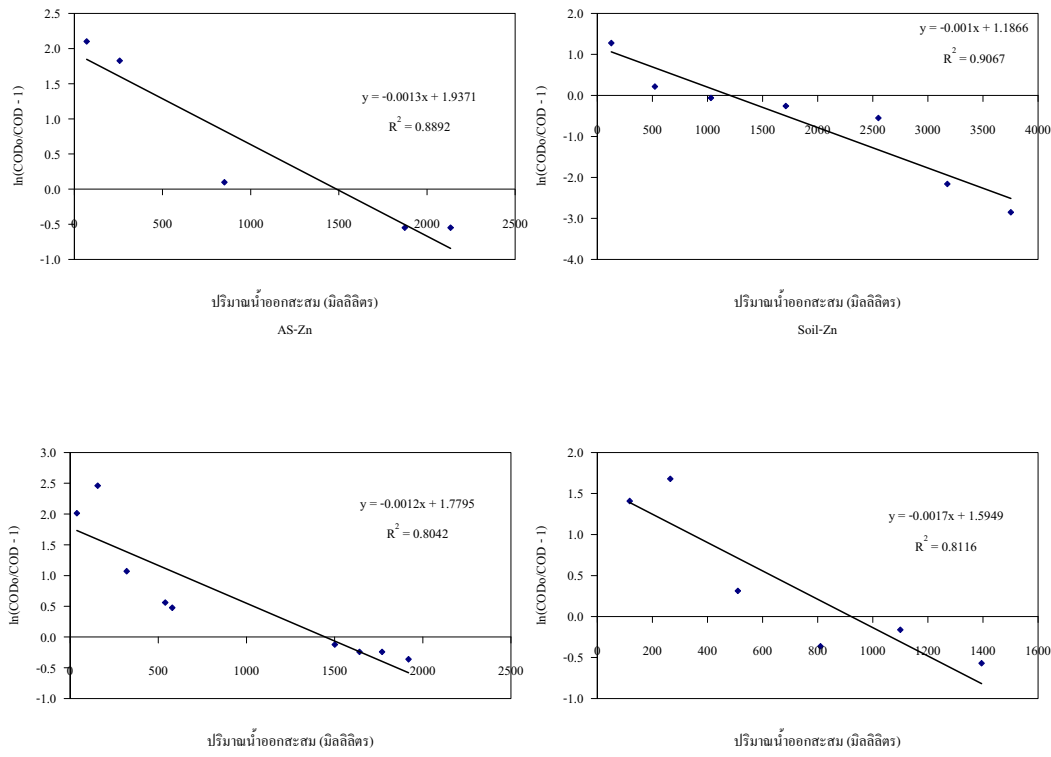
6.2.1.2 สารอินทรีย์ในรูปชีโอดี

ทำการศึกษาผลของการนำน้ำแข็งที่เข้าสู่คอลัมน์โดยที่น้ำแข็งที่เข้าคอลัมน์มีค่าชีโอดีประมาณ 1987 มิลลิกรัมต่อลิตร เมื่อนำผลของชีโอดีในน้ำออกมาเพลิดตระหง่านความเข้มข้นของชีโอดีที่ออกจากคอลัมน์ กับปริมาณน้ำออกสะสม จากการทดลองพบว่าชีโอดีในที่ออกจากคอลัมน์ในช่วงแรกจะมีค่าต่างจากนั้นจะมีสูงขึ้นเรื่อยๆ เมื่อระยะเวลาเพิ่มขึ้น ดังแสดงในรูปที่ 6.8



รูปที่ 6.8 แสดงความสัมพันธ์ระหว่างชีโอดีของน้ำออกกับปริมาณน้ำออกสะสม

เมื่อคุณแนวโน้มของการบำบัดซึ่งໂອດีโดยทำการเปรียบเทียบระหว่างคอกลัมน์ AZ กับคอกลัมน์ SZ และ ระหว่างคอกลัมน์ AP กับคอกลัมน์ SP ซึ่งเป็นน้ำเสียชนิดเดียวกัน พบว่าผลของซึ่งໂອดีในน้ำที่ออกมีค่าไกส์เดียวกัน โดยที่ค่าซึ่งໂອดีที่ออกจากการคอกลัมน์ของคินมีสูงกว่าเล็กน้อย จากการทดลองของธิดารัตน์ 2543 พบว่าคินมีความสามารถในการบำบัดซึ่งໂອดีและสีของน้ำจะหายได้ ผลจากการทดลองนี้ซึ่งเป็นการใช้คินจากชุดคินเดียวกันจึงเป็นการยืนยัน ผลของการใช้คินบำบัดซึ่งໂອดีจากน้ำจะหายได้ เมื่อพิจารณาผลของการบำบัดซึ่งໂອดีของสลัดด้จ่อเอกสารแห่งนี้ได้ ว่าซึ่งໂອดีในน้ำที่ออกมีค่าน้อยกว่าในคอกลัมน์คิน ทั้งๆ ที่สลัดด้จ่อ Osman ประเมินปริมาณอินทรียاقتฤทธิ์สูงกว่าคิน ดังนั้นการที่นำเอาสลัดด้จ่อ Osman ใช้สำหรับการบำบัดซึ่งໂອดีจึงมีประสิทธิภาพที่ดีกว่าเดียวกับการใช้คิน ทำการศึกษาการกำจัดซึ่งໂອดีด้วยคอกลัมน์คินและคอกลัมน์สลัดด้จ่อ Osman โดยใช้สมการจานวนศาสตร์การคูดัดคิดพิวในคอกลัมน์ซึ่งเสนอโดย Thomas (สมการที่ 6.1) มาใช้ในการวิเคราะห์ข้อมูลในคอกลัมน์คิน โดยนำข้อมูลที่ได้จากการทดลองมาพล็อต ระหว่าง $\ln [(\text{COD}_o / \text{COD}) - 1]$ กับ V จะได้สมการเส้นตรงที่มีค่าความชันเท่ากับ $k_1 \text{COD}_o / Q$ และจุดตัดแกน y เท่ากับ $k_1 X_m / Q$ ดังแสดงในรูปที่ 6.9 และแสดงค่าคงที่ต่างๆ ดังตารางที่ 6.3



รูปที่ 6.9 การหาสมการจลนศาสตร์ของ Thomas ในการกำจัดซีโอดีในกอลงมั่นคุณติดผิว

ตารางที่ 6.3 ค่าคงที่ของการดูดติดผิวจากสมการของ Thomas สำหรับการกำจัดซีโอดีในกอลัมน์สลัดเจ้ออส และ กอลัมน์คิน

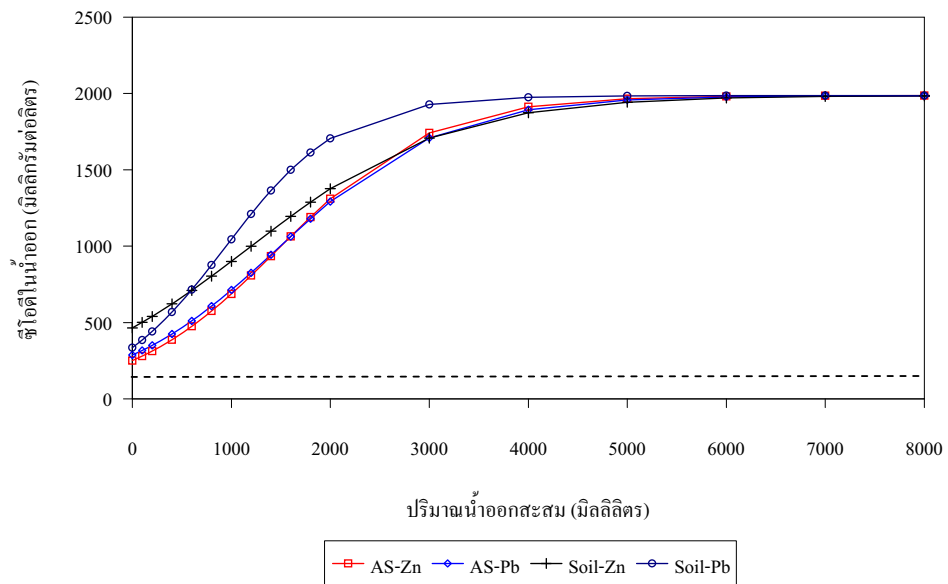
กอลัมน์	สมการ		R^2	k_1	Xc
AS-Zn	$\ln(CODo/COD - 1) = (1.530m/Q) - (1.964 \times 10^{-4} CODoV/Q)$		0.8892	1.964×10^{-4}	7.788
AS-Pb	$\ln(CODo/COD - 1) = (1.405m/Q) - (1.813 \times 10^{-4} CODoV/Q)$		0.8042	1.813×10^{-4}	7.750
Soil-Zn	$\ln(CODo/COD - 1) = (0.274m/Q) - (1.511 \times 10^{-4} CODoV/Q)$		0.9067	1.511×10^{-4}	1.813
Soil-Pb	$\ln(CODo/COD - 1) = (0.368m/Q) - (2.568 \times 10^{-4} CODoV/Q)$		0.8116	2.568×10^{-4}	1.433

หมายเหตุ

CODo	คือ	ซีโอดีของน้ำระบายน้ำที่เข้าสู่กอลัมน์; มิลลิกรัมต่อลิตร
COD	คือ	ซีโอดีของน้ำออกของกอลัมน์; มิลลิกรัมต่อลิตร
V	คือ	ปริมาตรน้ำออกสะสม; มิลลิลิตร
m	คือ	ปริมาณของสารดูดติดผิว; กรัม
Q	คือ	อัตราการไหลของน้ำเข้าสู่กอลัมน์; มิลลิลิตรต่อวัน
Xc	คือ	ซีโอดีที่ถูกกำจัดต่อน้ำหนักของสารดูดติดผิว; มิลลิกรัมต่อกิโลกรัม
k_1	คือ	อัตราของการดูดติดผิวสำหรับการกำจัดซีโอดี; ลิตรต่อมิลลิกรัมซีโอดี-วัน

เมื่อนำสมการการหาเวลาเบรคทรู ด้วยวิธี kinetic approach ที่แสดงในตาราง 6.3 มาพล็อตเพื่อหาเส้นโก้งเบรคทรู (breakthrough curve) จะได้ดังรูปที่ 6.10 จากเส้นโก้งเบรคทรูของการกำจัดซีโอดีในกอลัมน์จะเห็นได้ว่าใน กอลัมน์สลัดเจ้ออส จะมีระยะเวลาของเวลาเบรคทรู (breakthrough time) ที่นานกว่าในกอลัมน์คินเพียงเล็กน้อยเท่านั้น สำหรับเวลาเบรคทรูจะพิจารณาที่ค่าซีโอดีของน้ำออกเท่ากับ 120 มิลลิกรัมต่อลิตร ตามมาตรฐานน้ำทิ้งจากโรงงานอุตสาหกรรม ซึ่งจากการทดลองพบว่าเส้นโก้งเบรคทรูที่ได้จากทดลองทั้งหมดมีค่าซีโอดีสูงกว่ามาตรฐาน จากสมการจานพาณิชย์สามารถหาเวลาที่กอลัมน์จะหมดประสีทิพิภาพในการกำจัดซีโอดีจากเส้นโก้งเบรคทรูได้ ดังนี้ จากการคำนวณจะได้ว่าในสลัดเจ้ออสจะหมดประสีทิพิภาพในการกำจัดซีโอดีสำหรับกอลัมน์ Az เท่ากับ 10.6 วัน (ปริมาณน้ำออกสะสมเท่ากับ 3180 มิลลิลิตร) และในกอลัมน์ AP เท่ากับ 11.03 วัน (ปริมาณน้ำออกสะสมเท่ากับ 3310 มิลลิลิตร) และดินจะหมดประสีทิพิภาพในการกำจัดซีโอดีสำหรับกอลัมน์ SZ เท่ากับ 11.27 วัน (ปริมาณน้ำออกสะสมเท่ากับ 3380 มิลลิลิตร) และในกอลัมน์ SP เท่ากับ 7.43 วัน (ปริมาณน้ำออกสะสมเท่ากับ 2230 มิลลิลิตร)

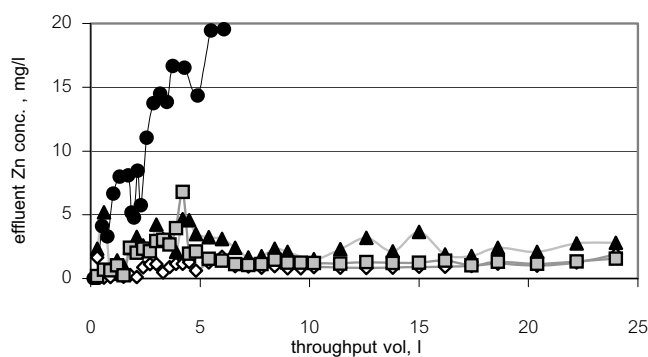
จะเห็นได้ว่าถึงแม้ว่าน้ำระบายน้ำที่ผ่านออกจากกอลัมน์จะมีค่าซีโอดีที่สูงกว่าค่ามาตรฐานกำหนดไว้เท่ากับ 120 มิลลิกรัมต่อลิตร แต่ถึงอย่างไรก็ตามคินและสลัดเจ้ออสก็จะมีส่วนช่วยในการกำจัดซีโอดีในน้ำระบายน้ำได้ส่วนหนึ่ง ซึ่งหากมีการนำเอาสลัดเจ้ออสไปใช้เป็นประโยชน์ในการช่วยลดซีโอดีของน้ำระบายน้ำจะช่วยก่อนเข้าสู่ระบบบำบัดน้ำเสียได้



รูปที่ 6.10 เส้นโค้งเบรคทรูของการกำจัดซีโอดีในคอลัมน์

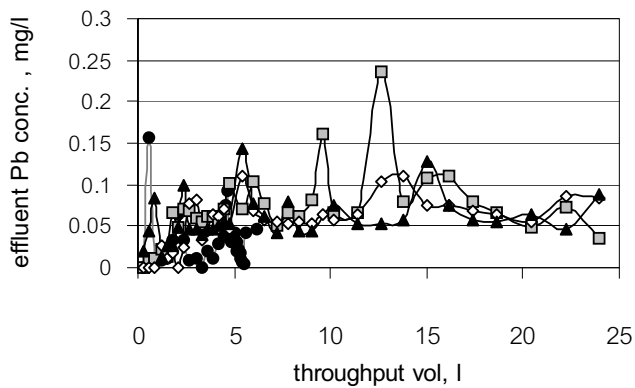
6.2.2 สารดูดซับพสมดินและสักดี้เจ้ออส

การทดลองใช้สักดี้เจ้ออสที่ใส่โพลีเมอร์ (ASP) พสมดินในลักษณะก้อนให้หัวตามสัดส่วนก่อนบรรจุลงในคอลัมน์ สัดส่วน ดิน ต่อ ASP ที่ใช้เท่ากัน 0.85 : 0.15, 0.7:0.3 และ 1:1 ในคอลัมน์ SZP 1 , SZP 2 และ SZP 3 ตามลำดับ ส่วนน้ำชะบะจะมีสังกะสี 20 มก./ล. และตะกั่ว 2 มก./ล. นำผลการทดลองมาเปรียบเทียบกับคอลัมน์ที่บรรจุดินอย่างเดียว ได้ผลแสดงในรูปที่ 6.11 และ 6.12 สำหรับสังกะสีและตะกั่วตามลำดับ



รูปที่ 6.11 แสดงความเข้มข้นของสังกะสีที่ออกจากการคอลัมน์กับปริมาตรน้ำที่ผ่านคอลัมน์

- SZP คอลัมน์ ■ SZP1 คอลัมน์ (ดิน:ASP 0.85:0.15) ◇ SZP2 คอลัมน์ (ดิน:ASP 0.7:0.3) ▲ SZP3 คอลัมน์ (ดิน:ASP 1:1)



รูปที่ 6.12 แสดงความเข้มข้นของตะกั่วที่ออกจากคอลัมน์กับปริมาตรน้ำที่ผ่านคอลัมน์

● SZP คอลัมน์ ■ SAZP1 คอลัมน์ (ดิน:ASP 0.85:0.15) ◇ SAZP2 คอลัมน์ (ดิน:ASP 0.7:0.3) ▲ SAZP3 คอลัมน์ (ดิน:ASP 1:1)

จากรูป 6.11 และ 6.12 พบว่ากรณีที่ใช้ดินอย่างเดียวปริมาตร เบրคทูของโลหะสังกะสีจะเกิดที่ประมาณ 3 ลิตร ในขณะที่ดินผสมสัดส่วน ASP แม่เพียง 15 เปอร์เซ็นต์ ก็ยังสามารถรับน้ำยะชั่งมีสังกะสี 20 มก./ล. และตะกั่ว 2 มก./ล. โดยยังไม่เกิดการเบรคทู และสำหรับตะกั่วซึ่งปริมาตรน้ำผ่านคอลัมน์ถึง 25 ลิตรหรือการทดลอง 83 วัน ยังไม่พบการเบรคทูเกิดขึ้น ซึ่งสอดคล้องกับการศึกษา adsorption isotherm ในบทที่ 4 ซึ่งผลแสดงไว้ว่าตะกั่วจะถูกดูดซับได้ดีกว่าสังกะสี และปริมาณสังกะสีสูงถึง 15 เท่าของตะกั่ว ที่ไม่มีผลต่อการดูดซับตะกั่ว

นอกจากนี้ได้ทำการคำนวณปริมาตรน้ำไหหลอดผ่านเบรคทู แสดงในตารางที่ 6.4 โดยให้สารดูดซับทั้งสองมีการจัดเรียงเป็นชั้นไม่ผสมกัน ให้ดินอยู่ชั้นล่างและให้เส้นเบรคทูเกิดขึ้นที่ชั้นดินคำนวนปริมาตรเบรคทูจากขั้นตอนการ ไหหลอดในคอลัมน์ดังสมการ 6.1 ส่วนสัดส่วน ASP ซึ่งอยู่ชั้นบนถูกใช้งานเต็มความสามารถคำนวน ปริมาตรเบรคทูจากสมการการดูดซับสมบูรณ์ (adsorption isotherm) ดังสมการ 4.1 ในบทที่ 4 จะพบว่าการเกิดการเบรคทูของสังกะสีในคอลัมน์ SAZP1 และ SAZP2 แต่ไม่พบในการทดลองที่ใช้วิธีผสมสารดูดซับทั้งสองถึงแม้จะคำนวณปริมาตรน้ำผ่าน 25 ลิตรแล้วก็ตาม

ตารางที่ 6.4 ปริมาตรน้ำเบรคทูจากการคำนวณเมื่อบรรจุสารดูดซับแบบจัดเรียงไม่ผสม

คอลัมน์	มวลรวม กรัม น.น.เปรียก	น้ำหนักแห้ง กรัม		ปริมาตรน้ำเบรคทู, ลิตร					
		ดิน	ASP	ดิน		ASP		รวม	
				Zn	Pb	Zn	Pb	Zn	Pb
SAZP1	1600	1156.1	204.1	1.036	1.44	7.91	386	8.95	387
SAZP2	1500	847.8	363	0.384	0.683	14.07	687	14.45	687
SAZP3	1300	237.7	527.5	-	-	20.45	999	20.45	999

หมายเหตุ ดินมีความชื้นร้อยละ 3 และ สัดส่วน ASP มีความชื้น ร้อยละ 50

บทที่ 7

ประโยชน์ในการนำมาใช้งาน

งานศึกษาในเรื่องการใช้ประโยชน์ของ สลัดจ์โอເອສເຫຼື້ອທີ່ຈາກຮະບວນການນຳບັດແບບແອກຕົວເຕີດສລັດຈີ່ ທັງ
ເຮື່ອການໃຊ້ເປັນສາຣຸດຊັບ (adsorbent) ອີ່ອການເປັນວັສຄຸດໜັດຝຶກລົບ(landfill liner) ອີ່ວັສຄຸດລົບປິດ (landfill
cover) ອີ່ວັສຄຸດລົບປະຈຳວັນ (daily cover) ສ່ວນໃໝ່ໄໝໄດ້ເປັນການໃຊ້ສລັດຈີ່ເອສໂຄຍຕຽງ ເຊັ່ນ ການນຳສລັດຈີ່ເອ
ເອສເຫາໃນແຕ່ປິດ ລັກການເພາພວວ່າມີຄໍາການສົມຜ່ານນໍ້າ ເທົ່າກັບ 1.15×10^{-7} ເມຕຣ/ວິນາທີ ສາມາດໃຊ້ເປັນວັສຄຸດໜັດຝຶກລົບ
(Okoli และ Balafoutas 1998) ຈາກຂອງ Benson ແລະ Othman 1993 ໄດ້ກົດສອນຄໍາການສົມຜ່ານນໍ້າຂອງປູ້ຢ່ານກົບດ
ອັດທີ່ໄດ້ຈາກຍະໜຸນຜສນສລັດຈີ່ເອສພນວ່ານີ້ຄ່າ 2×10^{-10} ເມຕຣ/ວິນາທີ ໃຊ້ເປັນວັສຄຸດໜັດຝຶກລົບໄດ້ ແລະມີຄໍາ
shear strength ສູງກວ່າດິນເໝາະສໍາຫຼວກການໃຊ້ເປັນວັສຄຸດລົບເມື່ອມີການເຫັນຍະບັນລາດ Tay ແລະຄອນະ 2001 ສຶກຍາ
ການພົມດຳລັດຄ່າກົມັນຕ່າງສລັດຈີ່ເອສຮ່ວມກັບຄະລາມະພ້າວ້າ ສ່ວນ Lin ແລະຄອນະ 2003 ໄດ້ເສັນການນຳມີດສລັດຈີ່ເອ
ເອສ (aerobic granules) ແທນການໃຊ້ສລັດຈີ່ເອສຈາກຮະບວນການນຳບັດແບບແຫວນລອຍຫ່ວ້າໄປເປັນສາຣຸດຊັບ
ເນື່ອຈາກມີດສລັດຈີ່ມີໂຄຮງສ້າງທີ່ແທັງແຮງກວ່າເໝາະກັນການປະຍຸກຕິໃຊ້ງານຈິງນາກວ່າ

ສໍາຫຼວກການສຶກຍານີ້ພົບວ່າ ສລັດຈີ່ເອສນັ້ນມີຄວາມສາມາດໃນການນຳບັດ ໂລ້າຫັນກັນໃນນໍ້າຂະບະໄດ້ດີກວ່າດິນທັງໃນ
ກາຣທດລອງແບບກະແລກທດລອງໃນຄອລັນນີ້ຄຸດຕິຄິວ ແຕ່ເນື່ອງຈາກຄໍາການສົມຜ່ານນໍ້າຂັ້ງສູງກວ່າຄໍາກຳຫັດໃນການ
ໃຊ້ເປັນວັສຄຸດ ດັ່ງນັ້ນປະໂຍ້ນການໃຊ້ຈິງເໝາະກັນການໃຊ້ເປັນວັສຄຸດລົບທັນປະຈຳວັນໃນການຝຶກລົບຍະ ອີ່ວັສ
ການຝຶກລົບສລັດຈີ່ເອສຮອງພື້ນໃນແຕ່ລະວັນກ່ອນບະຫຸນຫຼຸນທັ່ວໄປ

ຍະຈາກຫຸນຫຼຸນໂດຍທັ່ວໄປແລ້ວ ໂລ້າຫັນກັນທີ່ພົບນັ້ນມີອູ້ໃນປຣິມາພົມທີ່ນ້ອຍມາກໂດຍທີ່ມີໜິນິດແລະປຣິມາພົມຂອງໂລ້າຫ
ໜັກທີ່ພົບແຕກຕ່າງກັນໃນແຕ່ລະຫຸນຫຼຸນ ທັງນີ້ເປັນອູ້ກັບພຸດທິກຣິມຂອງປຣິມາພົມໃນຫຼຸນຫຼຸນນັ້ນໆ ໄນວ່າຈະເປັນເຮື່ອງຂອງ
ກາຣຄັດແຍກຍະກ່ອນທີ່ຮ່ວມທີ່ກາຣຄັດແຍກຍະກ່ອນທຳກາຣກໍາຈັດຂອງໜ່ວຍງານກໍາຈັດຍະນູລົດຍ ແຕ່ລຶ່ງອ່າງໄຮກ໌
ດາມໃນການຕຽບຕັບຄຸນກາພົມນໍ້າຂະບະທີ່ອອກຈາກຮະບນຝຶກລົບກີ່ຍັງຄົງພວວ່າມີປຣິມາພົມຂອງໂລ້າຫັນປະປັນອູ້ນ້ຳ
ຈາກລັກຍະສົມນັດຂອງນໍ້າຂະບະຈາກປຣິມາພົມນໍ້າຂະບະທີ່ອອກຈາກຮະບນຝຶກລົບກີ່ຍັງຄົງພວວ່າມີປຣິມາພົມຂອງໂລ້າຫັນປະປັນອູ້ນ້ຳ
ພວວ່າຄໍາກວາມເຫັນຂຶ້ນຂອງໂລ້າຫັນສັງກະສົ່ງຈີ່ມີຄ່າອູ້ໃນຂ່າງ 0.22 – 370 ມກ./ລ ແລະ ໂລ້າຫັນຕໍ່ກໍມີກວາມເຫັນຂຶ້ນອູ້
ໃນຂ່າງ 0.01 – 2 ມກ./ລ.

ตารางที่ 7.1 ลักษณะสมบัติของน้ำชาขยะจากประเทศต่างๆ [(Lema และคณะ 1988)]

From	Age_a	Zn	Mn	Ni	Cr	Cu	Pb	Cd
Lysimeter	Y	170	24.0	0.42	8.40	0.08	1.6	0.45
The Netherlands	Y	26.0	-	0.43	0.32	0.3	0.12	0.02
United Kingdom	Y	21.5	26.5	0.57	0.56	0.12	0.4	0.03
France	Y	34.2	38.5	6.11	-	0.15	0.92	-
Canada	Y	5.04	-	1.08	-	0.19	-	0.1
Spain	Y	0.53	7.6	0.5	0.57	0.19	0.45	-
Lysimeter	MA	38.0	10.0	0.02	0.2	0.05	0.04	0.08
Canada	MA	0.22	-	0.01	-	0.11	-	0.02
Canada	MA	0.18	3.24	-	0.12	0.02	0.08	0.02
United Kingdom	O	0.37	2.15	0.09	0.04	0.03	0.14	0.01
Canada	O	0.19	-	-	-	0.05	-	0.01
France	O	0.22	0.45	0.18	-	0.12	0.01	-
Spain	O	0.56	0.4	0.5	0.23	0.14	0.17	-
Lysimeter	-	2.65	74.0	2.0	0.4	-	-	0.2
Lysimeter	-	27.0	9.5	0.08	0.08	-	0.03	0.22
Brazil	-	10.4	15.2	-	0.75	0.29	0.68	0.06
Brazil	-	6.3	2.4	-	0.41	0.14	0.58	-
U.S.A.(Range)	-	370	125	-	-	10	2.0	17
U.S.A./Italy (Range)	-	135	-	-	-	9.0	2.0	0.05

ตัวอย่างการดำเนินการ

ต้องการทราบปริมาณน้ำชาขยะที่รับได้โดยที่น้ำชาขยะเมื่อผ่านวัสดุกลบประจำวันมีความเข้มข้นไม่เกิน มาตรฐานน้ำทึบ (สังกะสี 5 มก./ล. และต่ำกว่า 0.1 มก./ล.) ในพื้นที่เทศบาลนครปฐม

ข้อมูล

1. น้ำชาขยะ

- 1.1 จากตาราง 7.1 จึงกำหนดใช้ความเข้มข้นของสังกะสีเท่ากับ 20 มิลลิกรัมต่อลิตร และความเข้มข้นของตะกั่วเท่ากับ 2 มิลลิกรัมต่อลิตร ในน้ำชาขยะ (เป็นปริมาณสูงสุดที่ต้องสมมุติฐานไว้)
- 1.2 อัตราการไหลของน้ำชาขยะต่อวัน เนื่องจากเปลี่ยนแปลงตามปริมาณฝนตก จึงใช้เป็น 1.5 เท่าของปริมาณน้ำฝนเฉลี่ยต่อวันของแต่ละปีสูงสุดในช่วงปี 2538 – 2545 ในจังหวัดนครปฐม(25 มิลลิเมตรต่อวัน)

2. ข้อมูลของฝอย

2.1 ปริมาณของฝอย ใช้ข้อมูลของฝอยของเทศบาลนครปฐม ในปี พ.ศ. 2538 มีปริมาณเท่ากับ 126 ตันเปียกต่อวัน สามารถเก็บบนและกำจัดได้ ประมาณ 100 ตันเปียกต่อวัน (กรมควบคุมมลพิษ 2542)

2.2 ขยะมีความหนาแน่น 550 กิโลกรัมเปียกต่อถูกนาศก์เมตร

3 ข้อมูลการฝังกลบ

กำหนดให้ขยะมีชั้นความสูงเท่ากับ 3 เมตร มีวัสดุกลบผิวประจำวันหนา 15 เซนติเมตร

4. วัสดุกลบผิวประจำวัน

ดิน ความชื้นร้อยละ 3 ความหนาแน่นเท่ากับ 1.092 กรัมต่อถูกนาศก์เซนติเมตร (น้ำหนักแห้ง)

สัดส่วนของสารก่อการระคายเคืองและการใส่สาร โพลีเมอร์ ASP ความชื้นร้อยละ 50 ความหนาแน่นเท่ากับ 0.3225 กรัมต่อถูกนาศก์เซนติเมตร (น้ำหนักแห้ง)

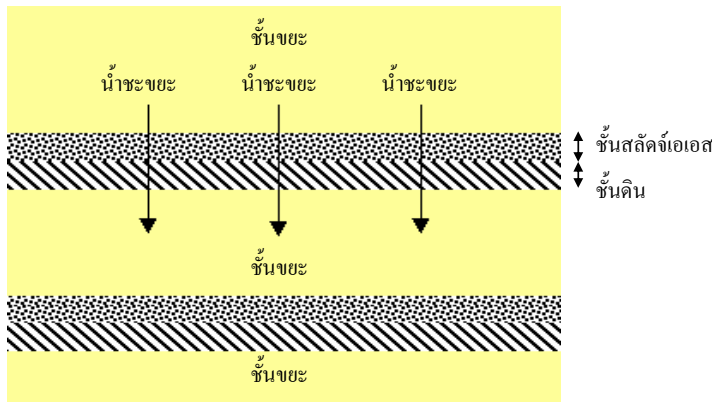
จากข้อมูลความหนาแน่นและปริมาณของฝอยที่ฝังกลบท่อวัน ทำให้ทราบปริมาตรของ และเมื่อฝังกลบมีความสูง 3 เมตร จะมีพื้นที่ที่ต้องกลบโดยวัสดุกลบประจำวัน 61 ตารางเมตรในความหนา 15 เซนติเมตร
จากข้อมูลของปริมาณน้ำฝนที่ $1.5 \times 25 = 37.5$ มิลลิเมตรต่อวันหรือ 3.75×10^{-2} เมตรต่อวัน และสมมุติฐานว่า น้ำจะระบายเกิดจากการระบายน้ำที่หลุมฝังกลบนั้นยังไม่ได้ทำการปิดหลุม จะได้อัตราการไหลของน้ำจะระบายที่เกิดขึ้นสูงสุดต่อหนึ่งหน่วยฝังกลบ (Cell) เท่ากับ $3.75 \times 10^{-2} \times 61 = 2.3$ ถูกนาศก์เมตรต่อวัน

แนวคิดในการใช้สัดส่วนของสารก่อการระคายเคืองในการฝังกลบ

การใช้สัดส่วนของสารก่อการระคายเคืองในการฝังกลบ อาจทำได้ 2 วิธี

1. ใช้เป็นวัสดุกลบทับประจำวัน
2. เทกลบสัดส่วนของสารก่อการระคายเคืองอ่อนโยนในแต่ละวัน

ในการใช้วัสดุกลบทับประจำวัน ถ้าใช้ดินเพียงอย่างเดียวจะพบว่าดินมีความสามารถในการลดโลหะหนักได้น้อย ดังนั้นการดำเนินงานจึงอาจใช้สัดส่วนของสารก่อการระคายเคืองในการฝังกลบโดยหัวดินเป็นชั้นบนวัสดุกลบ เพราะเนื่องจากสัดส่วนของสารก่อการระคายเคืองต่ำกว่าดิน ดังนั้นจึงสามารถให้ช่วงเบรกทรูไปเกิดที่ชั้นดินด้านล่างแทน หากเป็นเช่นนี้จะทำให้ใช้สัดส่วนของสารก่อการระคายเคืองต่ำกว่าดิน ดังนั้นจึงสามารถลดโลหะหนักได้ดีกว่าดิน ที่ชั้นดินด้านล่างแทน หากเป็นเช่นนี้จะทำให้ใช้สัดส่วนของสารก่อการระคายเคืองต่ำกว่าดิน ดังแสดงในรูปที่ 7.1 อย่างไรก็ตามสัดส่วนของสารก่อการระคายเคืองต่ำกว่าดิน อาจมีปัญหาในเรื่องผลกระทบที่บังคับต้องมีอยู่ ความปลดปล่อยกําลังอาชีวอนามัย ดังนั้นจึงอาจใช้ในแนวทางการดำเนินงานแบบที่ 2 คือเทกลบสัดส่วนของสารก่อการระคายเคืองอ่อนโยนในแต่ละวัน ซึ่งในภาพรวมก็จะได้การใช้งานดังเช่นรูปที่ 7.1 เช่นกัน



รูปที่ 7.1 แสดงรูปแบบการใช้สัดจ์เออสทดสอบทับดินในหลุมฝังกลบ

ผลการคำนวณ

ได้ลอง/per ความหนาของการเทกลบสัดจ์ASP ในความหนาไม่เกิน 10 เซนติเมตรคำนวนหาปริมาตรเบรคทู หรือปริมาตรน้ำระบายน้ำที่จะรับได้ในแนวคิดแบบแรก ซึ่งแสดงใน ตารางที่ 7.2 และ 7.3 โดยที่ความเข้มข้น สังกะสีและตะกั่วในน้ำระบายน้ำหลังผ่านวัสดุกลบประจำวันมีค่าต่ำกว่า 5 mg/l. และ 0.2 mg/l. หรือค่า มาตรฐานในน้ำทึ้งตามลำดับ เมื่ออัตราไหลผ่าน 2.3 ลบ.เมตรต่อวันต่อพื้นที่ผังกลบ 61 ตารางเมตรหรือขยะ จำนวน 100 ตัน และน้ำระบายน้ำนั้นมีความเข้มข้นของสังกะสีเท่ากับ 20 มิลลิกรัมต่อลิตรและความเข้มข้นของ ตะกั่วเท่ากับ 2 มิลลิกรัมต่อลิตร ซึ่งค่าสูงสุดของน้ำระบายน้ำที่จะรับได้เท่ากับ 56 และ 3197 ลบ.เมตรหรือจะต้องมี วันที่ฝนตก 37.5 มิลลิเมตรต่อวันจำนวน 24 และ 1390 วัน สำหรับสังกะสีและตะกั่วตามลำดับ

นอกจากนี้ยังได้คำนวนปริมาณสังกะสีและตะกั่วที่ถูกดูดซับไว้ได้ซึ่งมาจากขยะจำนวน 100 ตันไว้ในตาราง 7.2 และ 7.3 และเมื่อพิจารณาเป็นปริมาณสังกะสีและตะกั่วในขยะ 100 ตันจะได้สังกะสีและตะกั่วเท่ากับร้อยละ 0.0011 และ 0.0064 ของน้ำหนักขยะเปียกตามลำดับซึ่งจะต้องเป็นสังกะสีและตะกั่วที่สามารถถูกชะออกโดยน้ำฝนเป็น สารละลายในน้ำระบายน้ำ ดังนั้นปริมาณที่คำนวนได้จึงมีค่ามากกว่าที่เกิดขึ้นจริงมาก

ตารางที่ 7.2 แสดงการใช้สัดจ์เออสร่วมกับดินสำหรับเป็นวัสดุกลบประจำวันโดยพิจารณาการดูดดูดผิวสังกะสี

สัดจ์ASP				ดิน				ปริมาตรน้ำเบรคทูรวม	มวล Zn ที่ถูกดูดซับรวม (กิโลกรัม)
ความสูง (เซนติเมตร)	มวลASP (กิโลกรัม)	ปริมาตรน้ำเบรคทู ¹ (ลบ.เมตร)	มวล Zn ที่ถูกดูดซับ (กิโลกรัม)	ความสูง (เซนติเมตร)	มวลดิน (กิโลกรัม)	ปริมาตรน้ำเบรคทู ² (ลบ.เมตร)	มวล Zn ที่ถูกดูดซับ (กิโลกรัม)		
3	596	23.09	0.46	12	7993	6.118	0.11	39.76	0.57
6	1192	46.18	0.92	9	5995	1.89	0.03	48.3	0.95
7.33	1456	56.35	1.13	7.67	5105	0	0	56.35	1.13

หมายเหตุ ¹ คำนวนจากสมการ $x/m = 0.37Ce^{0.247}$

² คำนวนจากสมการ $\ln(Co/C - 1) = (0.495m/Q) - (0.0117CoV/Q)$

* ความหนาแน่นสัดจ์เออส เท่ากับ 0.3225 กรัมต่อลูกบาศก์เซนติเมตร (น้ำหนักแห้ง)

* ความหนาแน่นดิน เท่ากับ 1.092 กรัมต่อลูกบาศก์เซนติเมตร (น้ำหนักแห้ง)

ตารางที่ 7.3 แสดงการใช้สลัตช์เออสว์ร่วมกับดินสำหรับเป็นวัสดุกลบประจำวันโดยพิจารณาการดูดติดผิวทะลัก

สลัตช์เออส				ดิน				ปริมาตรน้ำ เบรคท์ รวม	มวล Pb ที่ ถูกดูดซึบ รวม (กิโลกรัม)
ความสูง (เซนติเมตร)	มวล (กิโลกรัม)	ปริมาตรน้ำ เบรคท์ (ลบ.เมตร)	มวล Pb ที่ถูก ดูดซึบ (กิโลกรัม)	ความสูง (เซนติเมตร)	มวล (กิโลกรัม)	ปริมาตรน้ำ เบรคท์ (ลบ.เมตร)	มวล Pb ที่ถูก ดูดซึบ (กิโลกรัม)		
3	596	1129	2.25	12	7993	8.88	0.017	1139	2.26
6	1192	2259	4.52	9	5995	1.74	0.008	2263	4.52
8.5	1688	3197	6.39	6.5	4360	4.0	0	3197	6.39

หมายเหตุ ¹ คำนวณจากสมการ $x/m = 2.55Ce^{0.571}$

² คำนวณจากสมการ $\ln(Co/C - 1) = (1.553m/Q) - (0.3173CoV/Q)$

* ความหนาแน่นสลัตช์เออส เท่ากับ 0.3225 กรัมต่อลูกบาศก์เซนติเมตร

* ความหนาแน่นดิน เท่ากับ 1.092 กรัมต่อลูกบาศก์เซนติเมตร

เอกสารอ้างอิง

กระทรวงเกษตรและสหกรณ์, กรมพัฒนาที่ดิน, รายงานการสำรวจดิน จังหวัดชัยนาท สิงห์บุรี อ่างทอง และ พระนครศรีอยุธยา, รายงานการสำรวจความเหมาะสมของดิน, ฉบับที่ 507 หน้า 33-34

กรมควบคุมมลพิษ, 2541, เกณฑ์ มาตรฐาน และแนวทางการจัดการขยะมูลฝอยชุมชน, กรมควบคุมมลพิษ, กระทรวงวิทยาศาสตร์ เทคโนโลยี และสิ่งแวดล้อม, หน้า 61-82.

กรมควบคุมมลพิษ, 2541, โครงการสำรวจและวิเคราะห์เพื่อจัดทำแนววางแผนการจัดการการปนเปื้อนของน้ำระบบน้ำมูล ฝอยที่ลงสู่แหล่งน้ำผิวดินและใต้ดินและได้ดินและได้ดินบริเวณสถานที่กำจัดมูลฝอยเทศบาลในพื้นที่ภาคเหนือและภาคกลาง : รายงานหลัก, กรุงเทพฯ, หน้า (2-10) – (2-11).

กองวิเคราะห์ดิน กรมพัฒนาที่ดิน 2540 คุณสมบัติทางกายภาพและเคมีดินกับการวิเคราะห์ในห้องปฏิบัติการ

คณะกรรมการปรับปรุงมาตรฐาน กองวิเคราะห์ดิน พื้นที่และปุ๋ยเคมี กรมวิชาการเกษตร 2536 วิธีวิเคราะห์ดิน

ราชชัย แพงไทย, 2543, การศึกษาการปนเปื้อนของสารมลพิษจากน้ำระบบน้ำมูลฝอยในชั้นดิน, วิทยานิพนธ์ ปริญญาวิทยาศาสตรมหาบัณฑิต สาขาวิชาเทคโนโลยีสิ่งแวดล้อม คณะพลังงานและวัสดุ มหาวิทยาลัยเทคโนโลยีราชมงคลล้านนา, 107 หน้า.

ธีรวัฒน์ บุญศรี, 2543, การนำน้ำดันน้ำเสียที่มีสีด้วยชั้นดิน, วิทยานิพนธ์ปริญญาวิศวกรรมศาสตรมหาบัณฑิต ภาควิชาวิศวกรรมสิ่งแวดล้อม คณะวิศวกรรมศาสตร์ มหาวิทยาลัยเทคโนโลยีราชมงคลล้านนา, หน้า 47-48

ธีรวิทย์ ทับทอง และ วิโรจน์ บุญอ่อนวิทยา, 2540, การคัดชั้นโลหะหนักโดยการกวักดูชีวมวลเหลือทิ้ง, เอกสาร การประชุมวิชาการวิศวกรรมเคมีและเคมีประยุกต์แห่งประเทศไทย ครั้งที่ 7, ภาควิชาวิศวกรรมเคมี คณะวิศวกรรมศาสตร์ มหาวิทยาลัยมหิดล, หน้า 397-402.

ปริมาณน้ำฝนในจังหวัดนครปฐม <http://203.150.73.18/hyd/rainmean/nakhonpatom.htm>
<http://202.29.10.34/webnp/np2/np2.htm>

ศิริรัตน์ ศรีเกณฑ์, 2543, การคัดชั้นสารละลายโลหะหนักด้วยดินเหนียวและดินเหนียวปูรับปรุง, วิทยานิพนธ์ ปริญญาวิทยาศาสตรมหาบัณฑิต สาขาวิชาเทคโนโลยีสิ่งแวดล้อม คณะพลังงานและวัสดุ มหาวิทยาลัยเทคโนโลยีราชมงคลล้านนา, หน้า 46

Adriana Artola, Maria Martin, M³Dolors Balaguer, and Miquel Rigola, 2000, “ Isotherm Model Analysis for the Adsorption of Cd, Cu, Ni, and Zn on Anaerobically Digested Sludge,” **Journal of colloid and Interface Science**, Vol.232, pp.64-70.

Aksu, Z., 2001 “Equilibrium and Kinetic Modelling of Cadmium (II) Biosorption by *C. vulgaris* in a batch system effect of temperature” **Separation Purification Technology**, Vol 21, pp285-294

Aksu, Z., AÇikel ,Ü., Kabasakal, E. and Tezer S.,2002 “Equilibrium Modelling of Individual and Simultaneous Biosorption of Chromium (VI) and Nickel (II) onto Dried Activated Sludge” **Water Research**, Vol 2002, pp 3063-3073

Aksu, Z. and Akpinar, D., 2001, “Competitive Biosorption of Phenol and Chromium(VI) from Binary Mixtures onto Dried Aerobic Activated Sludge”, **Biochemical Engineering Journal**, Vol. 7, pp. 183-193.

Aksu, Z., Akpinar, D., Kabasakal, E.. and Kose, B., 1999, "Simultaneous biosorption of phenol and nickel from binary mixtures onto dried aerobic activated sludge," **Process Biochemistry**, Vol.35, pp.301-308.

Alibhai, K.R.K., Mehrotra, I., Forster, C.F., 1985, "Sorption and Release of Cadmium by some Sewage Sludges", **Journal of Environmental Quality**, Vol. 12, No. 2, pp. 253-256.

Arican, B., Gokcay, C.F. and Yetis, U., 2002 "Mechanistics of Nickel Sorption by Activated Sludge" **Process Biochemistry**, Vol 37 ,pp 1307-1315

Artola, A., Martin, M., Balaguer, D. and Rigola, M., 2000, "Isotherm Model Analysis for the Adsorption of Cd(II), Cu(II), Ni(II), and Zn(II) on Anaerobically Digested Sludge", **Journal of Colloid and Interface Science**, Vol. 232, pp. 64-70.

Bagchi, A., **Construction and Monitoring of Landfills**, New York, John Wiley and Sons, pp. 48-53.

Barton C.D., Karathanasis A.D., 1997, "Measuring Cation Exchange Capacity and Total Exchangeable Bases in Batch and Flow Experiments," **Soil Technology**, Vol.11, pp.153-162.

Benson, C.H., Othman, M.A., 1993, "Hydraulic and Mechanical Characteristics of a Compacted Municipal Solid Waste Compost", **Waste Management & Research**, Vol 11, Issue 2, pp 127-142

Benyahya, L. and Garnier, J.M., 1999, "Effect of Salicyclic Acid upon Trace-Metal Sorption (Cd^{2+} , Zn^{2+} , Co^{2+} and Mn^{2+}) onto Aluminum, Silica and Kaolinite as a Function of pH", **Environmental Science and Technology**, Vol. 33, pp. 1398-1407.

Bigorre F., Tessier D., Pedro G., 2000, "Significance of CEC and surface area of soil.How clay and organic matter contribute to water retention properties," **Earth and Planetary Science**, Vol.330,pp.245-250.

Brady, M. and Tobin, M., 1995, "Binding of hard and soft metal ions to *Rhizopus arrhizus* biomass," **Enzyme and Microbial Technology**, Vol.17, pp.791-796.

Brady, D. and Duncan, J.R., 1994, "Bioaccumulation of Metal Cations by *S.cerevisiae*", **Applied Microbiology and Biotechnology**, Vol. 41, No. 1, pp. 149-154.

Clark, T.P., and Piskin, R., 1977, "Chemical Quality and Indicator Parameters for Monitoring Landfill Leachate in Illinois", **Environmental Geology**, Vol. 1, pp. 329-340.

Cox L., Hermosin M.C., Celis R. and Cornejo J., 1996, "Sorption of two Polar Herbicides in Soils and Soil Clays Suspensions," **Water Research**, Vol.31, No.6, pp.1309-1316.

EPA Victoria, 2002, **Calculating the Landfill Levy and Recycling Rebates** [Online], Available:[http://epanote2.epa.vic.gov.au/EPA/Publications.nsf/d85500a0d7f5f07b4a2565d1002268f3/83f5d7b85cf3716bca256be50081adff/\\$FILE/332d.pdf](http://epanote2.epa.vic.gov.au/EPA/Publications.nsf/d85500a0d7f5f07b4a2565d1002268f3/83f5d7b85cf3716bca256be50081adff/$FILE/332d.pdf) [2003, October 13].

Fourest, E. and Roux, J.C., 1992, "Heavy Metal Biosorption by Fungal Mycelial by-Products : Mechanisms and Influence of pH", **Applied Microbiology and Biotechnology**, Vol. 37, No. 3, pp. 399-403.

Gourdon, R. and Rus, E., 1990, "A Comparative Study of Cadmium Uptake by Free and Immobilization Cells from Activated Sludge", **Journal of Environmental Science and Health**, Vol. 25, No. 8, pp. 1019-1036.

Hartmann A., Grasle W., Horn R., 1998, "Cation exchange processes in structured soils at various hydraulic properties," **Soil & Tillage Research**, Vol.47, pp.67-72.

Inskeep, P.W. and Baham, J., 1983, "Adsorption of Cd and Cu by Na-Montmorillonite at Low Surface Coverage", **Soil Science Society of America Journal**, Vol. 47, pp. 660-665.

Jianlong, W., Xinmin, Z., Decai, D. and Ding, Z., 2001, "Bioadsorption of Lead(II) from Aqueous Solution by Fungal Biomass of *Aspergillus niger*", **Journal of Biotechnology**, Vol. 87, pp. 273-277.

Joergensen R.G., Castillo X., 2001, "Interrelationships between microbial and soil properties in young volcanic ash soils of Nicaragua," **Soil Biology & Biochemistry**, Vol.33, pp.1581-1589.

Lagadic, I.L., Mitchell, M.K. and Payne, B.D., 2001, "Highly Effective Adsorption of heavy Metal Ions by a Thiol- Functionalized Magnesium Phyllosilicate Clay", **Environmental Science and Technology**, Vol. 35, No. 5, pp. 984- 990.

Lema, J.M., Mendez, R. and Blazquez, R., 1988, "Characteristics of Landfill Leachate and Alternatives for their Treatment", **Water, Air and soil pollutant**, Vol. 40, pp. 223-250.

Lister, S.K. and Line, M.A., 2001, "Potential Utilisation of Sewage Sludge and Paper Mill Waste for Biosorption of Metals from Polluted Waterways", **Bioresource Technology**, Vol. 79, pp. 35-39.

Liu, Y., Xu, H., Yang, S.F. and Tay, J.H. 2003, "A General Model for Biosorption of Cd²⁺, Cu²⁺, and Zn²⁺ by Aerobic Granules", **Journal of Biotechnology**, Vol 102, pp233-239.

Mohamed, Z.A., 2001, "Removal of Cadmium and Manganese by a Non-Toxic Strain of Freshwater Cyanobacterium *Gloeothecce magna*", **Water Research**, Vol. 35, No. 18, pp. 4405 - 4409.

Okoli, R. E. and Balafoutas, G., "Landfill sealing potential of bottom ashed of sludge cakes", **Soil & Tillage Research**, Vol 46, pp 307-314.

Pagnanelli F., Trifoni M., Beolchini F., Esposito,A., ToroL., VeglioF., 2001, "Equilibrium biosorption studies in single and multi-metal systems," **Process Biochemistry**, Vol.37, pp.115-124.

Puranik, P.R. and Paknikar, K.M., 1999, "Influence of co-cations on biosorption of lead and zinc," **Bioresource Technology**, Vol. 70, pp. 269-276.

Saarenketo T., 1998, "Electrical properties of water in clay and silty soils," **Journal of Applied Geophysics**, Vol.40,pp.73-88.

Sakaguchi, T., Tusji, T., Nakajima, A. and Horikoshi, T., 1979, "Accumulation of Cadmium by Green Microalgae", **European Journal of Applied Microbiology and Biotechnology**, Vol. 8, No. 1, pp. 207-215.

Sag, Y., Tatar, B. and Kutsal, T., 2003, "Biosorption of Pb(II) and Cu(II) by Activated Sludge in Batch and Continuous Flow Stirred Reactors", **Bioresource Technology** , Vol 87, pp27-33

Sah J.G., Chen J.Y., 1998, " Study of the electrokinetic process on Cd and Pb spiked soils," **Journal of Hazardous Materials**, Vol.58, pp.301-315.

Say, R., Denizil, A. and Arica, M.Y., 2001, "Biosorption of Cadmium (II), Lead (II) and Copper (II) with the Filamentous Fungus *Phanerocharte chrysosporium*", **Bioresource Technology**, Vol. 76, pp. 67-70.

Shuman, L.M., 1998, "Effect of Removal of Organic Matter and Iron or Manganese - Oxide on Zinc Adsorption by Soil", **Soil Science**, Vol. 146, pp. 248-254.

Singh D.N., Kolay P.K., 2002, " Simulation of ash-water interaction and influence on ash characteristics, " **Progress in Energy and Combustion Science**, Vol.28, pp.267-299.

Tay, J.H., Chen,X.G., Jeyaseelan, S. and Graham, N., 2001, "Optimising the preparation of activated carbon from digested sewage sludge and coconut husk" **Chemosphere**, Vol 44, pp. 45-51

Tien, C.J., 2002, "Biosorption of Metal Ions by Freshwater Algae with Different Surface Characteristics", **Process Biochemistry**, Vol. 38, pp. 605 - 613.

Tobin, J.M., Cooper, G.D. and Neuffld, R.J., 1984, "Uptake of Metal Ions by *Rhizopus Arrhizus* Biomass", **Applied and Environmental Microbiology**, Vol. 47, No. 4, pp. 821-824.

U.S. EPA, 1994, **Seminar Publication: Design, Operation, and Closure of Municipal Solid Waste Landfills**, Office of Research and Development, Washington DC, pp. 26-28.

Volesky, B. and May-Phillips, H. A., 1995, "Biosorption of heavy metals by *Saccharomyces cerevisiae*," **Applied Microbiology and biotechnology**, Vol.42, pp.797-806.

Wu, J., Laid, D.A. and Thomson, M.L., 1999, "Sorption and Desorption of Copper on Soil Clay Components", **Environmental Quality**, Vol. 28, pp. 334-338.

Yoder, E.J., 1975, **Principle of Pavement Design**, 2nd ed., John Wiley & Son, New York, 736 pages.

Zhou, J.L.,1999 " Zn Biosorption by *Rhizopus arrhizus* and Other Fungi" **Appl. Microbiol. Biotechnology**, Vol 51, pp 686-693

ภาคผนวก

1. คู่มือการเทกลบ สลัดเจ้อเอลในหลุมกลบ^๑
(เพื่อใช้คุณสมบัติการดูดซับของสลัดเจลลดปริมาณ โลหะหนักในน้ำชะystate)
2. บทความวิจัยตีพิมพ์

Wantawin, C. and Thungmanee, S. “Lead and Zinc Adsorption from Leachate by Waste Activated Sludge” Asian-Pacific Regional Conference on Practical Environmental Technologies Dec. 18~21, 2003, Tainan, Taiwan

ຄູ່ມືອງການເທກລບ ສລັດຈົວເວັສໃນຫລຸມກລບ

: (ພື້ນໃຫ້ຄູ່ມືອງສມັບຕິກາຣຸດຊັບຂອງສລັດຈົວເວັສ ໂດຍທັນກໃນນຳຈະບະ)

บทนำ

ในการดำเนินงานในหลุมฝังกลบมีรายละเอียดตามหัวข้อดังนี้

- ระบบพื้นฐานในสถานฝังกลบ
- การเคลื่อนย้ายขยะภายในสถานฝังกลบ
- การเทขายในหลุม
- การบดอัดขยะ
- พื้นที่ทำงาน
- วัสดุกลบประจำวัน
- การฝังกลบของเสียพิเศษ
- การรักษาสภาพเดิมของชุมชนท้องถิ่น
- อัคคีภัยในสถานฝังกลบ
- การจัดการน้ำชาขยะ
- การควบคุมกากที่เกิดในสถานฝังกลบ
- การดูแลอุปกรณ์เครื่องมือต่างๆ

ในคู่มือฉบับนี้จะกล่าวถึงเฉพาะหัวข้อที่เกี่ยวข้องกับการเทกลบขยะและการใช้วัสดุกลบประจำวันซึ่งจะเกี่ยวข้องกับการใช้ประโยชน์ของสัลไดร์โอโซเป็นสารดูดซับโลหะหนักจากน้ำชาขยะในหลุมฝังกลบได้แก่

- การเทขายในหลุม
- การบดอัดขยะ
- วัสดุกลบประจำวัน

การเทขายะในหลุม (waste discharge and emplacement)

ปัจจัย

การระมัดระวังในการทำงานจะขึ้นกับปัจจัยต่างๆดังนี้

- เนื่องไขทางกายภาพของขยะ
- สภาพภูมิอากาศของสถานฝังกลบ
- ความต้องการเสริมเพื่อหลีกเลี่ยงการปนเปื้อนของเสียเสี่ยงอันตรายในระยะ
- วัตถุประสงค์ของการออกแบบ

กฎระเบียบ

ผู้ขับรถขยะต้องปฏิบัติตามกฎหมายในสถานฝังกลบ กฏโดยทั่วไปมีดังนี้

- จำกัดจำนวนรถในบริเวณที่เทขายะลงหลุม
- ห้ามผู้โดยสารลงจากรถในบริเวณที่เทขายะลงหลุม
- พนักงานที่เดินอยู่ในบริเวณที่ปฏิบัติงานต้องสวมรองเท้าบูทและเสื้อผ้าปกปิดที่ม่องเห็นได้
ง่าย และสวมอุปกรณ์ป้องกันส่วนบุคคลตามความจำเป็น
- ห้ามสูบบุหรี่ในบริเวณฝังกลบ

การตรวจสอบ

ทุกกระบวนการเทขายะลงหลุมต้องมีการตรวจสอบด้วยสายตา ซึ่งทำโดยพนักงานดูแลที่อยู่ข้างล่างหรือโดย
พนักงานขับเครื่องจักรขึ้นอยู่กับจำนวนรถ ซึ่งพนักงานเหล่านี้จะต้องได้รับการอบรมในการแยกและ
ของเสียที่ผิดประเภทออก และเมื่อพบต้องรายงานผู้จัดการของสถานฝังกลบหรือผู้บังคับบัญชาทันที
และขยายส่วนนั้นต้องกักไว้เพื่อรอการตรวจสอบและอีกด้วย

การเท

เมื่อขยายถูกเทลงหลุมต้องแน่ใจว่าเป็นไปตามที่ออกแบบ วิธีการต่างๆที่ใช้แสดงในตารางที่ 1

ตารางที่ 1 วิธีการเทขยะลงในหลุมฝังกลบ

<p>วิธี กลบเทแบบลาด (Onion skin tipping)</p> <p>เช่นเดียวกับแบบแนวราบแต่ขยะถูกกลบทับเพิ่มพูนเป็นชั้นในแนวเอียงลาด เครื่องจักรบดอัดทำงานบนพื้นผิวเอียง ความลาดประมาณ 1 : 3</p>	<p>ข้อดี</p> <p>ง่ายต่อการใช้วัสดุกลบประจำวันกลบส่วนพื้นราบและลาด การพัดปลิวของขยะจากลมเกิดขึ้นได้น้อยกว่าแบบแรก สามารถกลบอย่างสูงได้ดีกว่า</p> <p>ข้อเสีย</p> <p>พนังงานต้องได้รับการอบรมเป็นพิเศษ ยากต่อการฝังกลบขยะที่ไม่ยุบตัว</p>

วิธีเทลงหลุมและกลบขึ้น (working upwards) อาจใช้วิธีเทในแบบแนวราบหรือลาดเอียง แต่ที่ต่างจากสองแบบแรกคือใช้วิธีขุดเป็นหลุมเทขยะต่ำกว่าพื้นผิว และกลบกลับขึ้น	ข้อดี ป้องกันการพัดปลิวของขยะจากลมได้ดี ทางชั่วคราว แผ่นปิดชั่วคราว สามารถรื้อถอนก่อนการกลบชั้นต่อไป ข้อเสีย พนังงานต้องได้รับการอบรมเป็นพิเศษ ต้องมีเครื่องจักรเพิ่มเติมเพื่อใช้กลบวัสดุประจำวันในส่วนที่เป็นพื้นราบ
--	--

การบดอัดขยะ (waste compaction)

การบดอัดขยะขณะเทลงในทันทีถือเป็นการปฏิบัติโดยทั่วไป ประโยชน์ที่ได้คือ

- สามารถจัดการกับขยะปริมาณที่สูงได้ในเวลาน้อยที่สุด
- ลดผลกระทบจาก แมลง ผู้คน ฯลฯ

รถที่ใช้บดอัดอาจเป็นรถที่ออกแบบเฉพาะซึ่งมีล้อเป็นเหล็ก ที่การบดอัดจะได้ความหนาแน่นของขยะ 710-950 กก./ลบ.เมตร หรืออาจใช้แทรกรถเตอร์เกลี่ยเดินซึ่งจะได้ขยะความหนาแน่น 475-590 กก./ลบ.เมตร ค่าพลังงานการบดอัดจำเพาะในหน่วย กิโลวัตตัน-เมตร/ลบ.เมตร ที่ได้ขึ้นอยู่กับน้ำหนักรถและรอบของการผ่าน โดยปกติใช้รถแทรกรถเตอร์น้ำหนักรถอยู่ในช่วง 13600-18100 กก.จำนวนรอบการผ่าน 5-10รอบ

การบดอัดที่มากเกินไปทำให้อัตราการย่อยสลายของทางชีวภาพเกิดขึ้นได้ช้าลงเนื่องจากทำให้น้ำซึ่งไหลผ่านและการเคลื่อนที่ของก้าชในหลุมฝังกลบผ่านได้น้อยลง โดยทั่วไปแล้วขยะหลังการบดอัดในหลุมฝังกลบควรมีความหนาแน่นประมาณ 800 กก./ลบ.เมตร

ก่อนการบดอัดควรใช้แทรกรถเตอร์ในการคลุกเคล้ากองขยะมากที่สุดเท่าที่จะทำได้ ซึ่งช่วยให้เกิดการย่อยสลายทางชีวภาพได้ดี

วัสดุกลบประจำวัน

วัตถุประสงค์หลักเพื่อให้เกิดทัศนียภาพที่ดี นอกจากนี้ช่วยลดการพัดปลิวของเศษขยะอันเกิดจากลม ช่วยลดปัญหาของกลิ่นและแมลงที่มา叨ม ลดความเสี่ยงต่อการเกิดอัคคีภัยจากกองขยะ และยังช่วยเพิ่มความสุก愉ของพื้นผิวลาดเอียง ในการฝังกลบแบบพื้นผิวลาดเอียง

วัสดุที่ใช้ โดยทั่วไปเป็นดิน วัสดุทดแทนอื่น เช่น แผ่นพลาสติกใช้แล้วซึ่งบางชนิดย่อยสลายได้ แผ่นไนล่อน กะดาษ โฟม

ในทางปฏิบัติ ขยายบดอัด 0.6-2 เมตรใช้วัสดุกลบประจำวัน (ดิน) 0.15 เมตร ซึ่งเมื่อเทวัสดุกลบประจำวันแล้วให้ใช้แทรกรถบรรทุกเคลื่อนเคลื่อนให้ทั่ว

การฝังกลบสลัดจ์เออแอล

สลัดจ์ชีวภาพพึ่งจากการบำบัดทางชีวภาพแบบแยกตัวเตดสลัดจ์ (Activated Sludge Process) ส่วนหนึ่งนำมาจัดการโดยการฝังกลบร่วมกับขยะชุมชน ซึ่งได้ประโยชน์จากคุณสมบัติการดูดซับโลหะหนักได้ดี ช่วยให้น้ำสะอาดจากหลุมฝังกลบมีปริมาณโลหะลดลงได้ โดยสามารถบำบัดต่อในระบบบำบัดน้ำเสียขยะ ซึ่งส่วนใหญ่ใช้กระบวนการทางชีวภาพ

คุณสมบัติสลัดจ์เออแอล

สลัดจ์จากระบบบำบัดน้ำเสียชุมชน เท่านั้น สลัดจ์จากถังตะกอนของกระบวนการแยกตัวเตด สลัดจ์ซึ่งผ่านการรีดน้ำแล้ว (ขั้นตอนการรีดน้ำ มีการใส่สารโพลีเมอร์ เพื่อปรับปรุงคุณภาพตะกอนให้มีการรีดน้ำออกได้ง่าย) ความชื้นสลัดจ์ประมาณ 50 เปอร์เซ็นต์

ข้อมูลทั่วไป

дин ความชื้นร้อยละ 3 ความหนาแน่นเท่ากับ 1.1 กรัมต่อลูกบาศก์เซนติเมตร (น้ำหนักแห้ง)
สลัดจ์เออแอลจากการรีดน้ำ (มีการใส่สารโพลีเมอร์ เพื่อให้การรีดน้ำออกง่ายขึ้น) ความชื้นร้อยละ 50
ความหนาแน่นเท่ากับ 0.3 กรัม(น้ำหนักแห้ง) ต่อลูกบาศก์เซนติเมตร หรือ 0.6 กรัม(น้ำหนักเปียก) ต่อลูกบาศก์เซนติเมตร

ขยะชุมชนมีความหนาแน่นประมาณ 60-180 กิโลกรัมต่อลูกบาศก์เมตร และหลังบดอัดที่หลุมฝังกลบ
มีความหนาแน่น 550-800 กิโลกรัมเปียกต่อลูกบาศก์เมตร (กรณีใช้รถแทรกเตอร์เกลี่ยดินบดอัด)

แนวทางปฏิบัติในการฝังกลบ

สามารถทำได้ 2 วิธี

- ผสมกับดินทำเป็นวัสดุกลบประจำวัน
- เทกลบก่อนแยกจากขยะทั่วไป

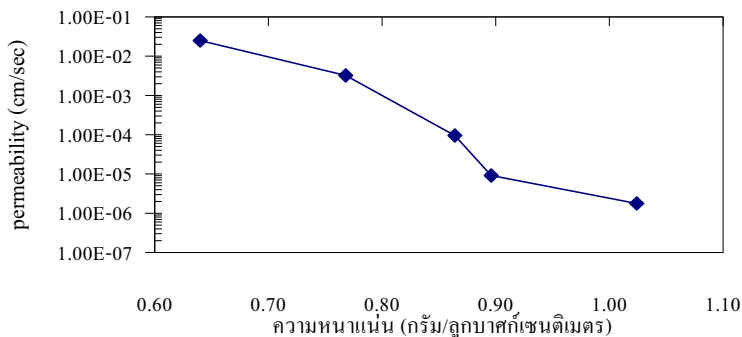
ผสมกับดินทำเป็นวัสดุกลบประจำวัน

วิธีการ

1. ผสมดินและสลัดจ์ในอัตราส่วน 2 : 1 โดยปริมาตร

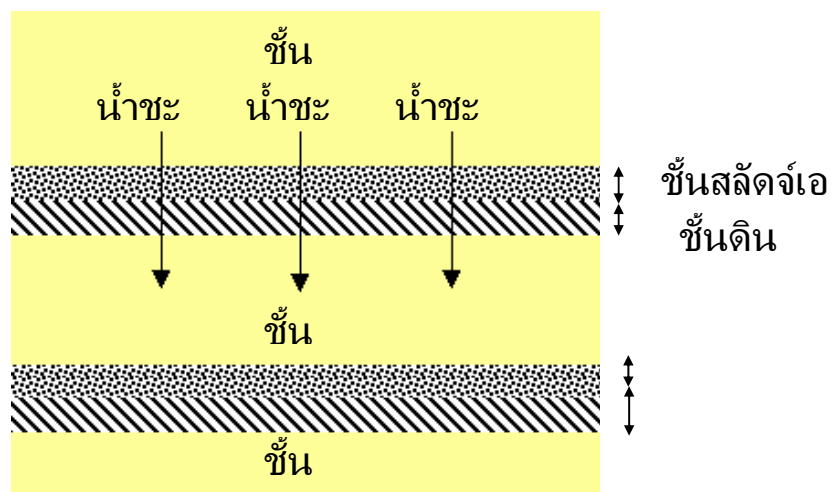
2. เทกลบลงบนขยะที่บดอัดแล้วสูงหรือหนา 15 เซนติเมตร ต่อกองขยะบดอัดสูงไม่เกิน 2.5 เมตร ใช้รถแทรกรเตอร์เกลี่ยวัสดุกลบประจำวันให้ทั่วพื้นผิวกองขยะโดยไม่ต้องบดอัด

เนื่องจากสลัดจ์โอเอสต้ามีการบดอัดตามมาตรฐานจะมีค่าการซึมผ่านต่ำประมาณ 2.20×10^{-5} เซนติเมตรต่อวินาที และค่าการซึมผ่านจะมีค่าลดลงตามความหนาแน่นเป็นกังวลแสดงในรูปที่ 1 แต่เมื่อใช้เป็นวัสดุกลบประจำวัน วัสดุดังกล่าวควรให้มีน้ำซึมผ่านได้ดี



รูปที่ 1 ความสัมพันธ์ระหว่างความหนาแน่นกับค่าการซึมผ่านของน้ำของสลัดจ์โอเอส

เทกลบก่อนแยกจากขยะทั่วไป



รูปที่ 2 แสดงการกลบสลัดจ์โอเอสในหลุมกลบที่ใช้ดินเป็นวัสดุกลบประจำวัน

เนื่องจากสลัดจ์ເອເອສ มีความสามารถในการดูดซับโลหะหนักได้ดี ขณะเดียวกันเมื่อมีน้ำจะขยายให้ผ่านจะมีการชำระสารละลาย ชีโอดี ออกบางส่วน และดินสามารถช่วยดูดซับสารละลายอินทรีจากสลัดจ์ເອເອສได้ และเพื่อสามารถใช้สลัดจ์ເອເອສได้เต็มความสามารถในการดูดซับโลหะ ให้ชั้น adsorption zone หรือการ breakthrough ไปเกิดที่ดินซึ่งมีความสามารถในการดูดซับต่ำกว่าสลัดจ์ເອເສมาก ดังนั้นการฝังกลบสลัดจ์ເອເອສควรฝังกลบในแต่ละวันก่อนระยะทั่วไปอีนๆ ตามรูปที่ 2

วิธีทางปฏิบัติ

1. ในแต่ละวันของการเทฝังกลบขยะลงในหลุมฝังกลบ ให้เทสลัดจ์ເອເອສลงก่อนและเกลี่ยด้วยรถแทรกรถอร์ฟให้ได้ความสูงสลัดจ์ເອເອສอยู่ในช่วง 5- 15 เซนติเมตร ขึ้นกับปริมาณสลัดจ์ເອເສที่มี
2. เทขยะชุมชนและบดอัดตามวิธีหรือขึ้นกับการออกแบบหลุมฝังกลบในแต่ละที่ ความสูงของขยะบดอัดไม่เกิน 2.5 เมตร
3. หลังการฝังกลบในแต่ละวันใช้ดินปิดทับ โดยดินจะทำหน้าที่เป็นวัสดุกลบประจำวัน เพื่อกันกลิ่น แมลง และการฟุ้งกระจายของขยะจากลมพัด

LEAD AND ZINC ADSORPTION FROM LEACHATE BY WASTE ACTIVATED SLUDGE

C. Wantawin and S. Thungmanee

*Department of Environmental Engineering, King Mongkut's University of Technology Thonburi,
Thailand*

ABSTRACT

Excess activated sludge from municipal wastewater treatment plant was applied for remove heavy metals from landfill leachate. There are two groups of applied activated sludge; one dewatering by 40 C heat drying and the other by filter press with polymer conditioning. Lead and zinc in the forms of Pb²⁺ and Zn²⁺ respectively, were the studied heavy metals in both single and binary metal adsorption.

The experimental results demonstrate that Freundlich isotherm could be used to describe the heavy metals adsorption in both deionized water and leachate. Higher Freundlich K values were obtained in activated sludge that dewatering by adding polymer comparing with those by heating. With polymer conditioning activated sludge, Freundlich K values of lead and zinc adsorption were orderly 5.07 and 1.05 (mg/g)(l/mg)^{1/n} in the deionized water and reduced to 2.55 and 0.37 (mg/g)(l/mg)^{1/n} in the leachate. Other high concentration of cations were found in leachate such as more than 1000 mg/l of sodium and potassium as well as about 100 mg/l of magnesium which lead to poorer adsorption capacity of lead and zinc. Lead has more affinity to activated sludge adsorption than zinc both on activated sludge with and without polymer adding. In binary metal system, increasing zinc as high as 15 times to lead concentration has no significant effects to the lead adsorption. On the contrary, present of lead only 0.5 times of zinc can prevent the zinc adsorption.

KEYWORDS: Activated Sludge, Lead, Leachate, Zinc

1 INTRODUCTION

The rapid development of human activities has led to large amount of wastes both in solids and water. Even landfill is the main alternative disposal for domestic solid waste, improper management can results in hazardous contaminated leachate and several landfills (Johansen and Carlson 1976, Lema et al 1988) have been reported that discharged leachate contained unusual high concentration of heavy metals. Heavy metals contaminated up to some level can inhibit the microorganism's activity on degradation of organic carbon in leachate either in landfill or leachate treatment process. However with the special surface properties of microorganism, part of heavy metal can be adsorbed on them before reach to the leachate biological treatment process.

Microorganisms such as bacteria, fungi, yeast and algae can remove metals from aqueous solutions and this biological phenomenon is called biosorption (Volesky and Holan, 1995).

The passive bioaccumulation of heavy metals by non-viable cells in equilibrium can be explained by widely applied isotherm either Langmuir or Freundlich. The physico-chemical parameters of the solution such as pH, ionic strength, temperature, biomass concentration and presence of organic and inorganic legands in solution can effect to bioremoval of single species of metal ions. Moreover, leachate or other wastewaters contain not one but many metallic ions and combined effects of more metals ions on microorganism can occur. Biosorption for multiple metallic ions system depends on the number of metal ions competing for binding sites, metal ion combination, level of metal ion concentration and order of metal ion addition (Ting et al, 1991).

Although heavy metals adsorption on pure culture microorganisms especially microalgae has been studies more than 30 years ago, on activated sludge, a complex consortium of microorganisms, just has been recently investigated (Gourdon and Rus, 1990; Cecen and Gürsoy, 2001; Aksu et al, 2002; Arikán et al, 2002). These studies confirm the use of microorganisms as a competitive biosorbents for wastewater treatment. In this work, the role of disposed activated sludge under landfill is determined whether can attenuate the heavy metals from leachate through sorption process.

2. MATERIALS AND METHODS

2.1 Activated sludge and preparation as the biosorbent

The activated sludges used in the study were collected from aeration tank as the mixed liquor suspended solids (MLSS) and filter press as the polymerized dewatering sludge (PAS) of the municipal wastewater treatment plant in Bangkok Thailand. MLSS was settled and dried at temperature of 40°C to yield 50 percent moisture (DAS). The characteristics of DAS and PAS were shown in Table 1

Table 1 Characteristics of Originated and Polymerized Activated Sludge

Parameters	Originated AS	Polymerized AS
pH	6.7	6.1
Heavy metals : mg/l		
- Zinc	0.24	0.20
- Chromium	0.03	0.04
- Lead	0.02	0.01
- Cadmium	0.001	0.001
- Aluminium	<0.001	7.00
Percent of Organic Matter (%OM)	30	25
Cation Exchange Capacity (CEC) milliequivalent/100 g.	80	62

2.2 Leachate

Leachate with pH of 8.04 was obtained from Nakorn Pathom municipal landfill and analyzed for some metals, and COD. Common metals of 1113mg Na/l , 1123mgP/l), 108mg Mg/l and 64 mg Ca/l were in leachate .Heavy metals that are zinc (Zn), chromium(Cr), lead(Pb) and cadmium(Cd) were also analyzed by Atomic Adsorption Spectrophotometer and low concentration of 0.54, 0.08, 0.03 and 0.01 mg/l were found respectively . Total and filtrate COD in the applied leachate were 3672 and 2361 mg/l respectively.

2.3 Batch adsorption studies

Adsorption isotherms of zinc and lead by both 40°C dried (DAS) and polymerized (PAS) activated sludges were studied in batch experiments by varying concentration of metals. In single system, zinc or lead each of 2, 5, 10, 20, 40, 80 and 100 mg/l. were prepared using deionized water and transferred to the 250 ml flasks. In binary system, the effect of concentration of zinc on lead adsorption was studied. Three sets of flasks contained 1, 2, 5 and 10 mg/l of lead were prepared. Zinc of 1, 2 and 15 times of lead concentration were added in first second and third sets respectively. The pH of water was maintained at 6.5 over each batch by NaOH and HNO₃. Each type of activated sludge of 4 g dry weight was added to each flask containing 100 ml of sample. The samples were shaken by orbital shaker at 250 rpm and room temperature (30±1°C). The filtrated sample from each flask after reach to equilibrium was adjusted to pH 2 by 65% HNO₃ and analyzed for either metal concentration by Atomic Absorption Spectrophotometer. Equilibrium times for zinc and lead were determined by vary adsorbent dosage from at maximum adsorption by collect samples within the time range of 0-3 hrs. After that, replace deionized water with leachate of which pH adjusted to 6.5 and run the experiment for single metal and PAS adsorbent with the same procedure.

3. RESULTS AND DISCUSSION

3.1 Equilibrium Time

Equilibrium time has been verified in order to use for other subsequence batch experiments. Lead adsorption reaches to equilibrium earlier than zinc as shown in Fig.1. It was observed that the adsorption process of lead and zinc reached equilibrium within 10 minutes for all dosages of DAS except zinc at dosage of 2 g. Therefore the adsorption time of 30 minute was applied throughout all subsequent experiments.

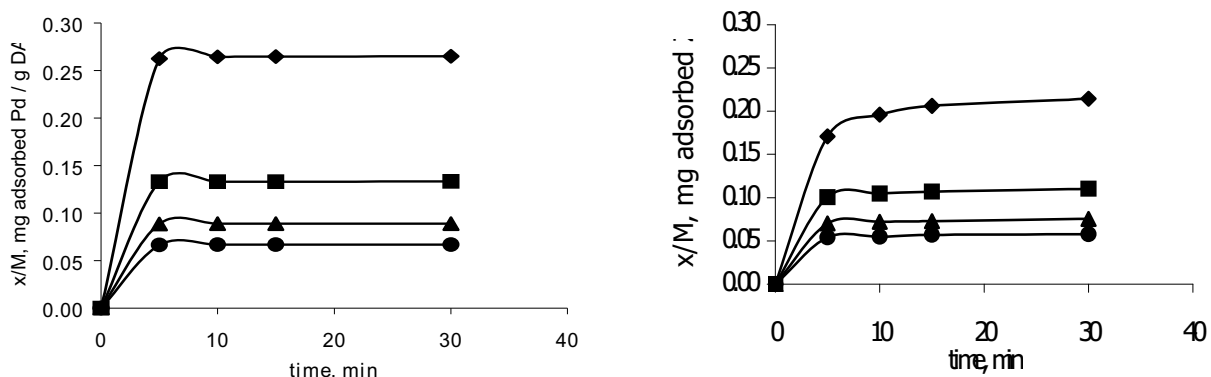


Figure 1. Equilibrium profiles for the adsorption of lead (a) and zinc (b) in deionized water pH 6.5 by activated sludge without polymer with varying adsorbent dosage ◆ 2 g DAS, ■ 4 g DAS, ▲ 6 g DAS, • 8 g DAS in 100 ml solution

3.2 Single-Metal System

Freundlich model can describe well for adsorption data of heterogeneous surface adsorbent. Several researches proposed Freundlich isotherm for interpret the biosorption data (Jianlong

et al 2001; Mohamed, 2001; Tien, 2002) same as this study. In view of the values of linear regression coefficient in the Table 2, the Freundlich model exhibited a reasonable fit to the adsorption data of lead and zinc in both deionized water and leachate either to use DAS or PAS adsorbents.

Freundlich equation has general form as in equation (1).

The values of $1/n$ between 0 and 1 of lead and zinc in Table 2 implied that both metals are favorable adsorbates for activated sludge adsorbents. Therefore mass of activated sludge was effectively used at low equilibrium concentration of lead and zinc.

Table 2 Freundlich isotherm constants for activated sludge adsorption of single lead and zinc

metal	adsorbent	Type of solution	Freundlich isotherm constant		
			1/n	K _F (mg/g) (1/mg) ^{1/n}	R ²
Pb	DAS	DI water	0.52	3.33	0.95
	PAS	DI water	0.57	5.07	0.97
	PAS	leachate	0.57	2.55	0.95
Zn	DAS	DI water	0.30	0.49	0.98
	PAS	DI water	0.40	1.05	0.99
	PAS	leachate	0.43	0.37	0.92

In deionized water at pH 6.5 system, activated sludge, either conditioning with heat or polymer, adsorbed lead better than zinc as shown by the greater values of lead KF (adsorption capacity) in Table 2. Lead, in theoretical considering, has a nature to be the preferable adsorbate than zinc such as higher atomic number, higher electronegativity. The results also correspond to other studies of these two metals by other microorganism (Brady and Tobin, 1995; Brady, M. and Tobin, 1995). The higher values of KF when apply PAS than DAS implied that polymer added in activated sludge contribute to the increase of adsorption capacity for both metals. Leachate adding studied metal was applied to batch experiments with PAS as adsorbent. The adsorption data can be well fit with monocomponent Freundlich isotherm with linear regression coefficient of 0.95 and 0.92 for lead and zinc respectively even leachate contained other high substance. The adsorption capacity reduced from 5.07 (mg/g)(1/mg)^{1/n} in deionized water to 2.55(mg/g)(1/mg)^{1/n} in leachate and 1.05 (mg/g)(1/mg)^{1/n} in deionized water to 0.37 (mg/g)(1/mg)^{1/n} in leachate for lead and zinc respectively.

3.3 Binary Metal System

In the experiments of binary metal in deionized water, weight ratios of initial zinc to lead were varied from 1, 2 and 15 while the amount of adsorbent in each sample was kept constant.. The data of adsorption equilibrium capacities with initial lead concentrations in binary-metal solution are shown in Fig 2 and Fig 3 for DAS and PAS adsorbents respectively.

The results show that the existing of zinc even concentration added up to 15 times has no significant effect to the lead adsorption on both DAS and PAS adsorbents. The maximum initial lead concentration of only 3 mg/l was applied in this experiments (using zinc 15 times) in order to prevent the zinc precipitation. . However it should be noted that in initial Zn/Pb ratio of 15 experiment, the equilibrium concentrations of 0.014 mg Pb/l and 0.032 mg Pb/l

were significant greater than calculated values in the same condition of single lead system that is 0.00064mgPb/l and 0.00062 mg Pb/l for DAS and PAS adsorbent respectively.

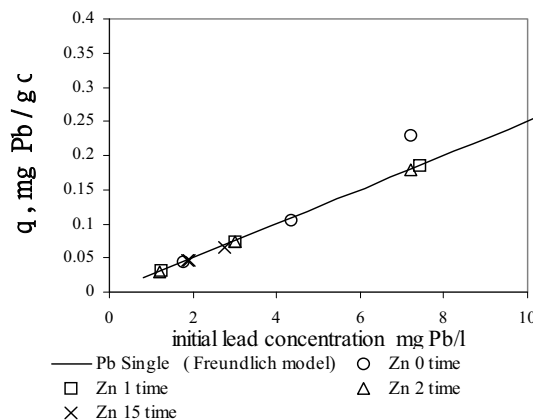


Figure 3 Equilibrium adsorption capacity and initial lead concentration in lead-zinc binary metal system and DAS adsorbent at pH 6.5

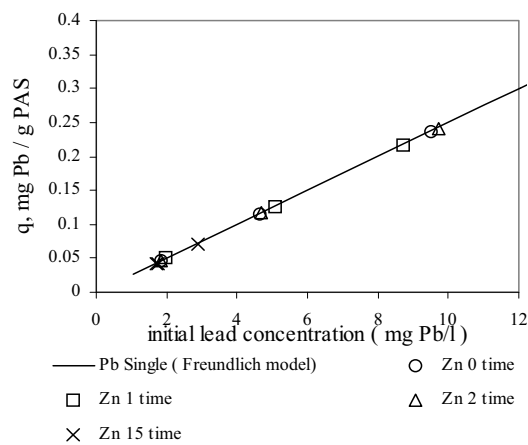


Figure 4 Equilibrium adsorption capacity and initial lead concentration in lead-zinc binary metal system and PAS adsorbent at pH 6.5

In the view of zinc consideration, adding of lead only 0.5 time of zinc results in the clearly reduction of adsorption capacity either DAS or PAS adsorbent as shown in Fig 4 and Fig respectively. However this inhibition of lead on zinc adsorption was less when PAS adsorbent was applied. The inhibition of lead to zinc as high as 63 percent but no inhibition to lead by zinc also has been observed by other work (Brady and Tobin 1995)when biosorbent was Rhizopus

Arrhizus.

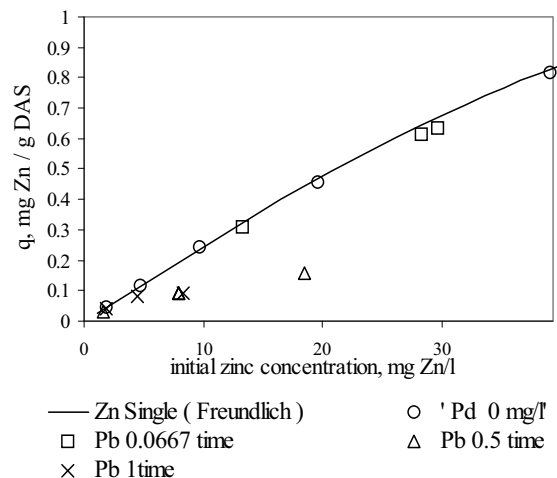


Figure 5 Equilibrium adsorption capacity and initial zinc concentration in lead-zinc binary metal system and DAS adsorbent at pH 6.5

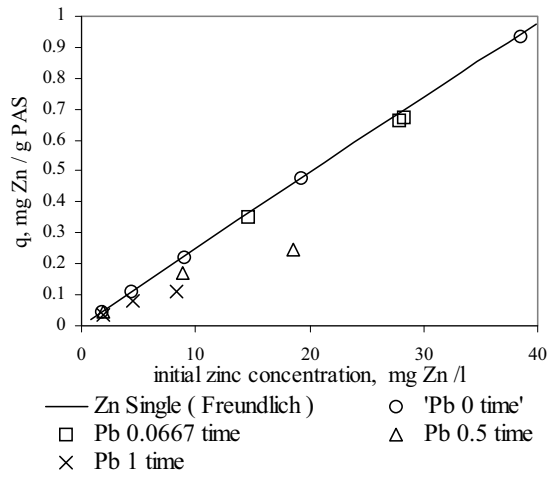


Figure 6 Equilibrium adsorption capacity and initial zinc concentration in lead-zinc binary metal system and PAS adsorbent at pH 6.5

4. CONCLUSION

Activated Sludge can be used as biosorbent for removal lead and zinc from leachate but with low capacity when compare to deionized water. Less adsorption capacity in leachate possible can be explained by the interference of other existing high ionic compounds such as sodium

and potassium in the level of more than one thousand in leachate. Freundlich isotherm can exhibit the adsorption performance of activated sludge for single metal system. Lead can be adsorbed by activated sludge in more capacity when compare to zinc. However the values of $1/n$ are between 0 and 1 implied that both lead and zinc were favorable for activated sludge adsorption. Polymer added in activated sludge contributes to higher adsorption capacity. In binary system, lead inhibited the adsorption of zinc on both original and polymer added activated sludge. On the other hand, adsorption of lead on activated sludge remained constant even initial ratio of zinc to lead up to 15.

5. REFERENCES

- Aksu, Z., Acikel, U., Kabasakal, E. and Tezer, S., 2002, "Equilibrium Modelling of Individual and Simultaneous Biosorption of Chromium(VI) and Nickel(II) onto Dried Activated Sludge", Water Research, Vol. 36, pp. 3063-3073.
- Arikan, B., Gokcay, C.F., and Yetis, U., 2002, "Mechanistics of Nickel Sorption by Activated Sludge", Process Biochemistry
- Brady, M. and Tobin, M., 1995, "Binding of Hard and Soft Metal Ions to Rhizopus arrhizus Biomass", Enzyme and Microbial Technology, Vol. 17, pp. 791-796.
- Cecen, F., and Gürsoy, G., 2001, "Biosorption of heavy metals from landfill leachate onto activated sludge", J Environ Sci Health Part A Tox Hazard Subst Environ Eng Vol 36 pp.987-998.
- Gourdon, R. and Rus, E., 1990, "A comparitive Study of Cadmium Uptake by Free and Immobilization Cells from Activated Sludge", Journal of Environmental Science and Health, Vol 25, No. 8, pp. 1019-1036.
- Jianlong, W., Xinmin, Z., Decai, D. and Ding, Z., 2001, "Bioadsorption of Lead(II) from Aqueous Solution by Fungal Biomass of Aspergillus niger", Journal of Biotechnology, Vol. 87, pp. 273-277.
- Johansen, O.J. and Carlson, D.A., 1976, "Characterization of Sanitary Landfill Leachates", Water Research, Vol. 10, pp. 1129-1134.
- Lema, J.M., Mendez,R., and Blazquez, R., 1988, "Characteristics of Landfill Leachates and Alternatives for their Treatment", Water,Air and soil pollutant, Vol. 40, pp. 223-250.
- Mohamed, Z.A., 2001, "Removal of Cadmium and Manganese by a Non-Toxic Strain of Freshwater Cyanobacterium Gloeothece magna", Water Research, Vol. 35, No. 18, pp. 4405 - 4409.
- Puranik, P.R. and Paknikar, K.M., 1999, "Influence of Co-Cations on Biosorption of Lead and Zinc", Bioresource Technology, Vol. 70, pp. 269-276.
- Tien, C.J., 2002, "Biosorption of Metal Ions by Freshwater Algae with Different Surface Characteristics", Process Biochemistry, Vol. 38, pp. 605 - 613.
- Ting, Y.P., Lavson, F. and Prince, I.G.,1991, "Uptake of Cadmium and Zinc by the algae C. vulgaris : Part II: Multi-ion species.", Biotechnology Bioengineering Vol 37, pp.445-455
- Volesky B., Holan ZR, 1995, "Biosorption of Heavy Metals", Biotechnology Progress, Vol 11,pp. 235-250.

ลักษณะเลขที่ RDG4530016

โครงการ “การปรับสภาพดินด้วยสัดเจ้ากกรรมการบำบัดน้ำเสียชุมชน
เพื่อนำมาใช้เป็นน้ำดื่มน้ำชาขยะ”

สรุประยงานฉบับสมบูรณ์

รายงานในช่วงตั้งแต่วันที่ 16 กุมภาพันธ์ 2545 ถึงวันที่ 16 กุมภาพันธ์ 2547

ชื่อหัวหน้าโครงการ พศ. ดร. เจลินราช วันทวิน

หน่วยงาน ภาควิชาวิศวกรรมสิ่งแวดล้อม คณะวิศวกรรมศาสตร์ มหาวิทยาลัยเทคโนโลยีพระจอมเกล้า รัตนโก

วัตถุประสงค์ของโครงการ

- 1) ศึกษาคุณสมบัติของสัดเจ้ากที่ต้องการให้สามารถนำมารักษาและดูแลชีวภาพ มาใช้เป็นสารดูดซับ และวัสดุฟองกลบขยะ
- 2) พิจารณาความสามารถในการดูดซับโลหะหนัก และสารอินทรีย์ของสัดเจ้ากที่เหลือที่ต้องการกระบวนการบำบัดทางชีวภาพที่ผ่านการทำแท้ในรูปของสมการจำนวนศาสตร์
- 3) เพื่อหาสัดส่วนของดินผสมสัดเจ้ากที่เหมาะสมในการบำบัดน้ำชาและลายขยะ และผลของการรับฟังชลศาสตร์ (hydraulic loading rate) ที่มีต่อประสิทธิภาพในการบำบัดน้ำชาและลายขยะด้วยคอกลั่มน้ำ

ตารางเปรียบเทียบกิจกรรมที่วางแผนไว้ และกิจกรรมที่ดำเนินการและผลที่ได้รับ

กิจกรรม (ตามแผน)	ผลที่คาดว่าจะได้รับ (ตามแผน)	ผลการดำเนินงาน	หมายเหตุ
เดือนที่ 1 – 6			
1. ทดสอบลักษณะสมบัติของดิน, สัดเจ้ากอโซ, น้ำชาและลาย ขยะ 2. สร้างคอกลั่มน้ำดูดซับ 3. ทดลองการทำแท้สัดเจ้ากที่ต้องการต่างๆ	1. ข้อมูลเบื้องต้นของการวิจัย 2. ได้คุณสมบัติสำหรับทำ การวิจัย 3. ข้อมูลความสัมพันธ์ ระหว่างความชื้นในสัดเจ้ากที่ ที่ลดลง กับ อุณหภูมิใน การทำแท้ (drying curve) ที่เวลาหนึ่ง ๆ	1. ได้ข้อมูลเบื้องต้นของการวิจัย ในการเตรียมสัดเจ้าก	

เดือนที่ 7 – 12	1. ทดสอบ sludge activity ในการคุณภาพ COD 2. ทดสอบ isotherm ของสลัดจ์ที่ทำแห้งที่อุณหภูมิต่างๆ โดยทดสอบความสามารถในคุณภาพโลหะหนัก 3. ทดสอบผลของ ionic strength ของโลหะหนักสองชนิดที่ปะปนในน้ำทะเล abyx ที่มีต่อการคุณภาพของสลัดจ์ 4. ทดสอบการบดอัด, permeability ของสลัดจ์, สลัดจ์+ทรายหยาน 5. ทดสอบค่า CEC ของสลัดจ์	1. ผลของการทำแห้งที่อุณหภูมิต่างๆที่มีผลต่อการลด COD ในน้ำทะเล abyx ที่มีต่อการคุณภาพของสลัดจ์ 2. ไอโซเทอมการคุณภาพโลหะหนัก, ข้อมูลในการเลือกสลัดจ์นำมาใช้เป็นสารคุณภาพ 3. ผลของ ionic strength ที่มีต่อการคุณภาพโลหะหนักของสลัดจ์ 4. ข้อมูลสำหรับ column test, ทราบความเป็นไปได้ในการนำสลัดจ์ในการนำมาใช้เป็นวัสดุคาดพื้นผังกลบ หรือวัสดุฝังกลบประจำวัน 5. ข้อมูลสำหรับ column test	1. ได้ข้อสรุปการคุณภาพโลหะหนักและสารอินทรีย์ในน้ำทะเล abyx ของสลัดจ์ เออสหลังผ่านการอบแห้งที่อุณหภูมิ 40 ชั่วโมง ความชื้นร้อยละ 50 เป็นแบบ passive adsorption เนื่องจากทดสอบได้อัตราการใช้สารอินทรีย์สูงสุดเหลือเพียง 30 เปอร์เซ็นต์ของสลัดจ์ เออสสต 2. สมการ adsorption isotherm ของสลัดจ์ และความสัมพันธ์ของผลกระทบของตัวแปรที่เกิดขึ้นขณะใช้งาน เช่น คุณสมบัติน้ำทะเล abyx ปริมาณโลหะหนักตัวอื่น เพื่อใช้เป็นข้อมูลในการทดลองระดับโต๊ะทดลอง 3. ค่าการซึมผ่านน้ำของสลัดจ์สูงไม่เหมาะสมกับการนำมาเป็นวัสดุคาดพื้นผังกลบ แต่ใช้เป็นวัสดุกลบประจำวันได้ ข้อมูลการใช้งานเพื่อสร้างสภาพการทดลองในระดับโต๊ะทดลอง เลียนแบบ
เดือนที่ 13 – 18	1. ทดสอบประสิทธิภาพ และจลนศาสตร์ในการคุณภาพโลหะหนัก และสารอินทรีย์ของสลัดจ์, สลัดจ์+ทรายหยาน 2. ทดสอบการบดอัด, permeability ของดิน, ดินปรับสภาพด้วยสลัดจ์ 3. ทดสอบค่า CEC ของดิน	1. ได้สมการทางจลนศาสตร์การคุณภาพของสลัดจ์ 2. ข้อมูลสำหรับ column test, ทราบความเป็นไปได้ในการนำดินปรับสภาพ	1. จากคุณสมบัติของสลัดจ์ เออส พบร่วมกับค่าการซึมผ่านของน้ำอยู่ในเกณฑ์ดี จึงมีการปรับเปลี่ยนการทดลองในการทดลองเรื่อง column test 2. พนปัญหาในการดำเนินงานใน column test ได้มีการ

	ด้วยสลัดจ์ในการนำมาใช้เป็นวัสดุคาดพื้นฝังกลบหรือวัสดุฝังกลบประจำวัน 3. ข้อมูลสักยละเอียดของคิน	ออกแบบ column ที่ใช้ในการทดลองใหม่ 3. ได้ข้อมูลคุณสมบัติของคิน	
เดือนที่ 19 –24	<p>1. ทดสอบประสิทธิภาพ และ ผลงานศาสตร์ในการดูดซับโลหะหนัก และสารอินทรีย์ในдинปรับสภาพ</p> <p>2. ขัดทำความสะอาดบันสมบูรณ์ และ คุณภาพการนำสลัดเจ้ามาใช้ปรับสภาพคิน เพื่อการฝังกลบทั้ง</p>	<p>1. ได้สมการทางผลงานศาสตร์การดูดติดผิวโลหะสังกะสีและตะกั่วเฉพาะของคิน</p> <p>2. รายงานฉบับสมบูรณ์ และ ข้อเสนอแนะและแนวทางการใช้สลัดเจ้าอ่อนร่วมกับคินเป็นวัสดุฝังกลบประจำวันในหมุนฝัง กับขยะชุมชนซึ่งอยู่ในรายงานฉบับสมบูรณ์</p>	<p>- ในคืนปรับสภาพ ด้วยสลัดจ์แม่เพียง 15 เปอร์เซ็นต์โดย น้ำหนักมีการดูดติดผิวค่อนข้างถึง 90 วันยังไม่พบการเบรคทู จึงได้ยุติการทดลองด้วยข้อจำกัดของเวลา และทุนวิจัย</p>

ลงนาม.....

(หัวหน้าโครงการ)

วันที่.....